

ФЕДЕРАЛЬНОЕ ГОСУДАРСТВЕННОЕ БЮДЖЕТНОЕ
УЧРЕЖДЕНИЕ НАУКИ
ИНСТИТУТ ЯДЕРНОЙ ФИЗИКИ им. Г.И. БУДКЕРА
СИБИРСКОГО ОТДЕЛЕНИЯ РОССИЙСКОЙ АКАДЕМИИ НАУК

На правах рукописи

Крачков Петр Александрович

**Исследование процессов квантовой
электродинамики в сильных атомных полях
при высоких энергиях**

01.04.02 – Теоретическая физика

Диссертация на соискание ученой степени
кандидата физико-математических наук

Научный руководитель
доктор физико-математических наук,
профессор
Мильштейн Александр Ильич

Новосибирск – 2016

Оглавление

Введение	4
Глава 1. Квазиклассическое приближение	13
1.1. Вычисление квазиклассической функции Грина уравнения Дирака	15
1.2. Выводы к первой главе	21
Глава 2. Зарядовая асимметрия в тормозном излучении	22
2.1. Дифференциальное сечение тормозного излучения	23
2.2. Кулоновские поправки к тормозному излучению электронов	28
2.3. Кулоновские поправки к тормозному излучению мюонов	32
2.4. Выводы ко второй главе	37
Глава 3. Двойное тормозное излучение	38
3.1. Процесс $e^- Z \rightarrow e^- \gamma_1 \gamma_2 Z$	38
3.2. Матричный элемент и дифференциальное сечение	40
3.3. Выводы к третьей главе	48
Глава 4. Фоторождение пар, сопровождаемое излучением фотона	49
4.1. Процесс $\gamma Z \rightarrow e^+ e^- \gamma' Z$	49
4.2. Вычисление матричного элемента	54
4.3. Борновская амплитуда и кулоновские поправки	56

4.4.	Обсуждение результатов	58
4.5.	Выводы к четвёртой главе	62
Глава 5.	Упругое рассеяние на малые углы	63
5.1.	Упругое рассеяние в квазиклассическом приближении	63
5.2.	Разложение точной амплитуды в кулоновском поле при малых углах	69
5.3.	Выводы к пятой главе	76
Заключение	77
Приложение А.	Вычисление матричного элемента тормозного излучения	79
Приложение Б.	Вычисление матричного элемента двойного тормозного излучения	83
Список литературы	86

Введение

Квантовая электродинамика (КЭД), описывающая электромагнитное взаимодействие частиц и фотонов, на сегодняшний день является одной из самых точных теорий, которая находится в поразительном согласии с большим набором экспериментальных данных. В связи с увеличением точности проводимых экспериментов становятся необходимыми более точные расчеты, а значит и дальнейшее развитие теории. Особый интерес с экспериментальной точки зрения представляют процессы квантовой электродинамики в сильных атомных полях, так как они описывают взаимодействие заряженных частиц и фотонов с веществом. На таких процессах основаны принципы детектирования заряженных частиц и фотонов. Например, тормозное излучение и фоторождение пар являются основными процессами, определяющими развитие электромагнитных ливней в веществе. Детальное описание процессов квантовой электродинамики необходимо для проведения прецизионных экспериментов, так как они являются фоновыми процессами при изучении сильных и электрослабых взаимодействий, а также при поиске новой физики. Такие процессы интересны и с фундаментальной точки зрения, так как их изучение выходит за рамки обычной теории возмущений. Это связано с тем, что эффективная константа связи $\eta = Z\alpha$ (Z — зарядовый номер ядра, $\alpha = e^2 \sim 1/137$ — постоянная тонкой структуры, здесь и далее мы используем систему единиц $\hbar = c = 1$) для тяжелых атомов оказывается величиной, сравнимой с единицей. Поэтому при использовании теории возмущений необходимо вычислять амплитуды процессов в высоких порядках, что на сегодняшний день практически невозможно.

Для проведения расчетов в сильных полях удобно использовать представление Фарри, которое позволяет точно учесть влияние внешнего поля.

Главная идея этого подхода состоит в том, чтобы сначала найти точные решения уравнения Дирака во внешнем классическом поле, а затем, используя эти точные решения, построить теорию возмущений. Поэтому задача о нахождении функций Грина во внешнем поле является принципиально важной для построения теории возмущений в представлении Фарри. Нахождение удобных точных и приближённых представлений для функций Грина критично для приложений — вычисления амплитуд различных процессов КЭД во внешних полях.

Точные решения уравнения Дирака в кулоновском поле не выражаются в замкнутой форме, а записываются только в виде суммы по угловым квантовым числам. При высоких энергиях по сравнению с массой частиц характерные угловые моменты l_c , дающие главный вклад в сечение, велики: $l_c \sim \varepsilon/m \gg 1$ (ε — характерная энергия частицы, m — масса частицы). Медленная сходимость сумм по угловым квантовым числам приводит к практической неприменимости точных решений. Ярким примером является процесс фоторождения e^+e^- пар, точное сечение которого в виде суммы по угловым моментам для любых $\eta < 1$ было найдено в [1], а численные результаты были получены только для энергии фотона $\omega \lesssim 12.5$ МэВ.

К счастью, при высоких энергиях $\varepsilon_i \gg m$ и малых углах $\theta_i \ll 1$ импульсов конечных частиц по отношению к импульсу начальной частицы применимо квазиклассическое приближение, которое учитывает вклады больших угловых моментов. В работах [2, 3] были получены волновые функции в приближении Фарри-Зоммерфельда-Мауэ, которые являются волновыми функциями электрона в кулоновском поле в главном квазиклассическом приближении. Эти функции были использованы для вычисления кулоновских поправок к сечениям процессов тормозного излучения и фоторождения в кулоновском поле [4–6].

Важным шагом в развитии квазиклассического подхода явилась операторная квазиклассическая техника В.Н. Байера и В.М. Каткова [7]. Операторный подход позволил значительно упростить вывод предыдущих результатов и получить множество новых важных результатов [8] в главном квазиклассическом приближении. Но в рамках этого подхода не удаётся получить поправки по $1/l_c \ll 1$.

Развитый в последние годы метод квазиклассических функций Грина позволил совершить прорыв в этой области. Этот метод позволяет вычислять не только главный квазиклассический вклад, но и первую квазиклассическую поправку (поправку по $1/l_c \ll 1$). Заметим, что поправка по $1/l_c$ имеет принципиальную важность. Во-первых она позволяет получать результаты с большей точностью и контролировать точность вычислений в главном квазиклассическом приближении. Во-вторых эта поправка приводит к новым эффектам (зарядовая и азимутальная асимметрия), отсутствующим в главном квазиклассическом приближении. Мощь этого метода состоит в том, что он позволяет вычислить квазиклассическую функцию Грина в произвольном атомном поле $V(r)$, когда точное аналитическое решение не существует. Квазиклассическая функция Грина имеет довольно простой вид и её можно использовать при вычислениях дифференциальных и полных сечений различных процессов КЭД в атомных полях произвольной конфигурации при высоких энергиях.

Квазиклассическая функция Грина была получена в работе [9] для случая кулоновского поля, в работе [10] для произвольного сферически-симметричного поля, в работе [11, 12] для произвольного локализованного поля, в работе [13] для суперпозиции атомного и лазерного поля. Первая глава посвящена квазиклассическому подходу. В ней подробно обсуждается вывод квазиклассической функции Грина с учётом первой квазиклассической

поправки и соответствующих волновых функций уравнения Дирака для произвольного атомного потенциала.

Как было отмечено выше, волновые функции и функции Грина во внешнем поле нужны для вычисления дифференциальных и интегральных сечений процессов, происходящих в этом поле. Особенно важными с экспериментальной точки зрения являются процессы тормозного излучения и рождения пар фотоном в поле ядра или атома, так как этими процессами определяется развитие электромагнитных ливней в веществе.

Тормозное излучение является перекрестным каналом к процессу фоторождения e^+e^- пар и наоборот. Поэтому эти процессы часто рассматривают вместе. Используя перекрестную инвариантность, дифференциальное сечение в борновском приближении и проинтегрированное по углам одной частицы точное по η дифференциальное сечение процесса тормозного излучения можно получить из соответствующих величин для процесса фоторождения. Но это нельзя сделать для полностью дифференциального точного сечения. Асимптотика волновой функции начального электрона в процессе тормозного излучения должна состоять из суммы плоской и сферически сходящейся волны, а асимптотика волновой функции электрона, полученная из волновой функции позитрона в процессе фоторождения, состоит из плоской и сферически расходящейся волны. Поэтому полностью дифференциальные сечения тормозного излучения и фоторождения имеют разные особенности. Например, в отличие от фоторождения, кулоновские поправки к дифференциальному сечению тормозного излучения сильно зависят от радиуса экранировки $r_{scr} \sim Z^{-1/3}(m\alpha)^{-1}$ [6, 14].

Дифференциальное и полное сечение тормозного излучения в борновском приближении для любых энергий частиц было получено в работах [15, 16]. С помощью волновых функций Фарри-Зоммерфельда-Мауэ высо-

коэнергетическая асимптотика сечения тормозного излучения для кулоновского потенциала была получена в работах [4–6, 17, 18]. Количественное исследование влияния эффекта экранировки на кулоновские поправки полностью дифференциального сечения, а также универсальность кулоновских поправок в дифференциальном сечении, проинтегрированном по углам одной конечной частицы, в главном квазиклассическом приближении было изучено в работе [14]. Так как в этой работе использовались квазиклассические функции в произвольном атомном потенциале, этот результат верен и для тормозного излучения мюонов.

Важным вопросом также является вычисление точной по η зарядовой асимметрии в процессе тормозного излучения (разница между дифференциальным сечением тормозного излучения электрона и позитрона на ядре). В сечении, вычисленном в главном квазиклассическом приближении, зарядовая асимметрия отсутствует, поэтому необходимо учитывать первую квазиклассическую поправку. Этому вопросу посвящена вторая глава, которая основана на работе [12].

Для точного описания процесса тормозного излучения нужно учесть соответствующие радиационные поправки. Двойное тормозное излучение является существенной частью радиационных поправок. До недавнего времени этот процесс изучался или при низких энергиях электрона [19, 20], или для любых энергий электрона, но в борновском приближении [21]. Вычислению точного по внешнему полю дифференциального сечения двойного тормозного излучения для ультрарелятивистских частиц посвящена третья глава, которая основана на работе [22].

В борновском приближении дифференциальное и полное сечение фоторождения для любых энергий частиц было получено в [15, 16]. В работах [4, 5], используя волновые функции Фарри-Зоммерфельда-Мауэ [2, 3], была

вычислена точная по η высокоэнергетическая асимптотика сечения в кулоновском поле. Этот результат имеет хорошую точность только при $\omega > 100$ МэВ. Из этой асимптотики видно, что при высоких энергиях борновское сечение усиленно не очень большим фактором $\ln(mr_{scr})$ (случай полной экранировки), что приводит к большим кулоновским поправкам $\sim 20\%$. Точное по энергии и η сечение фоторождения e^+e^- пар было получено в [1]. Это выражение имеет настолько сложную структуру, что численные результаты удалось получить только для $\omega < 12.5$ МэВ. В работе [23] была получена интерполяционная формула для промежуточных энергий фотона (5 – 100 МэВ), которая основана на высокоэнергетической асимптотике [4, 5] и на точном сечении при низких энергиях [1]. Метод квазиклассических функций Грина позволил получить первую квазиклассическую поправку по m/ω к спектру и к полному сечению процесса фоторождения [24]. Так как поправка к спектру вычислялась для больших энергий конечных частиц, она не описывает края спектра, где электрон или позитрон не являются релятивистскими. Используя дисперсионное соотношение, в [25] была вычислена поправка к спектру в области $\varepsilon_p \sim m$ и $\varepsilon_q \sim m$. Проинтегрированная поправка к краю спектра находится в согласии с поправкой к полному сечению [24]. В работе [26] была вычислена первая квазиклассическая поправка к дифференциальному сечению фоторождения электрон-позитронных пар. В отличие от ведущего члена, эта поправка оказалась антисимметричной относительно замены $\eta \rightarrow -\eta$. Таким образом, она определяет зарядовую асимметрию в процессе фоторождения. Учет эффекта экранировки для фоторождения e^+e^- пар при высоких энергиях сводится к умножению борновской амплитуды на атомный формфактор, а кулоновские поправки при этом не меняются. Эффект конечного размера ядра для фоторождения электрон-позитронных пар (отличие потенциала от кулоновского на расстоянии порядка радиуса ядра)

не важен. Для фоторождения $\mu^+\mu^-$ пар необходимо учитывать не только атомную экранировку, но и эффект конечного размера ядра. Вычисление дифференциального сечения фоторождения $\mu^+\mu^-$ пар с учетом первой квазиклассической поправки было проведено в недавней работе [27].

Для более точного описания процесса фоторождения e^+e^- пар необходимо также учитывать радиационные поправки. Важной частью радиационных поправок является процесс фоторождения $e^+e^-\gamma$. Несмотря на всю важность, этот процесс до недавнего времени был исследован либо в борновском приближении [28], либо в мягко-фотонном приближении и его модификациях [29–31]. Четвертая глава посвящена изучению характеристик этого процесса. Она основана на работе [32], где в рамках главного квазиклассического приближения было получено точное по параметру η дифференциальное сечение.

Квазиклассический подход — мощный метод для вычисления дифференциальных и интегральных характеристик различных процессов квантовой электродинамики в сильных атомных полях при высоких энергиях. Он позволяет вычислить не только главный вклад в сечение, но и первую квазиклассическую поправку (поправку по m/ε и θ), что значительно увеличивает точность вычислений и приводит к новым эффектам, отсутствующим при вычислении в главном квазиклассическом приближении. Квазиклассический подход основан на том, что основной вклад в амплитуду дают большие угловые моменты $l \gg 1$. Возникает вопрос, как далеко мы можем продвинуться в повышении точности вычисления сечений в рамках квазиклассического приближения. Исследованию этого вопроса на примере упругого рассеяния посвящена заключительная глава данной диссертации, которая основана на работе [33].

Упругое рассеяние заряженной частицы во внешнем поле является ба-

зовым процессом квантовой электродинамики. Точная амплитуда рассеяния в кулоновском поле была получена в работе [34] в виде суммы по угловым квантовым числам. Кулоновские поправки порядка η^3 были получены в работе [35] из разложения точного ответа и в [36], используя теорию возмущений. Для ультрарелятивистских частиц точное по η сечение, но приближенное по параметрам m/ε и θ , было получено в работе [3], где весь эффект кулоновских поправок свёлся к фазовому множителю, так что дифференциальное сечение совпадало с борновским. Первая поправка к дифференциальному сечению была получена в работе [37] с помощью операторного квазиклассического подхода. Используя приближение эйконала, амплитуда рассеяния с учётом первой поправки была получена в работах [38, 39]. С помощью квазиклассического подхода, который имеет более широкую область применимости, чем эйкональное приближение, то же выражение было получено в работе [11]. В нашей недавней работе [33] была получена точная по параметру η амплитуда упругого рассеяния в кулоновском поле с точностью θ^2 . Полученный результат выходит за рамки квазиклассического приближения, так как угловые моменты $l \sim 1$ дают существенный вклад в эту амплитуду. Помимо дифференциального сечения упругого рассеяния, большой интерес представляют поляризационные эффекты. Особый интерес представляет функция Шермана, которая определяет конечную поляризацию изначально неполяризованного пучка, или наоборот — угловую асимметрию в случае изначально поляризованного пучка. Функция Шермана была получена в [40] путём разложения точной амплитуды по η . В нашей работе [33] была получена функция Шермана для произвольного сферически симметричного потенциала в главном приближении по θ , а для кулоновского поля — с учётом первой поправки.

На защиту выносятся следующие основные результаты и положения:

- Получение с учётом первой квазиклассической поправки квазиклассической функции Грина и соответствующих волновых функций уравнения Дирака в произвольном атом потенциале.
- Исследование зарядовой и азимутальной асимметрии в тормозном излучении при высоких энергиях.
- Вычисление в рамках главного квазиклассического приближения дифференциального сечения процесса двойного тормозного излучения.
- Получение в рамках главного квазиклассического приближения дифференциального сечения фоторождения пар с испусканием дополнительного фотона.
- Исследование предела применимости квазиклассического приближения на примере упругого рассеяния.

Глава 1

Квазиклассическое приближение

Как уже было сказано выше, при вычислении дифференциальных сечений процессов КЭД в сильных полях удобно использовать функцию Грина уравнения Дирака во внешнем поле.

$$G(\mathbf{r}_1, \mathbf{r}_2|\varepsilon) = \langle \mathbf{r}_1 | \frac{1}{\hat{\mathcal{P}} - m + i0} | \mathbf{r}_2 \rangle, \quad (1.1)$$

$\hat{\mathcal{P}} = \gamma^\mu \mathcal{P}_\mu$, $\mathcal{P}_\mu = (\varepsilon - V(r), i\nabla)$, а $V(r)$ — атомный потенциал.

Если энергия частиц велика, $\varepsilon \gg m$, то характерные углы, дающие основной вклад в полное сечение, малы $\theta \sim m/\varepsilon \ll 1$. В таком случае применимо квазиклассическое приближение. Для оценки характерных значений параметров рассмотрим, в качестве примера, процесс, протекающий через образование электрон-позитронной пары. Используя соотношение неопределённости, нетрудно показать, что характерное расстояние между частицами в собственной системе отсчета равно $1/m$. При переходе в лабораторную систему отсчёта поперечный размер ρ не меняется, а продольный размер увеличивается в $\gamma = \varepsilon/m$ раз, $z \sim \varepsilon/m^2 \gg 1/m$. Таким образом, характерные аргументы функции Грина, $r_{1,2}$ и ε , удовлетворяют следующим соотношениям

$$\varepsilon r_{1,2} \sim \varepsilon^2 \rho^2 \sim \varepsilon^2/m^2 \gg 1. \quad (1.2)$$

Из этих оценок видно, что характерные угловые моменты, дающие основной вклад в матричный элемент, велики, $l_c = p\rho \approx \varepsilon\rho \approx \varepsilon/m \gg 1$. Квазиклассическое приближение основано на учёте только больших угловых моментов $l \gg 1$. Так как во внешнем поле импульс не сохраняется, то пропадает выделенная роль импульсного представления, и поэтому вычисления удобнее

проводить в координатном представлении.

С учётом первой поправки по m/ε и θ квазиклассическая функция Грина уравнения Клейна-Фока-Гордона $D_0(\mathbf{r}_2, \mathbf{r}_1 | \varepsilon)$ для произвольного локализованного потенциала $V(\mathbf{r})$ (не обязательно сферически симметричного) была найдена в работе [11]:

$$D_0(\mathbf{r}_2, \mathbf{r}_1 | \varepsilon) = \frac{ie^{i\kappa r}}{4\pi^2 r} \int d\mathbf{Q} \exp \left[iQ^2 - ir \int_0^1 dx V(\mathbf{R}_x) \right] \\ \times \left\{ 1 + \frac{ir^3}{2\kappa} \int_0^1 dx \int_0^x dy (x-y) \nabla_{\perp} V(\mathbf{R}_x) \cdot \nabla_{\perp} V(\mathbf{R}_y) \right\}, \\ \mathbf{r} = \mathbf{r}_2 - \mathbf{r}_1, \quad \mathbf{R}_x = \mathbf{r}_1 + x\mathbf{r} + \mathbf{Q} \sqrt{\frac{2r_1 r_2}{\varepsilon r}}, \quad (1.3)$$

где \mathbf{Q} — двумерный вектор, перпендикулярный \mathbf{r} . Эта функция имеет довольно ясную физическую интерпретацию. Частица летит по прямой от \mathbf{r}_1 до \mathbf{r}_2 , но помимо простого набора фазы, как в приближении эйконала [38], также учитываются квантовые флуктуации вблизи прямолинейной траектории (интеграл по двумерному вектору \mathbf{Q}).

Уместно также обсудить связь с приближением эйконала. Приближение эйконала справедливо, когда поперечный градиент мал на всём прямолинейном участке траектории частицы от \mathbf{r}_1 до \mathbf{r}_2 :

$$\frac{|\nabla_{\perp} V(\mathbf{r})|}{V(\mathbf{r})} \ll \sqrt{\frac{p}{r_{min}}} \sim \frac{1}{\rho}, \quad r_{min} = \min(r_1, r_2). \quad (1.4)$$

Как было сказано выше, в случае быстрых частиц основной вклад в амплитуды дает область, в которой выполняются условия $pr_{1,2} \gg 1$. Таким образом, приближение эйконал не работает, если частица пролетает вблизи центра потенциала. Поэтому для вычисления амплитуд процессов квантовой электродинамики необходимо использовать именно квазиклассические функции Грина и волновые функции, а не эйкональные. Заметим, что если частица пролетает далеко от центра потенциала, то можно пренебречь

членом, пропорциональным \mathbf{Q} в \mathbf{R}_x в функции Грина (1.3) и проинтегрировать по \mathbf{Q} . Таким образом, квазиклассическая функция Грина уравнения Клейна-Фока-Гордона переходит в эйкональную волновую функцию.

Вычислению квазиклассической функции Грина с учётом первой квазиклассической поправки и соответствующих волновых функций уравнения Дирака посвящён следующий раздел, основанный на работе [12].

1.1. Вычисление квазиклассической функции Грина уравнения Дирака

Для практических расчётов удобно использовать квадрированную функцию Грина $D(\mathbf{r}_1, \mathbf{r}_2|\varepsilon)$, которая связана с обычной функцией Грина уравнения Дирака следующим образом

$$\begin{aligned} G(\mathbf{r}_1, \mathbf{r}_2|\varepsilon) &= (\hat{\mathcal{P}} + m)D(\mathbf{r}_1, \mathbf{r}_2|\varepsilon), \\ D(\mathbf{r}_1, \mathbf{r}_2|\varepsilon) &= \langle \mathbf{r}_1 | \frac{1}{\hat{\mathcal{P}}^2 - m^2 + i0} | \mathbf{r}_2 \rangle \\ &= \langle \mathbf{r}_2 | [(\varepsilon - V(r))^2 + \nabla^2 - m^2 + i\boldsymbol{\alpha} \cdot \nabla V(r) + i0]^{-1} | \mathbf{r}_1 \rangle, \end{aligned} \quad (1.5)$$

$\hat{\mathcal{P}} = \gamma^\mu \mathcal{P}_\mu$, $\mathcal{P}_\mu = (\varepsilon - V(r), i\nabla)$, а $V(r)$ — атомный потенциал.

Вся матричная структура функции Грина квадрированного уравнения Дирака находится в множителе $i\boldsymbol{\alpha} \cdot \nabla V(r)$, поэтому квадрированную функцию Грина можно записать в следующем виде

$$D(\mathbf{r}_2, \mathbf{r}_1|\varepsilon) = d_0(\mathbf{r}_2, \mathbf{r}_1|\varepsilon) + \boldsymbol{\alpha} \cdot \mathbf{d}_1(\mathbf{r}_2, \mathbf{r}_1|\varepsilon) + \boldsymbol{\Sigma} \cdot \mathbf{d}_2(\mathbf{r}_2, \mathbf{r}_1|\varepsilon) + \gamma^5 d_3(\mathbf{r}_2, \mathbf{r}_1|\varepsilon), \quad (1.6)$$

где $\boldsymbol{\alpha} = \gamma^0 \boldsymbol{\gamma}$, $\boldsymbol{\Sigma} = \gamma^0 \boldsymbol{\gamma}^5 \boldsymbol{\gamma}$, $d_i(\mathbf{r}_2, \mathbf{r}_1|\varepsilon)$ — некоторые скалярные функции (не содержат матричных структур). Заметим, что для сферически симметричного потенциала $d_3 = 0$, так как из-за сохранения чётности d_3 должен быть

псевдоскаляром, а из двух векторов \mathbf{r}_1 и \mathbf{r}_2 нельзя построить псевдоскаляр. Так как при больших энергиях $\varepsilon \gg m$ слагаемое, содержащее матричную структуру, является малой поправкой $|\nabla V(r)| \ll \varepsilon V(\mathbf{r})$, то функции d_i имеют различные характерные значения

$$d_0 \sim l_c d_1 \sim l_c^2 d_2 \sim l_c^3 d_3, \quad (1.7)$$

где $l_c \sim \varepsilon/m \gg 1$ — характерный угловой момент. Чтобы найти квазиклассическую функцию Грина с учётом первой поправки, необходимо вычислить $\mathbf{d}_2(\mathbf{r}_2, \mathbf{r}_1|\varepsilon)$ в главном квазиклассическом приближении, а $d_0(\mathbf{r}_2, \mathbf{r}_1|\varepsilon)$ и $\mathbf{d}_1(\mathbf{r}_2, \mathbf{r}_1|\varepsilon)$ с учётом первой квазиклассической поправки.

Разложим функцию Грина $D(\mathbf{r}_2, \mathbf{r}_1|\varepsilon)$ в уравнении (1.5) до второго порядка по $\boldsymbol{\alpha} \cdot \nabla V(r)$:

$$\begin{aligned} D(\mathbf{r}_2, \mathbf{r}_1|\varepsilon) &= \langle \mathbf{r}_2 | \frac{1}{\mathcal{H}} - \frac{1}{\mathcal{H}} i\boldsymbol{\alpha} \cdot \nabla V(r) \frac{1}{\mathcal{H}} + \\ &\frac{1}{\mathcal{H}} i\boldsymbol{\alpha} \cdot \nabla V(r) \frac{1}{\mathcal{H}} i\boldsymbol{\alpha} \cdot \nabla V(r) \frac{1}{\mathcal{H}} | \mathbf{r}_1 \rangle, \\ \mathcal{H} &= \varepsilon^2 - m^2 - 2\varepsilon\varphi(r) + \nabla^2 + i0, \\ \varphi(r) &= V(r) - \frac{V^2(r)}{2\varepsilon}. \end{aligned} \quad (1.8)$$

Где $D^{(0)}(\mathbf{r}_2, \mathbf{r}_1|\varepsilon) = \langle \mathbf{r}_2 | \mathcal{H}^{-1} | \mathbf{r}_1 \rangle$ — функция Грина уравнения Клейна-Фока-Гордона. В квазиклассическом приближении с учётом первой поправки эта функция была найдена в работе [11] (см. (1.3)). Функция $D^{(0)}(\mathbf{r}_2, \mathbf{r}_1|\varepsilon)$ совпадает с функцией $d_0(\mathbf{r}_2, \mathbf{r}_1|\varepsilon)$ из (1.6).

Используя соотношение

$$i\nabla V(r) = \frac{1}{2\varepsilon} [\mathbf{p}, \mathcal{H}] + \frac{i}{2\varepsilon} \nabla V^2(r), \quad (1.9)$$

и записывая линейный по $\nabla V(r)$ член в уравнении (1.8) как $\boldsymbol{\alpha} \cdot \mathbf{d}_1(\mathbf{r}_2, \mathbf{r}_1)$,

получаем

$$\begin{aligned} \mathbf{d}_1(\mathbf{r}_2, \mathbf{r}_1|\varepsilon) &= -\frac{i}{2\varepsilon}(\nabla_1 + \nabla_2)D^{(0)}(\mathbf{r}_2, \mathbf{r}_1|\varepsilon) + \delta\mathbf{d}_1(\mathbf{r}_2, \mathbf{r}_1), \\ \delta\mathbf{d}_1(\mathbf{r}_2, \mathbf{r}_1|\varepsilon) &= -\langle\mathbf{r}_2|\frac{1}{\mathcal{H}}\frac{i}{2\varepsilon}\nabla V^2(r)\frac{1}{\mathcal{H}}|\mathbf{r}_1\rangle. \end{aligned} \quad (1.10)$$

Если заменить $V(r)$ на $V(r) + \delta V(r)$ в операторе \mathcal{H} , где $\delta V(r) = -i\boldsymbol{\alpha} \cdot \nabla V^2(r)/(2\varepsilon)^2$, то нетрудно получить выражение для $\delta\mathbf{d}_1$, используя (1.3),

$$\begin{aligned} \delta\mathbf{d}_1(\mathbf{r}_2, \mathbf{r}_1|\varepsilon) &= -\frac{ie^{ikr}}{16\pi^2\varepsilon^2} \int d\mathbf{Q} \exp \left[iQ^2 - ir \int_0^1 dx V(\mathbf{R}_x) \right] \\ &\quad \times \int_0^1 dx \nabla V^2(\mathbf{R}_x), \end{aligned} \quad (1.11)$$

где \mathbf{R}_x определенно в (1.3).

Для того, чтобы преобразовать третий член в уравнении (1.8), заменим $i\nabla V(r)$ на $\frac{1}{2\varepsilon}[\mathbf{p}, \mathcal{H}]$. После простых преобразований функция $\mathbf{d}_2(\mathbf{r}_2, \mathbf{r}_1)$ принимает следующий вид

$$\begin{aligned} \mathbf{d}_2(\mathbf{r}_2, \mathbf{r}_1|\varepsilon) &= -\frac{i}{(2\varepsilon)^2}[\nabla_2 \times \nabla_1]D^{(0)}(\mathbf{r}_2, \mathbf{r}_1|\varepsilon) + \delta\mathbf{d}_2(\mathbf{r}_2, \mathbf{r}_1|\varepsilon), \\ \delta\mathbf{d}_2(\mathbf{r}_2, \mathbf{r}_1|\varepsilon) &= \mathbf{l}_{21} \langle\mathbf{r}_2|\frac{1}{\mathcal{H}}\frac{V'(r)}{2\varepsilon r}\frac{1}{\mathcal{H}}|\mathbf{r}_1\rangle, \end{aligned} \quad (1.12)$$

где $\mathbf{l}_{21} = -(i/2)(\mathbf{r}_2 \times \nabla_2 - \mathbf{r}_1 \times \nabla_1)$ и $V'(r) = \partial V(r)/\partial r$. Если заменить $V(r)$ на $V(r) + \delta V(r)$ в операторе \mathcal{H} , где $\delta V(r) = r^{-1}V'(r)/(2\varepsilon)^2$, мы получим простое выражение для $\delta\mathbf{d}_2$ из уравнения (1.3)

$$\begin{aligned} \delta\mathbf{d}_2(\mathbf{r}_2, \mathbf{r}_1|\varepsilon) &= \mathbf{l}_{21} \frac{e^{ikr}}{16\pi^2\varepsilon^2} \int d\mathbf{Q} \exp \left[iQ^2 - ir \int_0^1 dx V(\mathbf{R}_x) \right] \\ &\quad \times \int_0^1 dx \frac{V'(\mathbf{R}_x)}{R_x}. \end{aligned} \quad (1.13)$$

Подставляя это выражение в (1.12), получаем

$$\begin{aligned} \mathbf{d}_2(\mathbf{r}_2, \mathbf{r}_1|\varepsilon) = & -\frac{re^{i\kappa r}}{16\pi^2\varepsilon^2} \int d\mathbf{Q} \exp \left[iQ^2 - ir \int_0^1 dx V(\mathbf{R}_x) \right] \\ & \times \int_0^1 dx \int_0^x dy [\nabla V(\mathbf{R}_x) \times \nabla V(\mathbf{R}_y)]. \end{aligned} \quad (1.14)$$

Таким образом, квазиклассическая функция Грина уравнения Дирака с учётом первой квазиклассической поправки имеет следующий вид

$$\begin{aligned} D(\mathbf{r}_2, \mathbf{r}_1|\varepsilon) &= d_0(\mathbf{r}_2, \mathbf{r}_1|\varepsilon) + \boldsymbol{\alpha} \cdot \mathbf{d}_1(\mathbf{r}_2, \mathbf{r}_1|\varepsilon) + \boldsymbol{\Sigma} \cdot \mathbf{d}_2(\mathbf{r}_2, \mathbf{r}_1|\varepsilon), \\ d_0(\mathbf{r}_2, \mathbf{r}_1|\varepsilon) &= \frac{ie^{i\kappa r}}{4\pi^2 r} \int d\mathbf{Q} \left\{ 1 + \frac{ir^3}{2\kappa} \int_0^1 dx \int_0^x dy (x-y) \nabla_{\perp} V(\mathbf{R}_x) \cdot \nabla_{\perp} V(\mathbf{R}_y) \right\} \mathcal{T}, \\ \mathbf{d}_1(\mathbf{r}_2, \mathbf{r}_1|\varepsilon) &= -\frac{i}{2\varepsilon} (\nabla_1 + \nabla_2) d_0(\mathbf{r}_2, \mathbf{r}_1|\varepsilon) - \frac{ie^{i\kappa r}}{16\pi^2\varepsilon^2} \int d\mathbf{Q} \int_0^1 dx \nabla V^2(\mathbf{R}_x) \mathcal{T}, \\ \mathbf{d}_2(\mathbf{r}_2, \mathbf{r}_1|\varepsilon) &= -\frac{re^{i\kappa r}}{16\pi^2\varepsilon^2} \int d\mathbf{Q} \int_0^1 dx \int_0^x dy [\nabla V(\mathbf{R}_x) \times \nabla V(\mathbf{R}_y)] \mathcal{T}, \\ \mathcal{T} &= \exp \left[iQ^2 - ir \int_0^1 dx V(\mathbf{R}_x) \right], \quad \mathbf{r} = \mathbf{r}_2 - \mathbf{r}_1, \\ \mathbf{R}_x &= \mathbf{r}_1 + x\mathbf{r} + \mathbf{Q} \sqrt{\frac{2r_1 r_2}{\kappa r}}, \end{aligned} \quad (1.15)$$

Зная функцию Грина квадрированного уравнения Дирака, нетрудно получить квазиклассические волновые функции. Воспользуемся соотноше-

ниями из [27] для связи между волновыми функциями и функцией Грина

$$\begin{aligned}
\frac{e^{ipr_1}}{4\pi r_1} u_{\lambda\mathbf{p}}^{(+)}(\mathbf{r}_2) &= - \lim_{r_1 \rightarrow \infty} D(\mathbf{r}_2, \mathbf{r}_1 | \varepsilon_p) u_{\lambda\mathbf{p}}, \quad \mathbf{p} = -p\mathbf{n}_1, \\
\frac{e^{ipr_1}}{4\pi r_1} v_{\lambda\mathbf{p}}^{(-)}(\mathbf{r}_2) &= - \lim_{r_1 \rightarrow \infty} D(\mathbf{r}_2, \mathbf{r}_1 | -\varepsilon_p) v_{\lambda\mathbf{p}}, \quad \mathbf{p} = p\mathbf{n}_1, \\
\frac{e^{ipr_1}}{4\pi r_2} \bar{u}_{\lambda\mathbf{p}}^{(-)}(\mathbf{r}_1) &= - \lim_{r_2 \rightarrow \infty} \bar{u}_{\lambda\mathbf{p}} D(\mathbf{r}_2, \mathbf{r}_1 | \varepsilon_p), \quad \mathbf{p} = p\mathbf{n}_1, \\
\frac{e^{ipr_1}}{4\pi r_2} \bar{v}_{\lambda\mathbf{p}}^{(+)}(\mathbf{r}_1) &= - \lim_{r_2 \rightarrow \infty} \bar{v}_{\lambda\mathbf{p}} D(\mathbf{r}_2, \mathbf{r}_1 | -\varepsilon_p), \quad \mathbf{p} = -p\mathbf{n}_1.
\end{aligned} \tag{1.16}$$

Индексы (+) и (-) означают наличие в асимптотике функции на больших расстояниях, соответственно, расходящейся и сходящейся сферической волны.

Из (1.6) и (1.16) следует вид волновых функций:

$$\begin{aligned}
\bar{u}_{\mathbf{p}}^{(-)}(\mathbf{r}) &= \bar{u}_{\mathbf{p}} [f_0(\mathbf{r}, \mathbf{p}) - \boldsymbol{\alpha} \cdot \mathbf{f}_1(\mathbf{r}, \mathbf{p}) - \boldsymbol{\Sigma} \cdot \mathbf{f}_2(\mathbf{r}, \mathbf{p})], \\
u_{\mathbf{p}}^{(+)}(\mathbf{r}) &= [f_0(\mathbf{r}, -\mathbf{p}) - \boldsymbol{\alpha} \cdot \mathbf{f}_1(\mathbf{r}, -\mathbf{p}) + \boldsymbol{\Sigma} \cdot \mathbf{f}_2(\mathbf{r}, -\mathbf{p})] u_{\mathbf{p}}, \\
v_{\mathbf{p}}^{(+)}(\mathbf{r}) &= [g_0(\mathbf{r}, \mathbf{p}) + \boldsymbol{\alpha} \cdot \mathbf{g}_1(\mathbf{r}, \mathbf{p}) + \boldsymbol{\Sigma} \cdot \mathbf{g}_2(\mathbf{r}, \mathbf{p})] v_{\mathbf{p}}, \\
\bar{v}_{\mathbf{p}}^{(-)}(\mathbf{r}) &= \bar{v}_{\mathbf{p}} [g_0(\mathbf{r}, -\mathbf{p}) + \boldsymbol{\alpha} \cdot \mathbf{g}_1(\mathbf{r}, -\mathbf{p}) - \boldsymbol{\Sigma} \cdot \mathbf{g}_2(\mathbf{r}, -\mathbf{p})], \\
u_{\mathbf{p}} &= \sqrt{\frac{\varepsilon_p + m}{2\varepsilon_p}} \begin{pmatrix} \phi \\ \frac{\boldsymbol{\sigma} \cdot \mathbf{p}}{\varepsilon_p + m} \phi \end{pmatrix}, \quad v_{\mathbf{q}} = \sqrt{\frac{\varepsilon_q + m}{2\varepsilon_q}} \begin{pmatrix} \frac{\boldsymbol{\sigma} \cdot \mathbf{q}}{\varepsilon_q + m} \chi \\ \chi \end{pmatrix},
\end{aligned} \tag{1.17}$$

где ϕ и χ спиноры. Коэффициенты g_i отличаются от f_i заменой $V(r) \rightarrow -V(r)$. Стоит отметить, что в квазиклассическом приближении функции f_0 , g_0 , $\mathbf{f}_{1,2}$ и $\mathbf{g}_{1,2}$ имеют разные характерные значения

$$f_0 \sim l_c f_1 \sim l_c^2 f_2, \quad g_0 \sim l_c g_1 \sim l_c^2 g_2. \tag{1.18}$$

Формулы для коэффициентов f_i следуют из уравнений (1.16) и (1.15):

$$\begin{aligned}
f_0(\mathbf{r}, \mathbf{p}) &= -\frac{i}{\pi} e^{-i\mathbf{p}\cdot\mathbf{r}} \int d\mathbf{Q} \left\{ 1 + \frac{i}{2\varepsilon_p} \int_0^\infty dx \int_0^x dy (x-y) \nabla_\perp V(\mathbf{r}_x) \cdot \nabla_\perp V(\mathbf{r}_y) \right\} \mathcal{T}_1, \\
\mathbf{f}_1(\mathbf{r}, \mathbf{p}) &= \frac{1}{2\varepsilon_p} (i\nabla - \mathbf{p}) f_0(\mathbf{r}, \mathbf{p}) - \frac{i}{4\pi\varepsilon_p^2} e^{-i\mathbf{p}\cdot\mathbf{r}} \int d\mathbf{Q} \int_0^\infty dx \nabla V^2(\mathbf{r}_x) \mathcal{T}_1, \\
\mathbf{f}_2(\mathbf{r}, \mathbf{p}) &= -\frac{e^{-i\mathbf{p}\cdot\mathbf{r}}}{4\pi\varepsilon_p^2} \int d\mathbf{Q} \int_0^\infty dx \int_0^x dy [\nabla V(\mathbf{r}_x) \times \nabla V(\mathbf{r}_y)] \mathcal{T}_1, \\
\mathcal{T}_1 &= \exp \left[iQ^2 - i \int_0^\infty dx V(\mathbf{r}_x) \right], \quad \mathbf{r}_x = \mathbf{r} + x\mathbf{n}_p + \mathbf{Q} \sqrt{\frac{2r}{\varepsilon_p}}, \tag{1.19}
\end{aligned}$$

где $\mathbf{Q} \cdot \mathbf{n}_p = 0$, ∇_\perp — компонента градиента, перпендикулярная вектору $\mathbf{n}_p = \mathbf{p}/p$.

Для кулоновского поля $V_c(r) = -\eta/r$ коэффициенты f_0 и $\mathbf{f}_{1,2}$ равны

$$\begin{aligned}
f_0(\mathbf{r}, \mathbf{q}) &= F_A + (1 + \mathbf{n}_q \cdot \mathbf{n}) F_C, \\
\mathbf{f}_1(\mathbf{r}, \mathbf{q}) &= (\mathbf{n}_q + \mathbf{n}) \eta F_B, \\
\mathbf{f}_2(\mathbf{r}, \mathbf{q}) &= -i\boldsymbol{\Sigma} \cdot [\mathbf{n}_q \times \mathbf{n}] F_C, \tag{1.20}
\end{aligned}$$

где

$$\begin{aligned}
F_A(\mathbf{r}, \mathbf{q}, \eta) &= \exp \left(\frac{\pi\eta}{2} - i\mathbf{q} \cdot \mathbf{r} \right) [\Gamma(1 - i\eta) F(i\eta, 1, iz) \\
&+ \frac{\pi\eta^2 e^{i\frac{\pi}{4}}}{2\sqrt{2qr}} \Gamma(1/2 - i\eta) F(1/2 + i\eta, 1, iz)], \\
F_B(\mathbf{r}, \mathbf{q}, \eta) &= -\frac{i}{2} \exp \left(\frac{\pi\eta}{2} - i\mathbf{q} \cdot \mathbf{r} \right) [\Gamma(1 - i\eta) F(1 + i\eta, 2, iz) \\
&+ \frac{\pi\eta^2 e^{i\frac{\pi}{4}}}{2\sqrt{2qr}} \Gamma(1/2 - i\eta) F(3/2 + i\eta, 2, iz)], \\
F_C(\mathbf{r}, \mathbf{q}, \eta) &= -\exp \left(\frac{\pi\eta}{2} - i\mathbf{q} \cdot \mathbf{r} \right) \frac{\pi\eta^2 e^{i\frac{\pi}{4}}}{8\sqrt{2qr}} \Gamma(1/2 - i\eta) F(3/2 + i\eta, 2, iz), \\
z &= (1 + \mathbf{n} \cdot \mathbf{n}_q) qr, \quad \mathbf{n} = \frac{\mathbf{r}}{r}. \tag{1.21}
\end{aligned}$$

Здесь $\Gamma(x)$ — Γ -функция Эйлера, а $F(\alpha, \beta, x)$ — вырожденная гипергеометрическая функция. Этот результат находится в согласии с [26].

Волновые функции для кулоновского потенциала в главном квазиклассическом приближении есть не что иное, как волновые функции Фарри-Зоммерфельда-Мауэ [2, 3].

1.2. Выводы к первой главе

Данная глава посвящена квазиклассическому подходу. В части 1.1 были получены выражения для квазиклассической функции Грина с учётом первой поправки в случае произвольного атомного потенциала (1.15) и для соответствующих волновых функций (1.19). Приведённых в этом разделе формул достаточно для вычисления сечений различных процессов в атомных полях при высоких энергиях в квазиклассическом приближении.

Глава 2

Зарядовая асимметрия в тормозном излучении

В настоящей главе мы следуем работе [12], которая посвящена исследованию зарядовой асимметрии в процессе тормозного излучения электронов и мюонов. Мы также исследуем влияние атомной экранировки и конечного размера ядра на дифференциальное сечение этого процесса.

Зарядовая асимметрия — это разница между сечениями взаимодействия частицы и античастицы с атомным полем. Как уже было сказано выше, зарядовая асимметрия отсутствует при вычислении в лидирующем квазиклассическом приближении, поэтому для получения зарядовой асимметрии необходимо учесть первую квазиклассическую поправку. Дифференциальное сечение тормозного излучения можно записать в следующем виде:

$$\begin{aligned} d\sigma(\mathbf{p}, \mathbf{q}, \mathbf{k}, \eta) &= d\sigma_s(\mathbf{p}, \mathbf{q}, \mathbf{k}, \eta) + d\sigma_a(\mathbf{p}, \mathbf{q}, \mathbf{k}, \eta), \\ d\sigma_s(\mathbf{p}, \mathbf{q}, \mathbf{k}, \eta) &= \frac{d\sigma(\mathbf{p}, \mathbf{q}, \mathbf{k}, \eta) + d\sigma(\mathbf{p}, \mathbf{q}, \mathbf{k}, -\eta)}{2}, \\ d\sigma_a(\mathbf{p}, \mathbf{q}, \mathbf{k}, \eta) &= \frac{d\sigma(\mathbf{p}, \mathbf{q}, \mathbf{k}, \eta) - d\sigma(\mathbf{p}, \mathbf{q}, \mathbf{k}, -\eta)}{2}, \end{aligned} \quad (2.22)$$

где \mathbf{p} , \mathbf{q} — импульс начального и конечного электрона, \mathbf{k} — волновой вектор фотона. Дифференциальное сечение тормозного излучения античастицы получается заменой $\eta \rightarrow -\eta$. Таким образом, величина $d\sigma_a(\mathbf{p}, \mathbf{q}, \mathbf{k}, \eta)$ определяет зарядовую асимметрию в тормозном излучении.

2.1. Дифференциальное сечение тормозного излучения

Дифференциальное сечение тормозного излучения заряженной частицы с начальным импульсом \mathbf{p} можно записать в следующем виде [41]

$$d\sigma = \frac{\alpha\omega q\varepsilon_q}{(2\pi)^4} d\Omega_{\mathbf{k}} d\Omega_{\mathbf{q}} d\omega |M|^2, \quad (2.23)$$

где $d\Omega_{\mathbf{k}}$ и $d\Omega_{\mathbf{q}}$ — телесные углы, соответствующие импульсам фотона \mathbf{k} и конечного лептона \mathbf{q} , $\omega = \varepsilon_p - \varepsilon_q$ — энергия фотона, $\varepsilon_p = \sqrt{\mathbf{p}^2 + m^2}$, $\varepsilon_q = \sqrt{\mathbf{q}^2 + m^2}$, m — масса заряженной частицы. Также мы подразумеваем, что все частицы ультрарелятивистские, $\varepsilon_p \gg m$ и $\varepsilon_q \gg m$. Матричный элемент M равен (см. рисунок 2.1)

$$M = \int d\mathbf{r} \bar{u}_{\mathbf{q}}^{(-)}(\mathbf{r}) \boldsymbol{\gamma} \cdot \mathbf{e}^* u_{\mathbf{p}}^{(+)}(\mathbf{r}) \exp(-i\mathbf{k} \cdot \mathbf{r}), \quad (2.24)$$

где γ^μ — матрицы Дирака, $u_{\mathbf{p}}^{(+)}(\mathbf{r})$ и $u_{\mathbf{q}}^{(-)}(\mathbf{r})$ — решения уравнения Дирака в атомном поле (1.19). Индексы $(-)$ и $(+)$ напоминают, что асимптотика функций $u_{\mathbf{p}}^{(-)}(\mathbf{r})$ и $u_{\mathbf{q}}^{(+)}(\mathbf{r})$ на больших \mathbf{r} состоит из сумм плоской волны и соответствующей сферически сходящейся и расходящейся волны.

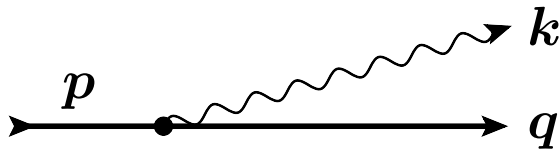


Рис. 2.1. Диаграмма процесса $e^- Z \rightarrow e^- \gamma Z$. Жирные линии соответствуют волновым функциям в атомном поле.

Используя вид волновых функций (1.17) и матрицу $\mathcal{F} = u_{\mathbf{p}\mu_p} \bar{u}_{\mathbf{q}\mu_q}$, матричный элемент M можно записать в следующем виде

$$M = \int d\mathbf{r} e^{-i\mathbf{k} \cdot \mathbf{r}} \text{Sp}\{(f_0 - \boldsymbol{\alpha} \cdot \mathbf{f}_1 - \boldsymbol{\Sigma} \cdot \mathbf{f}_2) \boldsymbol{\gamma} \cdot \mathbf{e}_\lambda^* (g_0 - \boldsymbol{\alpha} \cdot \mathbf{g}_1 - \boldsymbol{\Sigma} \cdot \mathbf{g}_2) \mathcal{F}\}. \quad (2.25)$$

Будем вычислять матричный элемент в спиральном базисе. Пусть μ_p , μ_q , и λ — знаки спиральностей начальной, конечной частицы и фотона. Пусть вектор $\boldsymbol{\nu} = \mathbf{k}/\omega$ направлен по оси z , а \mathbf{q} лежит в плоскости xz с $q_x > 0$. Тогда спиноры с нужной нам точностью в спиральном базисе равны

$$\begin{aligned}\phi_{\mu_p} &= \frac{1 + \mu_p \boldsymbol{\sigma} \cdot \mathbf{n}_p}{4 \cos(\theta_p/2)} \begin{pmatrix} 1 + \mu_p \\ 1 - \mu_p \end{pmatrix} \approx \frac{1}{4} \left(1 + \frac{\theta_p^2}{8}\right) (1 + \mu_p \boldsymbol{\sigma} \cdot \mathbf{n}_p) \begin{pmatrix} 1 + \mu_p \\ 1 - \mu_p \end{pmatrix}, \\ \chi_{\mu_q} &= \frac{1 + \mu_q \boldsymbol{\sigma} \cdot \mathbf{n}_q}{4 \cos(\theta_q/2)} \begin{pmatrix} 1 + \mu_q \\ 1 - \mu_q \end{pmatrix} \approx \frac{1}{4} \left(1 + \frac{\theta_q^2}{8}\right) (1 + \mu_q \boldsymbol{\sigma} \cdot \mathbf{n}_q) \begin{pmatrix} 1 + \mu_q \\ 1 - \mu_q \end{pmatrix}, \\ \mathbf{e}_\lambda &= \frac{1}{\sqrt{2}}(\mathbf{e}_x + i\lambda \mathbf{e}_y),\end{aligned}\tag{2.26}$$

где θ_p и θ_q — полярные углы векторов \mathbf{p} и \mathbf{q} , соответственно. Единичные вектора \mathbf{e}_x и \mathbf{e}_y направлены вдоль \mathbf{q}_\perp и $\mathbf{k} \times \mathbf{q}$, также мы будем использовать следующие обозначения: $\mathbf{X}_\perp = \mathbf{X} - (\mathbf{X} \cdot \boldsymbol{\nu})\boldsymbol{\nu}$ для любого вектора \mathbf{X} , $\boldsymbol{\theta}_p = \mathbf{p}_\perp/p$, $\boldsymbol{\theta}_q = \mathbf{q}_\perp/q$. Используя явный вид четырехмерных спиноров (1.17), нетрудно найти явный вид матрицы \mathcal{F} :

$$\begin{aligned}\mathcal{F} &= \frac{1}{8}(a_{\mu_p \mu_q} + \boldsymbol{\Sigma} \cdot \mathbf{b}_{\mu_p \mu_q})[\gamma^0(1 + PQ) + \gamma^0 \gamma^5(P + Q) + (1 - PQ) - \gamma^5(P - Q)], \\ P &= \frac{\mu_p p}{\varepsilon_p + m}, \quad Q = \frac{\mu_q q}{\varepsilon_q + m},\end{aligned}\tag{2.27}$$

где $a_{\mu_p \mu_q}$ и $\mathbf{b}_{\mu_p \mu_q}$ определяются из соотношения

$$\phi_{\mu_p} \chi_{\mu_q}^\dagger = \frac{1}{2}(a_{\mu_p \mu_q} + \boldsymbol{\sigma} \cdot \mathbf{b}_{\mu_p \mu_q}).\tag{2.28}$$

С помощью уравнения (2.26) получаем явный вид этих коэффициентов в спиральном базисе

$$\begin{aligned}a_{\mu\mu} &= 1 - \frac{\theta_{pq}^2}{8} - \frac{i\mu}{4} \boldsymbol{\nu} \cdot [\boldsymbol{\theta}_p \times \boldsymbol{\theta}_q], \quad a_{\mu\bar{\mu}} = \frac{\mu}{\sqrt{2}} \mathbf{e}_\mu \cdot \boldsymbol{\theta}_{pq}, \\ \mathbf{b}_{\mu\mu} &= \left\{ \mu \left[1 - \frac{1}{8}(\boldsymbol{\theta}_p + \boldsymbol{\theta}_q)^2\right] + \frac{i}{4} \boldsymbol{\nu} \cdot [\boldsymbol{\theta}_p \times \boldsymbol{\theta}_q] \right\} \boldsymbol{\nu} + \frac{\mu}{2}(\boldsymbol{\theta}_p + \boldsymbol{\theta}_q) + \frac{i}{2}[\boldsymbol{\theta}_{pq} \times \boldsymbol{\nu}], \\ \mathbf{b}_{\mu\bar{\mu}} &= \sqrt{2} \mathbf{e}_\mu - \frac{1}{\sqrt{2}}(\mathbf{e}_\mu, \boldsymbol{\theta}_p + \boldsymbol{\theta}_q) \boldsymbol{\nu},\end{aligned}\tag{2.29}$$

где $\boldsymbol{\theta}_{pq} = \boldsymbol{\theta}_p - \boldsymbol{\theta}_q$ и $\bar{\mu} = -\mu$.

Заметим, что только члены, пропорциональные $(P + Q)$ и $(1 + PQ)$ в \mathcal{F} (2.1), дают ненулевой вклад, так как они содержат нечетное число гамма матриц. Так как в квазиклассическом приближении функции f_0 , $\mathbf{f}_{1,2}$, g_0 , и $\mathbf{g}_{1,2}$ имеют различные характерные значения (см. (1.18)), необходимо учесть первую квазиклассическую поправку к функциям f_0 , g_0 , \mathbf{f}_1 , и \mathbf{g}_1 , а функции \mathbf{f}_2 и \mathbf{g}_2 можно брать в главном квазиклассическом приближении. Введем следующие обозначения:

$$\begin{aligned} & (A_{00}, \mathbf{A}_{01}, \mathbf{A}_{10}, \mathbf{A}_{02}, \mathbf{A}_{20}) \\ & = \int d\mathbf{r} \exp(-i\mathbf{k} \cdot \mathbf{r}) (f_0 g_0, f_0 \mathbf{g}_1, \mathbf{f}_1 g_0, f_0 \mathbf{g}_2, \mathbf{f}_2 g_0). \end{aligned} \quad (2.30)$$

Тогда матричный элемент M можно представить в виде

$$\begin{aligned} M & = \delta_{\mu_p \mu_q} \left[\delta_{\lambda \mu_p} (\mathbf{e}_\lambda^*, -\boldsymbol{\theta}_q A_{00} - 2\mathbf{A}_{10} + 2\mu_p \mathbf{A}_{20}) \right. \\ & \left. + \delta_{\lambda \bar{\mu}_p} (\mathbf{e}_\lambda^*, -\boldsymbol{\theta}_p A_{00} + 2\mathbf{A}_{01} + 2\mu_p \mathbf{A}_{02}) \right] - \frac{m\mu_p(p-q)}{\sqrt{2}pq} \delta_{\mu_q \bar{\mu}_p} \delta_{\lambda \mu_p} A_{00}. \end{aligned} \quad (2.31)$$

Мы будем проводить вычисления для произвольного атомного потенциала $V(r)$, что позволит учесть эффект атомной экранировки и эффект конечного размера ядра.

Вычисление амплитуд A_{00} , \mathbf{A}_{01} , \mathbf{A}_{10} , \mathbf{A}_{02} , и \mathbf{A}_{20} (2.30) выполняется таким же способом, как и в [14]. Оно детально описано в приложении А.

Таким образом, получаем

$$\begin{aligned}
A_{00} &= \frac{1}{\omega m^4} \int d\mathbf{r} \exp[-i\mathbf{\Delta} \cdot \mathbf{r} - i\chi(\rho)] \left[i2\varepsilon_p \varepsilon_q \xi_p \xi_q (\mathbf{p}_\perp + \mathbf{q}_\perp) \right. \\
&\quad \left. + m^2 (\varepsilon_p \xi_p - \varepsilon_q \xi_q) \int_0^\infty dx x \nabla_\perp V(\mathbf{r} - x\boldsymbol{\nu}) \right] \cdot \nabla_\perp V(\mathbf{r}), \\
\mathbf{A}_{01} &= \frac{\varepsilon_q \xi_q}{\omega m^2} \int d\mathbf{r} \exp[-i\mathbf{\Delta} \cdot \mathbf{r} - i\chi(\rho)] \\
&\quad \times \left[i\nabla_\perp V(\mathbf{r}) + \frac{\mathbf{\Delta}}{2\varepsilon_p} \int_0^\infty dx x \nabla_\perp V(\mathbf{r} - x\boldsymbol{\nu}) \cdot \nabla_\perp V(\mathbf{r}) + \frac{i}{2\varepsilon_p} \nabla_\perp V^2(\mathbf{r}) \right], \\
\mathbf{A}_{02} &= -\frac{\varepsilon_q \xi_q}{2\omega \varepsilon_p m^2} \int d\mathbf{r} \exp[-i\mathbf{\Delta} \cdot \mathbf{r} - i\chi(\rho)] \\
&\quad \times \int_0^\infty dx [\nabla V(\mathbf{r} - x\boldsymbol{\nu}) \times \nabla V(\mathbf{r})], \\
\mathbf{A}_{10} &= -\mathbf{A}_{01}(\varepsilon_q \leftrightarrow \varepsilon_p, \xi_q \leftrightarrow \xi_p), \quad \mathbf{A}_{20} = -\mathbf{A}_{02}(\varepsilon_q \leftrightarrow \varepsilon_p, \xi_q \leftrightarrow \xi_p), \\
\chi(\rho) &= \int_{-\infty}^\infty V(z, \boldsymbol{\rho}) dz, \quad \xi_p = \frac{m^2}{m^2 + p_\perp^2}, \quad \xi_q = \frac{m^2}{m^2 + q_\perp^2}. \tag{2.32}
\end{aligned}$$

Подставляя (2.32) в уравнение (2.31), находим явный вид матричного элемента

$$\begin{aligned}
M &= \frac{\sqrt{2}\mu_p}{m\omega} \delta_{\mu_p \bar{\mu}_q} \delta_{\lambda \mu_p} (\varepsilon_p - \varepsilon_q) [A_0(\xi_p - \xi_q) + A_1(\varepsilon_p \xi_p - \varepsilon_q \xi_q)], \\
&\quad + \frac{2}{m^2 \omega} \delta_{\mu_p \mu_q} (\varepsilon_p \delta_{\lambda \mu_p} + \varepsilon_q \delta_{\lambda \bar{\mu}_p}) [A_0(\mathbf{e}_\lambda^*, \xi_p \mathbf{p}_\perp - \xi_q \mathbf{q}_\perp) + A_1(\mathbf{e}_\lambda^*, \varepsilon_p \xi_p \mathbf{p}_\perp - \varepsilon_q \xi_q \mathbf{q}_\perp)] \\
A_1 &= -\frac{1}{2\varepsilon_p \varepsilon_q} \int d\mathbf{r} \exp[-i\mathbf{\Delta} \cdot \mathbf{r} - i\chi(\rho)] \int_0^\infty dx x \nabla_\perp V(\mathbf{r} - x\boldsymbol{\nu}) \cdot \nabla_\perp V(\mathbf{r}). \\
A_0 &= -\frac{i}{\Delta^2} \int d\mathbf{r} \exp[-i\mathbf{\Delta} \cdot \mathbf{r} - i\chi(\rho)] \mathbf{\Delta} \cdot \nabla_\perp V(\mathbf{r}), \tag{2.33}
\end{aligned}$$

Заметим, что из-за сферической симметрии потенциала $V(r)$, вклады от \mathbf{A}_{02} и \mathbf{A}_{20} сокращаются с членами, пропорциональными $\nabla_\perp V^2(\mathbf{r})$ в \mathbf{A}_{01} и \mathbf{A}_{10} (2.32). Для тормозного излучения электронов необходимо учесть атомную

экранировку, а для тормозного излучения мюонов, помимо экранировки, необходимо учесть влияние эффекта конечного размера ядра (отличие потенциала от кулоновского на расстояниях порядка радиуса ядра), так как комптоновская длина волны мюона $\lambda_\mu = 1/m_\mu = 1.87$ фм меньше, чем радиус ядра R , например для золота $R = 7.3$ фм.

Квадрат матричного элемента, усреднённый по поляризациям конечных частиц, имеет вид

$$\begin{aligned}
\sum_{\lambda\mu_q} |M|^2 &= S_0 + S_1 + S_2, \\
S_0 &= \frac{2|A_0|^2}{m^2\omega^2} \left[\frac{\Delta^2}{m^2} (\varepsilon_p^2 + \varepsilon_q^2) \xi_p \xi_q - 2\varepsilon_p \varepsilon_q (\xi_p - \xi_q)^2 \right], \\
S_1 &= \frac{2\text{Re}A_0 A_1^*}{m^2\omega^2} \left\{ \frac{\Delta^2}{m^2} (\varepsilon_p^2 + \varepsilon_q^2) (\varepsilon_p + \varepsilon_q) \xi_p \xi_q \right. \\
&\quad \left. + \left[(\varepsilon_p^2 + \varepsilon_q^2) (\varepsilon_p - \varepsilon_q) - 4\varepsilon_p \varepsilon_q (\varepsilon_p \xi_p - \varepsilon_q \xi_q) \right] (\xi_p - \xi_q) \right\}, \\
S_2 &= -\frac{4\mu_p \text{Im}A_0 A_1^*}{m^4\omega^2} \omega^2 (\varepsilon_p + \varepsilon_q) \xi_p \xi_q [\mathbf{p}_\perp \times \mathbf{q}_\perp] \cdot \boldsymbol{\nu}. \tag{2.34}
\end{aligned}$$

Так как S_0 и S_2 — четные функции по η , они дают вклад в симметричную часть дифференциального сечения $d\sigma_s(\mathbf{p}, \mathbf{q}, \mathbf{k}, \eta)$ в (2.22). Величина S_1 антисимметрична относительно замены $\eta \rightarrow -\eta$, поэтому она дает вклад в антисимметричную часть сечения $d\sigma_a(\mathbf{p}, \mathbf{q}, \mathbf{k}, \eta)$ в (2.22). S_2 отвечает асимметрии относительно азимутального угла φ_i . Как и должно быть, этот член сокращается после усреднения по спиральности начальной частицы. Заметим, что член S_0 отвечает главному квазиклассическому вкладу, а члены $S_{1,2}$ — первой квазиклассической поправке.

Коэффициенты A_0 и A_1 зависят от импульсов \mathbf{p} , \mathbf{q} , и \mathbf{k} только через

передачу импульса Δ . Поэтому можно найти из (2.23) и (2.34) сечение

$$\begin{aligned} \frac{d\sigma_s}{d\omega d\Delta_\perp} &= \frac{\alpha\varepsilon_q}{2\pi^3\omega\varepsilon_p} |A_0|^2 \Phi, & \frac{d\sigma_a}{d\omega d\Delta_\perp} &= \frac{\alpha\varepsilon_q(\varepsilon_p + \varepsilon_q)}{2\pi^3\omega\varepsilon_p} \operatorname{Re} A_0 A_1^* \Phi, \\ \Phi &= \frac{\ln(\zeta + \sqrt{1 + \zeta^2})}{\zeta\sqrt{1 + \zeta^2}} \left(\zeta^2 \frac{\varepsilon_p^2 + \varepsilon_q^2}{\varepsilon_p\varepsilon_q} + 1 \right) - 1, & \zeta &= \frac{\Delta_\perp}{2m}. \end{aligned} \quad (2.35)$$

Функция Φ имеет следующие асимптотики:

$$\begin{aligned} \Phi &= \left(\frac{\varepsilon_p^2 + \varepsilon_q^2}{\varepsilon_p\varepsilon_q} - \frac{2}{3} \right) \zeta^2 \quad \text{при } \zeta \ll 1, \\ \Phi &= \frac{\varepsilon_p^2 + \varepsilon_q^2}{\varepsilon_p\varepsilon_q} \ln(2\zeta) - 1 \quad \text{при } \zeta \gg 1. \end{aligned} \quad (2.36)$$

2.2. Кулоновские поправки к тормозному излучению электронов

Кулоновские поправки к симметричной части дифференциального сечения в главном квазиклассическом приближении определяются областью малых передач импульса $\Delta \sim \max(r_{scr}^{-1}, \Delta_{min})$ [6, 14], где $\Delta_{min} = p - q - \omega \approx m^2\omega/2\varepsilon_q\varepsilon_p$, $r_{scr} \sim 1/(m\alpha Z^{1/3})$ — радиус экранировки. Основной вклад кулоновских поправок в зарядовую и азимутальную асимметрии набирается в области $\Delta \gg \max(r_{scr}^{-1}, \Delta_{min})$. В этой области мы можем пренебречь эффектом экранировки и заменить $V(r)$ на кулоновский потенциал $V_c(r) = -\eta/r$, и также пренебречь Δ_\parallel по сравнению с Δ_\perp . Тогда коэффициенты A_0 и A_1 в (2.33) принимают следующий вид

$$\begin{aligned} A_0 &= -\frac{4\pi\eta(L\Delta)^{2i\eta}}{\Delta^2} \frac{\Gamma(1 - i\eta)}{\Gamma(1 + i\eta)}, \\ A_1 &= -\frac{\pi^2\eta^2(L\Delta)^{2i\eta}}{\varepsilon_p\varepsilon_q\Delta} \frac{\Gamma(1/2 - i\eta)}{\Gamma(1/2 + i\eta)}, \end{aligned} \quad (2.37)$$

где $L \sim \min(\varepsilon_p/m^2, r_{scr})$. Фактор $(L\Delta)^{2i\eta}$ не важен, так как он сокращается в $|M|^2$. Тогда факторы в S_0 , S_1 , и S_2 в (2.34), определяющие их зависимость

от потенциала, равны

$$|A_0|^2 = \left(\frac{4\pi\eta}{\Delta^2} \right)^2, \quad \text{Re}A_0A_1^* = \frac{\pi \text{Reg}(\eta)\Delta}{4\varepsilon_p\varepsilon_q} |A_0|^2, \\ \text{Im}A_0A_1^* = \frac{\pi \text{Im}g(\eta)\Delta}{4\varepsilon_p\varepsilon_q} |A_0|^2, \quad g(\eta) = \eta \frac{\Gamma(1-i\eta)\Gamma(1/2+i\eta)}{\Gamma(1+i\eta)\Gamma(1/2-i\eta)}. \quad (2.38)$$

В области $\Delta \sim m$ дифференциальное сечение в главном квазиклассическом приближении $d\sigma_s(\mathbf{p}, \mathbf{q}, \mathbf{k}, \eta)$ совпадает с результатом, полученным в борновском приближении. Кулоновские поправки к $d\sigma_a(\mathbf{p}, \mathbf{q}, \mathbf{k}, \eta)$ (член S_1) и к $d\sigma_s(\mathbf{p}, \mathbf{q}, \mathbf{k}, \eta)$ (член S_2) пропорциональны $\text{Reg}(\eta)$ и $\text{Im}g(\eta)$, соответственно. Реальная и мнимая часть функции $g(\eta)$ показана на рисунке 2.2.

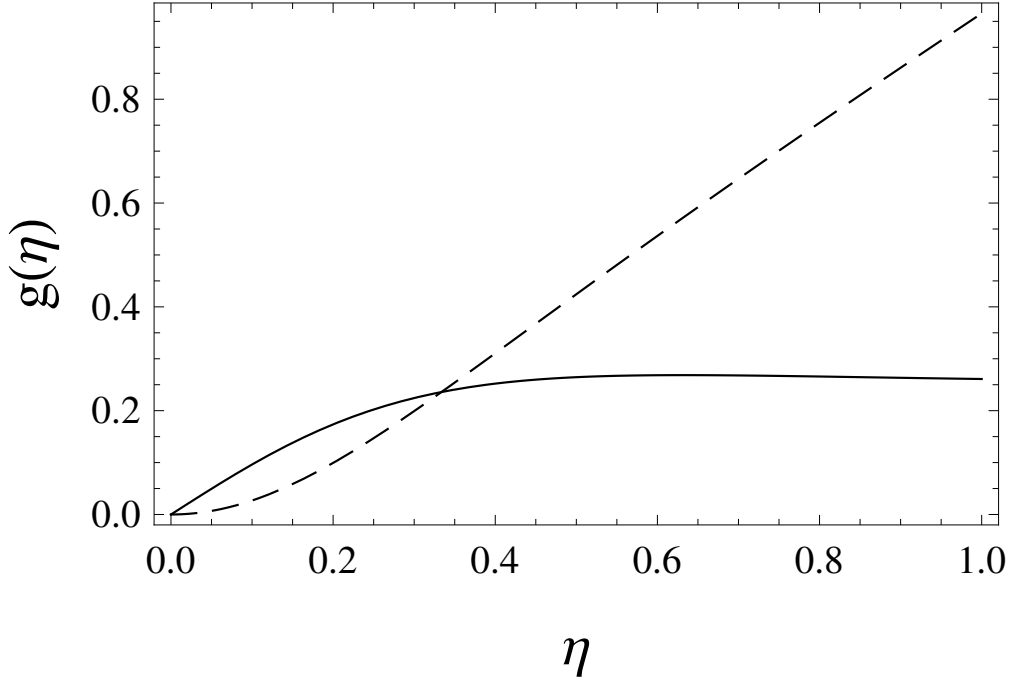


Рис. 2.2. Функция $\text{Reg}(\eta)$ (сплошная линия) и $-\text{Im}g(\eta)$ (пунктирная линия), см. ур.(2.34).

При $\omega \ll \varepsilon_p$, отношение антисимметричной части сечения к симметричной,

$$\frac{S_1}{S_0} = \frac{\pi\Delta \text{Reg}(\eta)}{2\varepsilon_p}, \quad (2.39)$$

возрастает с ростом Δ/ε_p и может достигать десятков процентов. Отношение S_2/S_0 мало при $\omega \ll \varepsilon_p$, так как подавлено фактором $(\omega/\varepsilon_p)^2$.

Если $\mathbf{p}_\perp \gg m$ и $\mathbf{q}_\perp \gg m$, тогда

$$\frac{S_1}{S_0} = \frac{\pi \text{Reg}(\eta)}{2\Delta} \Delta \cdot \boldsymbol{\theta}_{qp}, \quad \frac{S_2}{S_0} = \mu_p \frac{\pi \omega (\varepsilon_p + \varepsilon_q) \text{Im}g(\eta)}{2(\varepsilon_p^2 + \varepsilon_q^2) \Delta} [\Delta \times \boldsymbol{\theta}_{qp}] \cdot \boldsymbol{\nu}, \quad (2.40)$$

где $\boldsymbol{\theta}_{qp} = \mathbf{p}_\perp/p - \mathbf{q}_\perp/q$. Азимутальная асимметрия возрастает с ростом ω и может быть существенна.

Дифференциальное сечение $d\sigma/d\omega d\Delta_\perp$ (2.35) при $\Delta \gg \max(r_{scr}^{-1}, \Delta_{min})$ имеет следующий вид

$$\begin{aligned} \frac{d\sigma_s}{d\omega d\Delta_\perp} &= \frac{8\alpha\eta^2\varepsilon_q}{\pi\omega\varepsilon_p\Delta_\perp^4} \Phi, \\ \frac{d\sigma_a}{d\omega d\Delta_\perp} &= \frac{\pi \text{Reg}(\eta)(\varepsilon_p + \varepsilon_q)\Delta}{4\varepsilon_p\varepsilon_q} \frac{d\sigma_s}{d\omega d\Delta_\perp}. \end{aligned} \quad (2.41)$$

На рисунке 2.3 показана зависимость $A = \sigma_0^{-1} d\sigma_a/d\omega d\Delta_\perp$ от $\zeta = \Delta_\perp/2m$ для некоторых значениях $t = \varepsilon_q/\varepsilon_p$; $\sigma_0 = \alpha\eta^2 \text{Reg}(\eta)/(2m^2\omega\varepsilon_p\Delta_\perp)$. Этот рисунок подтверждает наше утверждение о том, что главный вклад в антисимметричную часть дифференциального сечения дает область $\Delta \sim m$.

Можно получить дифференциальное сечение, проинтегрированное по углам конечного электрона. Подставляя в (2.23) выражения из (2.38) и интегрируя по \mathbf{q} , получаем

$$\begin{aligned} \frac{d\sigma_s}{d\mathbf{k}} &= \frac{4\alpha\eta^2\xi_p^2}{\pi m^4\omega^3} \{(\varepsilon_p^2 + \varepsilon_q^2)L - \varepsilon_p\varepsilon_q[1 + 4\xi_p(1 - \xi_p)(L - 3/2)]\}, \\ \frac{d\sigma_a}{d\mathbf{k}} &= \frac{\pi\alpha\eta^2 \text{Re}g(\eta)}{m^3\omega^3\varepsilon_p\varepsilon_q} \xi_p \left[\varepsilon_q(\varepsilon_p^2 + \varepsilon_q^2 + 2\varepsilon_p\omega\xi_p)F_1 + \xi_p(\varepsilon_p^2\omega - \varepsilon_q^3 - 4\varepsilon_p\varepsilon_q\omega\xi_p)F_2 \right], \\ L &= \ln\left(\frac{2\varepsilon_p\varepsilon_q}{m\omega}\right) - \frac{1}{2} - f(\eta), \\ F_1 &= F(1/2, 1/2; 1; -p_\perp^2/m^2) = \frac{2}{\pi}K(-p_\perp^2/m^2), \\ F_2 &= F(-1/2, 1/2; 1; -p_\perp^2/m^2) = \frac{2}{\pi}E(-p_\perp^2/m^2), \end{aligned} \quad (2.42)$$

где $K(x)$ и $E(x)$ — эллиптические функции.

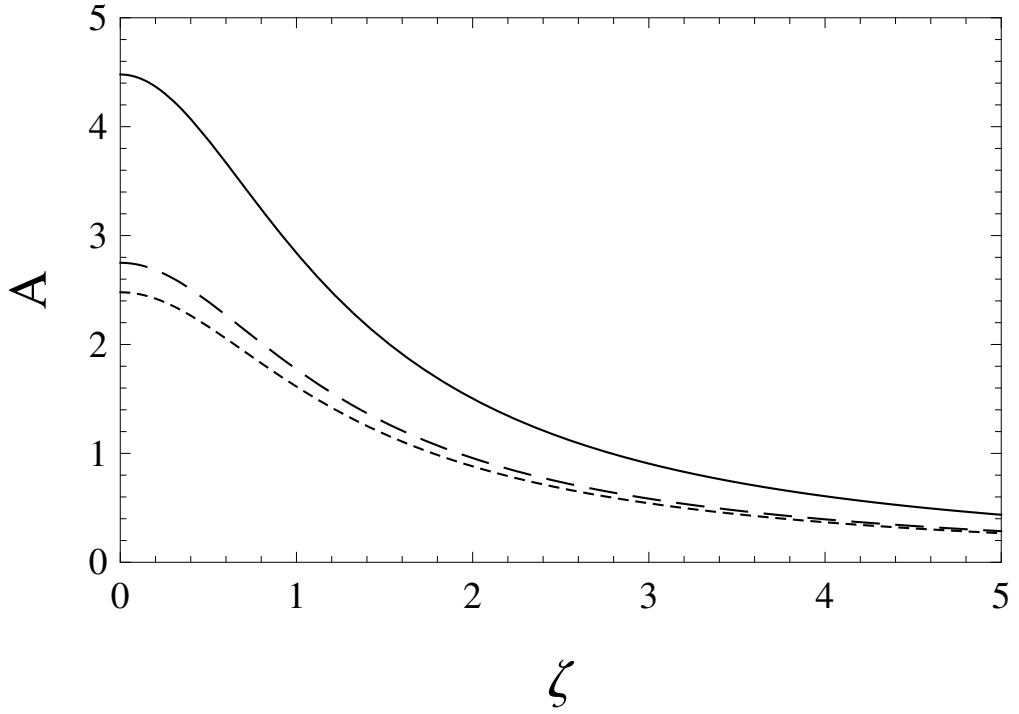


Рис. 2.3. Зависимость $A = \sigma_0^{-1} d\sigma_a/d\omega d\Delta_\perp$ от $\zeta = \Delta_\perp/2m$ (2.41), для нескольких значений $t = \varepsilon_q/\varepsilon_p$; $\sigma_0 = \alpha\eta^2 \text{Reg}(\eta)/(2m^2\omega\varepsilon_p\Delta_\perp)$: $t = 0.25$ (сплошная кривая), $t = 0.5$ (штриховая кривая) и $t = 0.75$ (пунктирная кривая).

Интегрируя по Δ_\perp дифференциальное сечение (2.35), получаем антисимметричную часть спектра

$$\frac{d\sigma_a}{d\omega} = \frac{\alpha\pi^3\eta^2 \text{Reg}(\eta)}{4m\omega\varepsilon_p^2} \left[2\frac{\varepsilon_p^2 + \varepsilon_q^2}{\varepsilon_p\varepsilon_q} - 1 \right] (\varepsilon_p + \varepsilon_q). \quad (2.43)$$

Этот результат находится в согласии с первой квазиклассической поправкой к сечению фоторождения электрон-позитронной пары, полученной в [14, 24].

На рисунке 2.4 показана зависимость $A_1 = \sigma_1^{-1} d\sigma_a/d\omega d\mathbf{k}_\perp$ от $\zeta_1 = k_\perp/m$ для некоторых значений $t = \varepsilon_q/\varepsilon_p$; $\sigma_1 = \alpha\eta^2 \text{Reg}(\eta)/(2m^3\omega\varepsilon_p)$. Здесь \mathbf{k}_\perp — компонента вектора \mathbf{k} , перпендикулярная вектору \mathbf{p} , $\mathbf{k}_\perp = -\omega\mathbf{p}_\perp/p$.

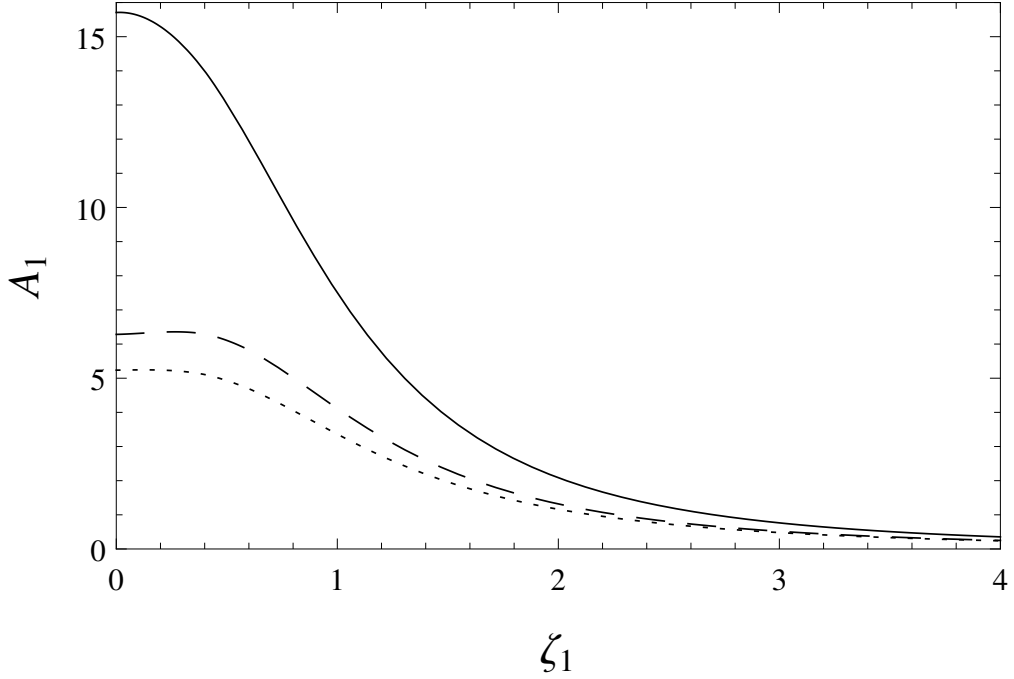


Рис. 2.4. Зависимость $A_1 = \sigma_1^{-1} d\sigma_a/d\omega d\mathbf{k}_\perp$ от $\zeta_1 = k_\perp/m$, для нескольких значений $t = \varepsilon_q/\varepsilon_p$; $\sigma_1 = \alpha\eta^2 \text{Reg}(\eta)/(2m^3\omega\varepsilon_p)$: $t = 0.25$ (сплошная кривая), $t = 0.5$ (штриховая кривая) и $t = 0.75$ (пунктирная кривая).

2.3. Кулоновские поправки к тормозному излучению

МЮОНОВ

В случае тормозного излучения мюонов оказывается важным учёт отличия атомного потенциала от кулоновского на расстояниях r порядка радиуса ядра R (эффект конечного размера ядра).

Преобразование Фурье $V_F(\Delta^2)$ потенциала $V(r)$ можно представить в следующем виде

$$V_F(\Delta^2) = -\frac{4\pi\eta F(\Delta^2)}{\Delta^2}, \quad (2.44)$$

где $F(\Delta^2)$ формфактор, который существенно отличается от единицы при $\Delta \gtrsim 1/R$ и $\Delta \lesssim 1/r_{scr}$. Сначала обсудим кулоновские поправки к симметричной части сечения, вычисленные в главном квазиклассическом приближении. В этом случае дифференциальное сечение $d\sigma_s$ зависит от потенциала

через A_0 (2.33). В борновском приближении

$$A_{0B} = \frac{-i}{\Delta^2} \int d\mathbf{r} \exp(-i\Delta \cdot \mathbf{r}) \Delta \cdot \nabla_{\perp} V(\mathbf{r}) = V_F(\Delta^2). \quad (2.45)$$

Кулоновские поправки \mathcal{A}_0 к величине $|A_0|^2$ равны

$$\mathcal{A}_0 = |A_0|^2 - |A_{0B}|^2. \quad (2.46)$$

Кулоновские поправки \mathcal{A}_0 исчезают при $r_{scr}^{-1} \ll \Delta \ll R^{-1}$ и имеют два пика: при $\Delta \sim r_{scr}^{-1}$ и при $\Delta \sim R^{-1}$. Вклад от этих областей в интеграл $\int \Delta^2 \mathcal{A}_0 d\Delta_{\perp}$ [14] равен

$$\int \Delta^2 \mathcal{A}_0 d\Delta_{\perp} = \mp - 32\pi^3 \eta^2 f(\eta), \quad f(\eta) = \text{Re}\psi(1+i\eta) - \psi(1), \quad (2.47)$$

где $\psi(x) = d \ln \Gamma(x) / dx$. Отрицательный вклад соответствует $\Delta \sim r_{scr}^{-1}$, а положительный вклад — $\Delta \sim R^{-1}$. Интересно, что эти вклады являются универсальными функциями, которые зависят только от η и не зависят от формы потенциала, хотя функция \mathcal{A}_0 очень чувствительна к форме потенциала [6, 14]. Для тормозного излучения электрона $m \ll R^{-1}$, поэтому только область $r \sim r_{scr}$ дает ненулевые кулоновские поправки к $d\sigma_s/d\omega$ [6]

$$\frac{d\sigma_C}{d\omega} = -\frac{4\alpha\eta^2 f(\eta)}{m^2\omega} \left(t^2 - \frac{2}{3}t + 1 \right), \quad t = \frac{\varepsilon_q}{\varepsilon_p}. \quad (2.48)$$

Для мюонов $m_{\mu} \gg R^{-1}$, так что вклад дают обе области, $\Delta \gtrsim 1/R$ и $\Delta \lesssim 1/r_{scr}$, таким образом суммарные кулоновские поправки к $d\sigma_s/d\omega$ равны нулю. Однако кулоновские поправки к дифференциальному сечению при $\Delta \sim R^{-1}$ существенны. Для того, чтобы проиллюстрировать это утверждение, мы рассмотрим формфактор $F(\Delta^2)$

$$F(\Delta^2) = \frac{\Lambda^2}{\Delta^2 + \Lambda^2}, \quad (2.49)$$

где $\Lambda \sim 60$ МэВ. Этот формфактор описывает потенциал для тяжелых атомов при $\Delta \gg r_{scr}^{-1}$. Фактор A_0 (2.33) равен

$$A_0 = -\frac{4\pi\eta}{\Delta^2} \int_0^\infty d\rho J_1(\rho) \left[1 - \frac{\rho}{\beta} K_1\left(\frac{\rho}{\beta}\right) \right] \exp \left\{ -2i\eta \left[\ln \frac{\rho}{2} + K_0\left(\frac{\rho}{\beta}\right) \right] \right\},$$

$$A_{0B} = -\frac{4\pi\eta}{\Delta^2(1+\beta^2)}, \quad \beta = \frac{\Delta}{\Lambda}, \quad (2.50)$$

где $J_n(x)$ — функция Бесселя и $K_n(x)$ — модифицированная функция Бесселя второго рода. На рисунке 2.5 показана зависимость $G_0 = |A_0|^2/|A_{0B}|^2 - 1$ от $\beta = \Delta/\Lambda$ для некоторых значений η .

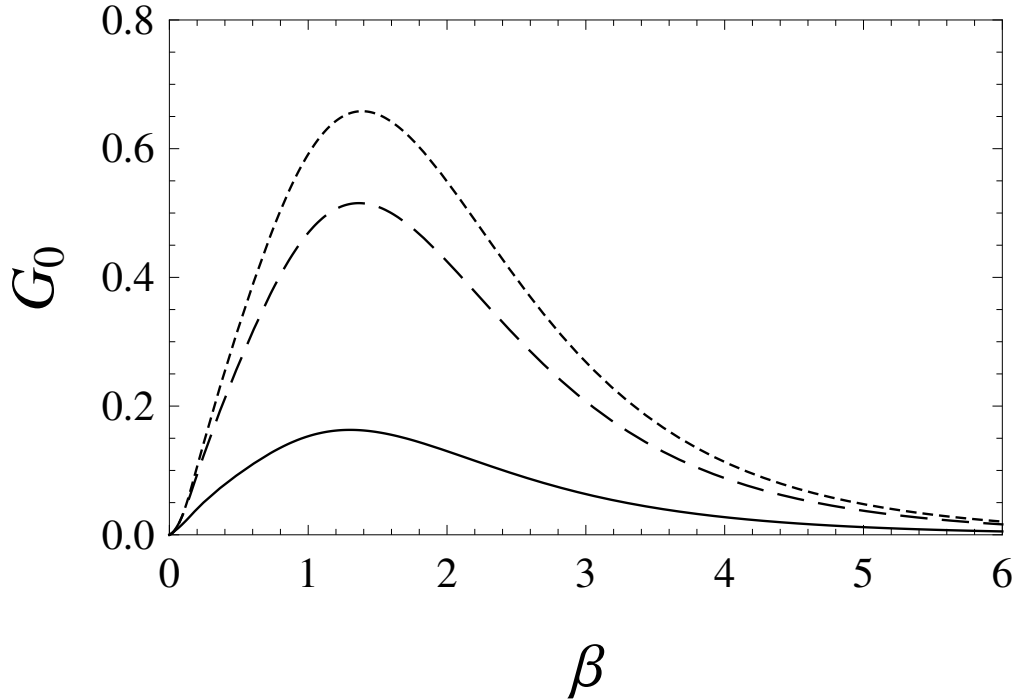


Рис. 2.5. Зависимость $G_0 = |A_0|^2/|A_{0B}|^2 - 1$ от $\beta = \Delta/\Lambda$ при $\beta \gg 1/(r_{scr}\Lambda)$ и нескольких значений η ; $\eta = 0.34$ (Ag, сплошная кривая), $\eta = 0.6$ (Pb, штриховая кривая) и $\eta = 0.67$ (U, пунктирная кривая).

Заметим, что узкий пик при $\Delta \sim r_{scr}^{-1}$ ($\beta \sim 1/(r_{scr}\Lambda) \ll 1$) не показан на этом рисунке. Зависимость формы пика от формы потенциала при $\Delta \sim r_{scr}^{-1}$ исследовалась в работе [14]. Из рисунка 2.5 видно, что кулоновские поправки к $|A_0|^2$ существенны в области $\Delta/\Lambda \sim 1$.

Фактор A_1 (2.33) в низшем по η приближении имеет следующий вид

$$\begin{aligned} A_{1B} &= -\frac{\mathcal{J}(\Delta)}{2\varepsilon_p\varepsilon_q}, \\ \mathcal{J}(\Delta) &= \int \frac{d\mathbf{s}}{(2\pi)^3} [V_F(Q_+)V_F(Q_-) + (\Delta^2 - 4s_{\parallel}^2)V_F(Q_+)V'_F(Q_-)], \\ Q_{\pm} &= (\mathbf{s} \pm \mathbf{\Delta}/2)^2, \quad s_{\parallel} = \mathbf{s} \cdot \mathbf{\Delta}/\Delta, \end{aligned} \quad (2.51)$$

где $V'_F(Q) = \partial V_F(Q)/\partial Q$, см. [27]. Для формфактора (2.49), функция $\mathcal{J}(\Delta)$ равна [27]

$$\begin{aligned} \mathcal{J}(\Delta) &= \frac{2\pi^2\eta^2}{\Delta} \mathcal{F}(\beta), \quad \beta = \frac{\Delta}{\Lambda}, \\ \mathcal{F}(\beta) &= 1 + \frac{2}{\pi} \operatorname{arctg} \frac{\beta}{2} - \frac{4}{\pi} \operatorname{arctg}(\beta) - \frac{12\beta}{\pi(\beta^2 + 4)(\beta^2 + 1)}. \end{aligned} \quad (2.52)$$

Точный по η фактор A_1 при $\Delta \gg r_{scr}^{-1}$ равен

$$\begin{aligned} A_1 &= -\frac{\pi^2\eta^2}{\varepsilon_p\varepsilon_q\Delta} \iint_{00}^{\infty} dx d\rho \mathcal{F}(\beta x/\rho) J_0(\rho) J_0(x) \\ &\times \exp \left\{ -2i\eta \left[\ln \frac{\rho}{2} + K_0 \left(\frac{\rho}{\beta} \right) \right] \right\}. \end{aligned} \quad (2.53)$$

На рисунках 2.6 и 2.7 показана зависимость величин G_1 и G_2 ,

$$\begin{aligned} G_1 &= \frac{\operatorname{Re}A_0A_1^*}{|A_0|^2\Sigma_R}, \quad \Sigma_R = \frac{\pi \operatorname{Re}g(\eta)\Delta}{4\varepsilon_p\varepsilon_q}, \\ G_2 &= \frac{\operatorname{Im}A_0A_1^*}{|A_0|^2\Sigma_I}, \quad \Sigma_I = \frac{\pi \operatorname{Im}g(\eta)\Delta}{4\varepsilon_p\varepsilon_q}, \end{aligned} \quad (2.54)$$

от $\beta = \Delta/\Lambda$. Заметим, что для кулоновского поля $G_1 = G_2 = 1$ (2.38).

Видно, что величины G_1 и G_2 быстро убывают с ростом β при $\beta \lesssim 1$.

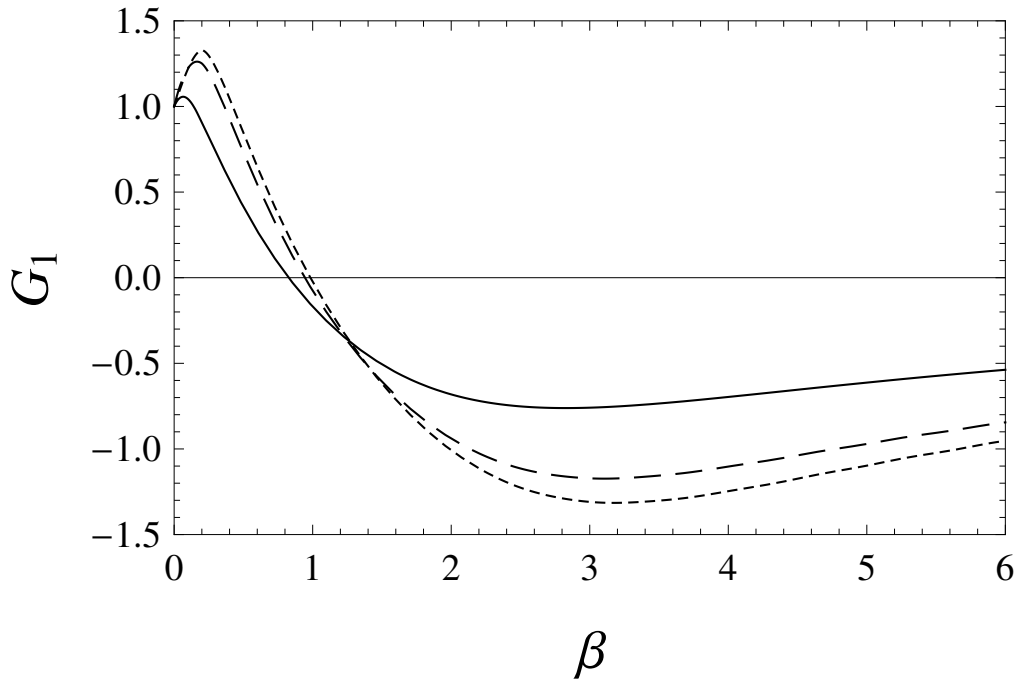


Рис. 2.6. Зависимость $G_1 = \Sigma_R^{-1} \operatorname{Re} A_0 A_1^* / |A_0|^2$ от $\beta = \Delta/\Lambda$, (2.54), для нескольких значений η ; $\eta = 0.34$ (серебро, сплошная линия), $\eta = 0.6$ (свинец, штрихованная линия), $\eta = 0.67$ (уран, пунктирная линия).

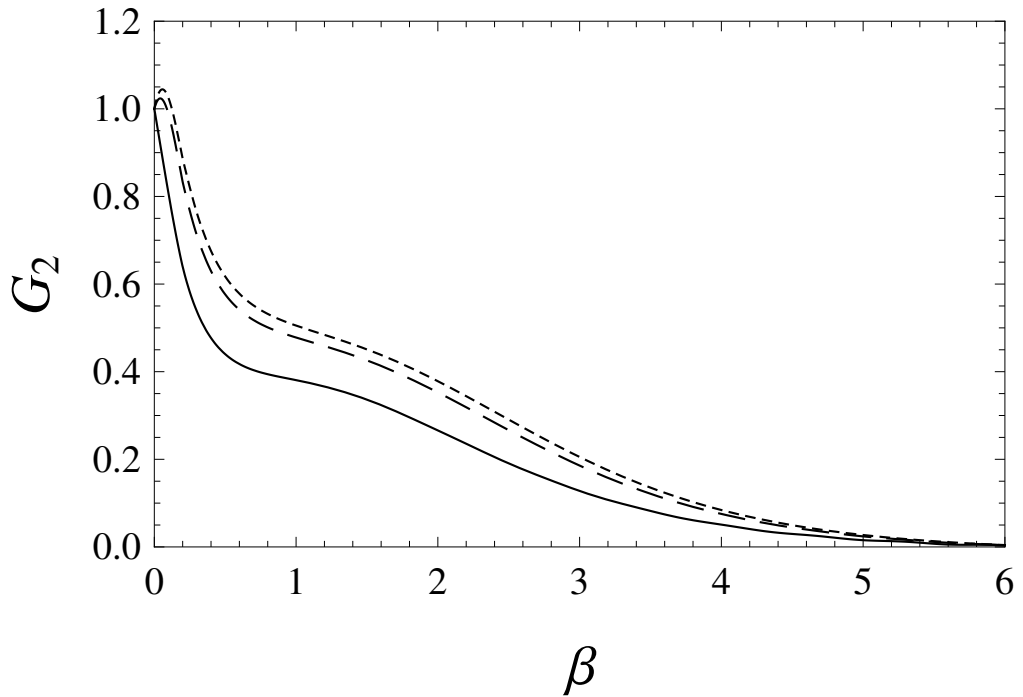


Рис. 2.7. Зависимость $G_2 = \Sigma_I^{-1} \operatorname{Im} A_0 A_1^* / |A_0|^2$ от $\beta = \Delta/\Lambda$, (2.54), для нескольких значений η ; $\eta = 0.34$ (серебро, сплошная линия), $\eta = 0.6$ (свинец, штрихованная линия), $\eta = 0.67$ (уран, пунктирная линия).

2.4. Выводы ко второй главе

В настоящей главе мы рассмотрели зарядовую и азимутальную асимметрии в процессе тормозного излучения при высоких энергиях. Эти асимметрии отсутствуют при вычисления сечения в главном квазиклассическом приближении и возникают только при учете первой квазиклассической поправки. Полученный результат является точным по параметру η и справедлив для произвольного сферически симметричного атомного потенциала. Проведён подробный анализ эффекта экранировки для тормозного излучения электрона и эффектов конечного размера ядра и атомной экранировки для тормозного излучения мюона. Показано, что кулоновские поправки дают существенный вклад в дифференциальное сечение.

Глава 3

Двойное тормозное излучение

Изложение этой главы основано на работе [22], в которой процесс двойного тормозного излучения рассматривается в ведущем квазиклассическом приближении. Мы получим точное по η дифференциальное сечение двойного тормозного излучения релятивистского электрона в атомном поле и исследуем влияние эффекта атомной экранировки на дифференциальное сечение этого процесса.

3.1. Процесс $e^- Z \rightarrow e^- \gamma_1 \gamma_2 Z$

Дифференциальное сечение двойного тормозного излучения заряженной частицы с начальным импульсом \mathbf{p} можно записать в следующем виде [41]

$$d\sigma = \frac{\alpha^2}{(2\pi)^6} \omega_1 \omega_2 q \varepsilon_q d\omega_1 d\omega_2 d\Omega_{\mathbf{k}_1} d\Omega_{\mathbf{k}_2} d\Omega_{\mathbf{q}} |M|^2, \quad (3.55)$$

где $d\Omega_{\mathbf{k}_1}$, $d\Omega_{\mathbf{k}_2}$, и $d\Omega_{\mathbf{q}}$ — телесные углы, соответствующие импульсам фотонов \mathbf{k}_1 , \mathbf{k}_2 и конечному импульсу заряженной частицы \mathbf{q} , $\varepsilon_q = \varepsilon_p - \omega_1 - \omega_2$ — энергия конечной заряженной частицы, $\varepsilon_p = \sqrt{\mathbf{p}^2 + m^2}$, $\varepsilon_q = \sqrt{\mathbf{q}^2 + m^2}$. Также мы подразумеваем, что $\varepsilon_p \gg m$ и $\varepsilon_q \gg m$. Матричный элемент M равен (см. рисунок 3.1)

$$\begin{aligned} M &= M^{(1)} + M^{(2)}, \\ M^{(1)} &= - \iint d\mathbf{r}_1 d\mathbf{r}_2 e^{-i\mathbf{k}_1 \cdot \mathbf{r}_1 - i\mathbf{k}_2 \cdot \mathbf{r}_2} \bar{u}_{\mathbf{q}}^{(-)}(\mathbf{r}_2) \hat{e}_2^* G(\mathbf{r}_2, \mathbf{r}_1 | \varepsilon_p - \omega_1) \hat{e}_1^* u_{\mathbf{p}}^{(+)}(\mathbf{r}_1), \\ M^{(2)} &= M^{(1)}(\mathbf{k}_1 \leftrightarrow \mathbf{k}_2, \omega_1 \leftrightarrow \omega_2, \mathbf{e}_1 \leftrightarrow \mathbf{e}_2), \end{aligned} \quad (3.56)$$

где $\hat{e} = \gamma^\nu e_\nu = -\boldsymbol{\gamma} \cdot \mathbf{e}$, $\mathbf{e}_{1,2}$ — вектора поляризации фотонов и $G(\mathbf{r}_2, \mathbf{r}_1 | \varepsilon)$ — функция Грина уравнения Дирака во внешнем поле $V(r)$. С помощью урав-

нения Дирака перепишем матричный элемент $M^{(1)}$ в (3.56) через функцию Грина $D(\mathbf{r}_2, \mathbf{r}_1|\varepsilon)$ квадрированного уравнения Дирака (1.5):

$$M^{(1)} = - \iint d\mathbf{r}_1 d\mathbf{r}_2 e^{-i\mathbf{k}_1 \cdot \mathbf{r}_1 - i\mathbf{k}_2 \cdot \mathbf{r}_2} \bar{u}_{\mathbf{q}}^{(-)}(\mathbf{r}_2) \hat{e}_2^* D(\mathbf{r}_2, \mathbf{r}_1|\varepsilon_p - \omega_1) \times [2ie_1^* \cdot \nabla + \hat{e}_1^* \hat{k}_1] u_{\mathbf{p}}^{(+)}(\mathbf{r}_1). \quad (3.57)$$

В пределах нашей точности необходимо учесть d_0 , \mathbf{d}_1 , f_0 , \mathbf{f}_1 , g_0 и \mathbf{g}_1 в главном квазиклассическом приближении (см. (1.19) и (1.15)).

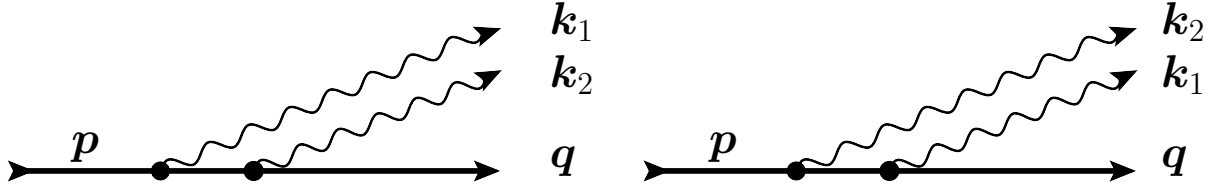


Рис. 3.1. Диаграммы процесса $e^- Z \rightarrow \gamma_1 \gamma_2 e^- Z$. Жирные линии соответствуют волновым функциям и функциям Грина в атомном поле.

Удобно проводить вычисления в спиральном базисе. Пусть μ_p , μ_q , λ_1 , и λ_2 — знаки спиральностей начального и конечного электрона и испускаемых фотонов. Зафиксируем систему координат следующим образом: $\boldsymbol{\nu} \equiv \mathbf{n}_p = \mathbf{p}/p$ направлен по оси z , \mathbf{q} лежит в плоскости xz с $q_x > 0$.

Используя матрицу $\mathcal{F} = u_{\mathbf{p}\mu_p} \bar{u}_{\mathbf{q}\mu_q}$ (2.1), матричный элемент M можно переписать в следующем виде

$$M^{(1)} = - \iint d\mathbf{r}_1 d\mathbf{r}_2 e^{-i\mathbf{k}_1 \cdot \mathbf{r}_1 - i\mathbf{k}_2 \cdot \mathbf{r}_2} \text{Tr} [f_0 \hat{e}_2^* d_0 \Theta g_0 - \boldsymbol{\alpha} \cdot \mathbf{f}_1 \hat{e}_2^* d_0 \Theta g_0 + f_0 \hat{e}_2^* \boldsymbol{\alpha} \cdot \mathbf{d}_1 \Theta g_0 - f_0 \hat{e}_2^* d_0 \Theta \boldsymbol{\alpha} \cdot \mathbf{g}_1] \mathcal{F}, \quad \Theta = 2ie_1^* \cdot \nabla + \hat{e}_1^* \hat{k}_1. \quad (3.58)$$

Заметим, что только члены, пропорциональные $(P+Q)$ и $(1+PQ)$ в \mathcal{F} (2.1), дают вклад в матричный элемент (3.58), так как только они содержат четное число γ -матриц. Мы будем проводить вычисления M для произвольного атомного потенциала $V(r)$, что позволит учесть эффект атомной экранировки.

3.2. Матричный элемент и дифференциальное сечение

Вычисление матричного элемента (3.56) подробно описано в приложении Б.

Матричный элемент равен

$$\begin{aligned}
M_{\mu_p \mu_q \lambda_1 \lambda_2} &= -\mathbf{A}(\Delta) \cdot \left[\mathbf{T}_{\mu_p \mu_q \lambda_1 \lambda_2}(\mathbf{k}_1, \mathbf{k}_2) + \mathbf{T}_{\mu_p \mu_q \lambda_2 \lambda_1}(\mathbf{k}_2, \mathbf{k}_1) \right], \\
\mathbf{A}(\Delta) &= -i \int d\mathbf{r} \exp[-i\Delta \cdot \mathbf{r} - i\chi(\rho)] \nabla_{\perp} V(r), \quad \chi(\rho) = \int_{-\infty}^{\infty} V(\sqrt{z^2 + \rho^2}) dz, \\
\mathbf{T}_{++++}(\mathbf{k}_1, \mathbf{k}_2) &= p \left[(\mathbf{e}^* \cdot \boldsymbol{\theta}_{k_1}) (\mathbf{e}^* \cdot \boldsymbol{\theta}_{k_2q}) \mathbf{j}_0 + N_1 (\mathbf{e}^* \cdot \boldsymbol{\theta}_{k_1}) \mathbf{e}^* + N_3 (\mathbf{e}^* \cdot \boldsymbol{\theta}_{k_2q}) \mathbf{e}^* \right], \\
\mathbf{T}_{++++}(\mathbf{k}_1, \mathbf{k}_2) &= \left[p (\mathbf{e}^* \cdot \boldsymbol{\theta}_{k_1}) (\mathbf{e} \cdot \boldsymbol{\theta}_{k_2}) - \frac{m^2 \omega_1}{2pq} \right] \mathbf{j}_0 + p (N_2 + N_3) (\mathbf{e}^* \cdot \boldsymbol{\theta}_{k_1}) \mathbf{e} \\
&+ N_3 (\mathbf{e} \cdot p \boldsymbol{\theta}_{k_2} - \Delta_{\perp}) \mathbf{e}^*, \\
\mathbf{T}_{+---}(\mathbf{k}_1, \mathbf{k}_2) &= \varkappa \left[(\mathbf{e} \cdot \boldsymbol{\theta}_{k_1}) (\mathbf{e}^* \cdot \boldsymbol{\theta}_{k_2q}) \mathbf{j}_0 + N_1 (\mathbf{e} \cdot \boldsymbol{\theta}_{k_1}) \mathbf{e}^* + N_3 (\mathbf{e}^* \cdot \boldsymbol{\theta}_{k_2q}) \mathbf{e} \right], \\
\mathbf{T}_{+---}(\mathbf{k}_1, \mathbf{k}_2) &= q \left[(\mathbf{e} \cdot \boldsymbol{\theta}_{k_1}) (\mathbf{e} \cdot \boldsymbol{\theta}_{k_2q}) \mathbf{j}_0 + N_1 (\mathbf{e} \cdot \boldsymbol{\theta}_{k_1}) \mathbf{e} + N_3 (\mathbf{e} \cdot \boldsymbol{\theta}_{k_2q}) \mathbf{e} \right], \\
\mathbf{T}_{+---}(\mathbf{k}_1, \mathbf{k}_2) &= -\frac{m(\omega_1 + \omega_2)}{\sqrt{2}q} \left[(\mathbf{e}^* \cdot \boldsymbol{\theta}_{k_1}) \mathbf{j}_0 + N_3 \mathbf{e}^* \right] \\
&- \frac{m\omega_1}{\sqrt{2}p} \left[(\mathbf{e}^* \cdot \boldsymbol{\theta}_{k_2k_1}) \mathbf{j}_0 + N_2 \mathbf{e}^* \right], \\
\mathbf{T}_{+---}(\mathbf{k}_1, \mathbf{k}_2) &= -\frac{m\omega_1}{\sqrt{2}p} \left[(\mathbf{e} \cdot \boldsymbol{\theta}_{k_2q}) \mathbf{j}_0 + N_1 \mathbf{e} \right], \\
\mathbf{T}_{+---}(\mathbf{k}_1, \mathbf{k}_2) &= -\frac{m\omega_2}{\sqrt{2}q} \left[(\mathbf{e} \cdot \boldsymbol{\theta}_{k_1}) \mathbf{j}_0 + N_3 \mathbf{e} \right], \\
\mathbf{T}_{+---}(\mathbf{k}_1, \mathbf{k}_2) &= 0, \\
\mathbf{T}_{\bar{\mu}_p \bar{\mu}_q \bar{\lambda}_1 \bar{\lambda}_2}(\mathbf{k}_1, \mathbf{k}_2) &= \bar{\mu}_p \bar{\mu}_q \mathbf{T}_{\mu_p \mu_q \lambda_1 \lambda_2}(\mathbf{k}_1, \mathbf{k}_2) |_{\mathbf{e} \leftrightarrow \mathbf{e}^*}, \quad \bar{\mu} = -\mu, \quad \bar{\lambda} = -\lambda. \quad (3.59)
\end{aligned}$$

Мы использовали следующие обозначения:

$$\begin{aligned}
\mathbf{e} &= \frac{1}{\sqrt{2}}(\mathbf{e}_x + i\mathbf{e}_y), \quad \boldsymbol{\theta}_{k_2q} = \boldsymbol{\theta}_{k_2} - \boldsymbol{\theta}_q, \quad \boldsymbol{\theta}_{k_2k_1} = \boldsymbol{\theta}_{k_2} - \boldsymbol{\theta}_{k_1}, \\
\kappa &= p - \omega_1, \quad \boldsymbol{\Delta} = \mathbf{q} + \mathbf{k}_1 + \mathbf{k}_2 - \mathbf{p}, \quad \boldsymbol{\Delta}_\perp = q\boldsymbol{\theta}_q + \omega_1\boldsymbol{\theta}_{k_1} + \omega_2\boldsymbol{\theta}_{k_2}, \\
\mathbf{j}_0 &= \frac{4}{a_1a_2a_3a_4} \{a_3[(p+q)\boldsymbol{\Delta}_\perp - 2pq\boldsymbol{\theta}_q] + a_1\omega_2(\boldsymbol{\Delta}_\perp + 2q\boldsymbol{\theta}_{k_2q})\}, \\
N_1 &= \frac{4}{a_2a_3}, \quad N_2 = \frac{4}{a_3a_4}, \quad N_3 = \frac{4}{a_1a_4}, \\
a_1 &= -\frac{\omega_1}{\kappa} [(\boldsymbol{\Delta}_\perp - p\boldsymbol{\theta}_{k_1})^2 + m^2] - \frac{p\omega_2}{q\kappa} [q^2\boldsymbol{\theta}_{k_2q}^2 + m^2], \\
a_2 &= \frac{\omega_2}{\kappa} [(\boldsymbol{\Delta}_\perp + q\boldsymbol{\theta}_{k_2q})^2 + m^2] + \frac{q\omega_1}{p\kappa} [p^2\boldsymbol{\theta}_{k_1}^2 + m^2], \\
a_3 &= \frac{\omega_1}{p} [p^2\boldsymbol{\theta}_{k_1}^2 + m^2], \quad a_4 = \frac{\omega_2}{q} [q^2\boldsymbol{\theta}_{k_2q}^2 + m^2].
\end{aligned} \tag{3.60}$$

В пределах нашей точности можно заменить p и q в уравнениях (3.59) и (3.60) на ε_p и ε_q . Используя то, что $\mathbf{A}(\boldsymbol{\Delta})$ параллелен вектору $\boldsymbol{\Delta}_\perp$:

$$\begin{aligned}
\mathbf{A}(\boldsymbol{\Delta}) &= A_0(\boldsymbol{\Delta}) \boldsymbol{\Delta}_\perp, \\
A_0(\boldsymbol{\Delta}) &= -\frac{i}{\Delta_\perp^2} \int d\mathbf{r} \exp[-i\boldsymbol{\Delta} \cdot \mathbf{r} - i\chi(\rho)] \boldsymbol{\Delta}_\perp \cdot \nabla_\perp V(r),
\end{aligned} \tag{3.61}$$

можно переписать матричный элемент $M_{\mu_p\mu_q\lambda_1\lambda_2}$ следующим образом

$$\begin{aligned}
M_{\mu_p\mu_q\lambda_1\lambda_2} &= -A_0(\boldsymbol{\Delta}) \mathcal{T}_{\mu_p\mu_q\lambda_1\lambda_2}, \\
\mathcal{T}_{\mu_p\mu_q\lambda_1\lambda_2} &= \boldsymbol{\Delta}_\perp \cdot \left[\mathbf{T}_{\mu_p\mu_q\lambda_1\lambda_2}(\mathbf{k}_1, \mathbf{k}_2) + \mathbf{T}_{\mu_p\mu_q\lambda_2\lambda_1}(\mathbf{k}_2, \mathbf{k}_1) \right].
\end{aligned} \tag{3.62}$$

Видно, что матричный элемент двойного и однократного тормозного излучения в главном квазиклассическом приближении пропорциональны одному и тому же фактору $A_0(\boldsymbol{\Delta})$, который подробно обсуждался в предыдущей главе. В борновском приближении

$$A_0^B(\boldsymbol{\Delta}) = V_F(\Delta^2) = -\frac{4\pi\eta F(\Delta^2)}{\Delta^2}, \tag{3.63}$$

где $V_F(\Delta^2)$ — преобразование Фурье от потенциала $V(r)$, и $F(\Delta^2)$ — атомный формфактор, который существенно отличается от единицы при $\Delta \lesssim 1/r_{scr}$.

Таким образом, амплитуда в борновском приближении равна

$$M_{\mu_p \mu_q \lambda_1 \lambda_2}^B = -V_F(\Delta^2) \mathcal{T}_{\mu_p \mu_q \lambda_1 \lambda_2}, \quad (3.64)$$

где $\mathcal{T}_{\mu_p \mu_q \lambda_1 \lambda_2}$ определён в (3.62).

Из результатов для амплитуд однократного и двойного тормозного излучения видно, что такая же структура будет возникать и при n -кратном тормозном излучении (амплитуда будет пропорциональна $A_0(\Delta)$). Для получения амплитуды излучения n фотонов в атомном поле в главном квазиклассическом приближении можно следовать следующему рецепту: сначала вычисляем амплитуду в борновском приближении, а затем делаем замену $V_F(\Delta^2) \rightarrow A_0(\Delta)$. Следует отметить, что такая факторизация происходит только в главном квазиклассическом приближении, и она нарушается при учёте первой квазиклассической поправки, как это видно из матричного элемента однократного тормозного излучения (2.33).

При $\Delta_{\perp} \gg \max(r_{scr}^{-1}, |\Delta_{\parallel}|)$ мы можем пренебречь эффектом атомной экранировки и заменить $V(r)$ на кулоновский потенциал $V_c(r) = -\eta/r$, а также пренебречь параллельной передачей импульса $\Delta_{\parallel} = \boldsymbol{\nu} \cdot \Delta$, которая для двойного тормозного излучения равна

$$\Delta_{\parallel} = -\frac{1}{2} \left[q\theta_q^2 + \omega_1\theta_{k_1}^2 + \omega_2\theta_{k_2}^2 + \frac{m^2(\omega_1 + \omega_2)}{pq} \right]. \quad (3.65)$$

В этом случае фактор $A_0(\Delta)$ можно заменить на (см. (2.37))

$$A_0(\Delta) = -\frac{4\pi\eta(L\Delta)^{2i\eta}}{\Delta^2} \frac{\Gamma(1 - i\eta)}{\Gamma(1 + i\eta)}, \quad (3.66)$$

где $\Gamma(x)$ — Γ -функция Эйлера, а $L \sim \min(|\Delta_{\parallel}|^{-1}, r_{scr})$. Как уже было сказано выше, фактор $(L\Delta)^{2i\eta}$ не важен, так как он не входит в $|M|^2$. Также как и в случае однократного тормозного излучения, в области $\Delta_{\perp} \gg \max(r_{scr}^{-1}, |\Delta_{\parallel}|)$ точный ответ с точностью до фазы совпадает с борновским результатом $|A_0(\Delta)| = |A_0^B(\Delta)|$.

Дифференциальное сечение двойного тормозного излучения $d\sigma$ (3.55) можно представить в виде суммы борновского сечения и кулоновских поправок:

$$\begin{aligned}
d\sigma_{\mu_p\mu_q\lambda_1\lambda_2} &= d\sigma_{\mu_p\mu_q\lambda_1\lambda_2}^B + d\sigma_{\mu_p\mu_q\lambda_1\lambda_2}^C, \\
d\sigma_{\mu_p\mu_q\lambda_1\lambda_2}^B &= \frac{\alpha^2}{(2\pi)^6} \omega_1\omega_2 d\omega_1 d\omega_2 d\boldsymbol{\theta}_{k_1} d\boldsymbol{\theta}_{k_2} d\boldsymbol{\Delta}_\perp |A_0^B(\boldsymbol{\Delta})|^2 |\mathcal{T}_{\mu_p\mu_q\lambda_1\lambda_2}|^2, \\
d\sigma_{\mu_p\mu_q\lambda_1\lambda_2}^C &= \frac{\alpha^2}{(2\pi)^6} \omega_1\omega_2 d\omega_1 d\omega_2 d\boldsymbol{\theta}_{k_1} d\boldsymbol{\theta}_{k_2} d\boldsymbol{\Delta}_\perp \mathcal{A}_0(\boldsymbol{\Delta}) |\mathcal{T}_{\mu_p\mu_q\lambda_1\lambda_2}|^2, \\
\mathcal{A}_0 &= |A_0|^2 - |A_{0B}|^2,
\end{aligned} \tag{3.67}$$

где мы перешли от интегрирования по телесному углу $d\Omega_{\mathbf{q}}$ к интегрированию по двумерному вектору $d\boldsymbol{\Delta}_\perp$. Из уравнений (3.63) и (3.66) видно, что только область малых Δ_\perp , $\Delta_\perp \sim \max(r_{scr}^{-1}, |\Delta_\parallel|) \ll m$, даёт вклад в $d\sigma^C$. Как было показано в [14], функция $\mathcal{A}_0(\boldsymbol{\Delta})$ очень чувствительна к форме атомного потенциала при $r \sim r_{scr}$, а интеграл

$$\begin{aligned}
\int \Delta^2 \mathcal{A}_0(\boldsymbol{\Delta}) d\boldsymbol{\Delta}_\perp &= -32\pi^3 \eta^2 f(\eta), \\
f(\eta) &= \text{Re} \psi(1 + i\eta) - \psi(1),
\end{aligned} \tag{3.68}$$

не зависит от формы потенциала; $\psi(x) = d \ln \Gamma(x) / dx$. Таким образом, кулоновские поправки, проинтегрированные по $d\boldsymbol{\Delta}_\perp$, имеют следующий вид

$$\begin{aligned}
d\sigma_{\mu_p\mu_q\lambda_1\lambda_2}^C &= -\frac{\alpha^2 \eta^2 f(\eta)}{4\pi^3} \omega_1\omega_2 d\omega_1 d\omega_2 d\boldsymbol{\theta}_{k_1} d\boldsymbol{\theta}_{k_2} \\
&\times |\mathbf{T}_{\mu_p\mu_q\lambda_1\lambda_2}^{(0)}(\mathbf{k}_1, \mathbf{k}_2) + \mathbf{T}_{\mu_p\mu_q\lambda_2\lambda_1}^{(0)}(\mathbf{k}_2, \mathbf{k}_1)|^2,
\end{aligned} \tag{3.69}$$

где функция $\mathbf{T}_{\mu_p\mu_q\lambda_1\lambda_2}^{(0)}(\mathbf{k}_1, \mathbf{k}_2)$ равна $\mathbf{T}_{\mu_p\mu_q\lambda_1\lambda_2}(\mathbf{k}_1, \mathbf{k}_2)$, см. уравнение (3.59), взятая при $\boldsymbol{\Delta}_\perp = 0$. Главный вклад в борновское сечение, проинтегрированное по $d\boldsymbol{\Delta}_\perp$, дается областью малых Δ_\perp : $m \gg \Delta_\perp \gg m\beta$, где

$$\beta = \max \left\{ \frac{1}{mr_{scr}}, \frac{|\Delta_\parallel|}{m} \right\}. \tag{3.70}$$

При условии $\ln(1/\beta) \gg 1$ борновское сечение с логарифмической точностью равно

$$d\sigma_{\mu_p\mu_q\lambda_1\lambda_2}^B = \frac{\alpha^2\eta^2}{4\pi^3}\omega_1\omega_2 d\omega_1 d\omega_2 d\boldsymbol{\theta}_{k_1} d\boldsymbol{\theta}_{k_2} \ln \frac{1}{\beta} \times |\mathbf{T}_{\mu_p\mu_q\lambda_1\lambda_2}^{(0)}(\mathbf{k}_1, \mathbf{k}_2) + \mathbf{T}_{\mu_p\mu_q\lambda_2\lambda_1}^{(0)}(\mathbf{k}_2, \mathbf{k}_1)|^2. \quad (3.71)$$

Для демонстрации угловой зависимости кулоновских поправок, на рисунках 3.2 и 3.3 показана зависимость безразмерной величины S ,

$$S = \frac{m^6}{2} \sum_{\mu_p\mu_q\lambda_1\lambda_2} |\mathbf{T}_{\mu_p\mu_q\lambda_1\lambda_2}^{(0)}(\mathbf{k}_1, \mathbf{k}_2) + \mathbf{T}_{\mu_p\mu_q\lambda_2\lambda_1}^{(0)}(\mathbf{k}_2, \mathbf{k}_1)|^2, \quad (3.72)$$

от $\delta_2 = pk_{2\perp}/m\omega_2$ и от азимутального угла φ между векторами $\mathbf{k}_{1\perp}$ и $\mathbf{k}_{2\perp}$.

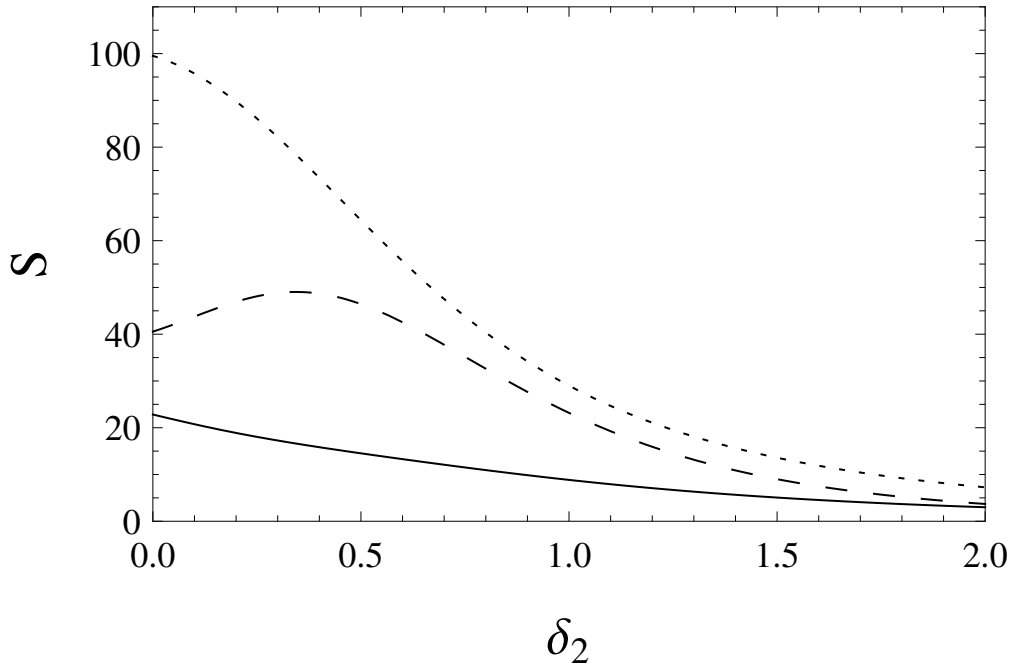


Рис. 3.2. Зависимость S (3.72) от $\delta_2 = pk_{2\perp}/m\omega_2$ при $\omega_1/\varepsilon_p = 0.2$, $\omega_2/\varepsilon_p = 0.4$, $\varphi = 0$, $\delta_1 = pk_{1\perp}/m\omega_1 = 0.2$ (штрихованная линия), $\delta_1 = 1$ (пунктирная линия) и $\delta_1 = 2$ (сплошная линия).

На рисунке 3.4 показана зависимость величины S_1 от $\delta_1 = pk_{1\perp}/m\omega_1$ при фиксированных ω_1/ε_p и ω_2/ε_p , где

$$S_1 = \frac{p^2}{16\pi^2 m^2} \int S d\boldsymbol{\theta}_{k_2}. \quad (3.73)$$

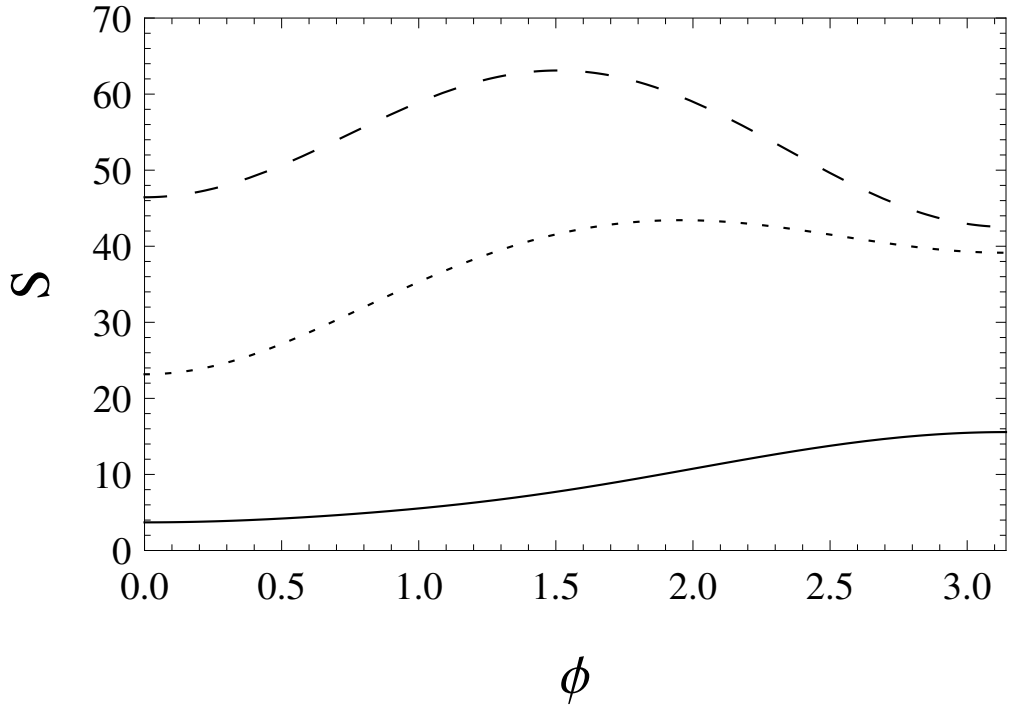


Рис. 3.3. Зависимость S (3.72) от азимутального угла ϕ между векторами $\mathbf{k}_{1\perp}$ и $\mathbf{k}_{2\perp}$ при $\omega_1/\varepsilon_p = 0.2$, $\omega_2/\varepsilon_p = 0.4$, $\delta_1 = 0.2$, $\delta_2 = 0.5$ (штрихованная линия), $\delta_2 = 1$ (пунктирная линия) и $\delta_2 = 2$ (сплошная линия).

Видно, что основной вклад в сечение будет набираться в области $\delta_1 \sim 1$.

Кулоновские поправки к спектру двойного тормозного излучения, усредненному по поляризациям начального электрона и просуммированному по поляризациям конечных частиц, равны

$$d\sigma^C = -\frac{8\alpha^2\eta^2 f(\eta)d\omega_1 d\omega_2}{\pi m^2\omega_1\omega_2} G(\omega_1/\varepsilon_p, \omega_2/\varepsilon_p), \quad (3.74)$$

где функция $f(\eta)$ определена в (3.68), функция $G(\omega_1/\varepsilon_p, \omega_2/\varepsilon_p)$ для произвольных частот вычислялась путём численного интегрирования дифференциального сечения по углам вылета фотонов. На рисунке 3.5 показана зависимость функции $G[\Omega x, \Omega(1-x)]$ от x для нескольких значений Ω , где $\Omega = (\omega_1 + \omega_2)/\varepsilon_p$ и $x = \omega_1/(\omega_1 + \omega_2)$. Для $\omega_2 \ll \omega_1$, ε_q получаем результат,

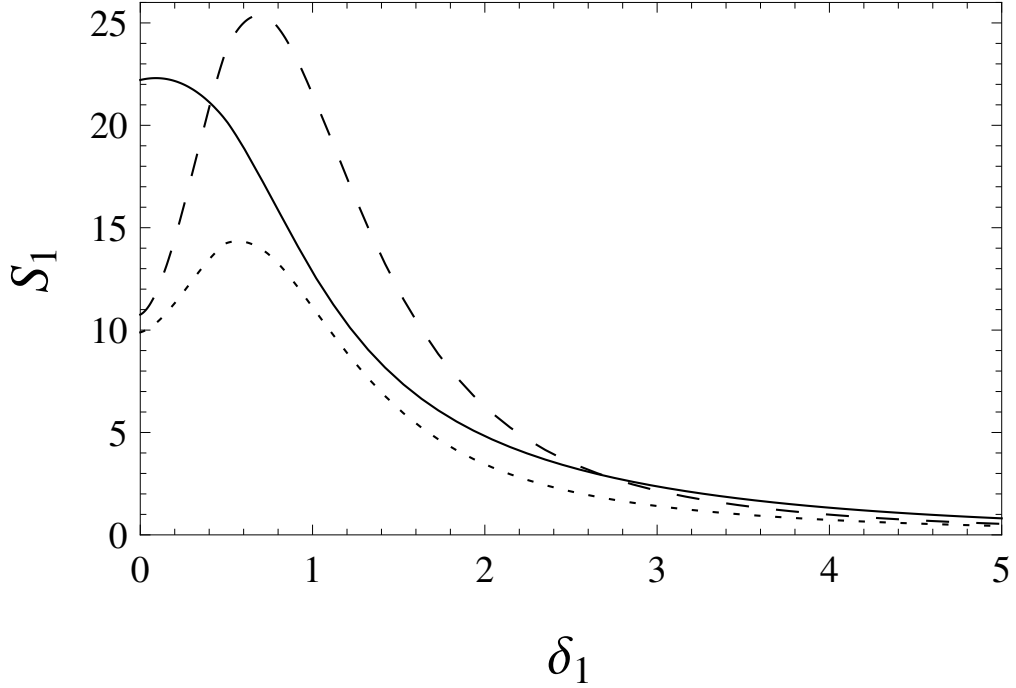


Рис. 3.4. Зависимость S_1 (3.73) от δ_1 при $\omega_1/\varepsilon_p = \Omega x$ и $\omega_2/\varepsilon_p = \Omega(1-x)$, где $\Omega = 0.4$, $x = 0.3$ (штрихованная линия), $x = 0.5$ (пунктирная линия) и $x = 0.7$ (сплошная линия).

согласующийся с мягкофотонным приближением [41],

$$F(x) = G(x, 0) = \int_0^{\infty} \frac{dy}{(1+y)^2} \left[1 + (1-x)^2 - \frac{4y(1-x)}{(1+y)^2} \right] \Phi(x, y),$$

$$\Phi(x, y) = \frac{t}{\sqrt{t^2-1}} \ln(t + \sqrt{t^2-1}) - 1, \quad t = 1 + \frac{x^2(1+y)}{2(1-x)}. \quad (3.75)$$

Функция $F(x)$ показана на рисунке 3.6. Она имеет следующие асимптотики:

$$F(x) \approx \frac{4}{3}x^2 \ln \frac{1}{x} \quad \text{при } x \ll 1,$$

$$F(x) \approx \ln \frac{1}{1-x} \quad \text{при } 1-x \ll 1. \quad (3.76)$$

С логарифмической точностью спектр борновского сечения равен

$$d\sigma^B = \frac{8\alpha^2\eta^2 d\omega_1 d\omega_2}{\pi m^2 \omega_1 \omega_2} G(\omega_1/\varepsilon_p, \omega_2/\varepsilon_p) \ln \frac{1}{\beta_0}, \quad (3.77)$$

где функция G определена в (3.74) и

$$\beta_0 = \max \left\{ \frac{1}{mr_{scr}}, \frac{m(\omega_1 + \omega_2)}{\varepsilon_p \varepsilon_q} \right\} \ll 1. \quad (3.78)$$

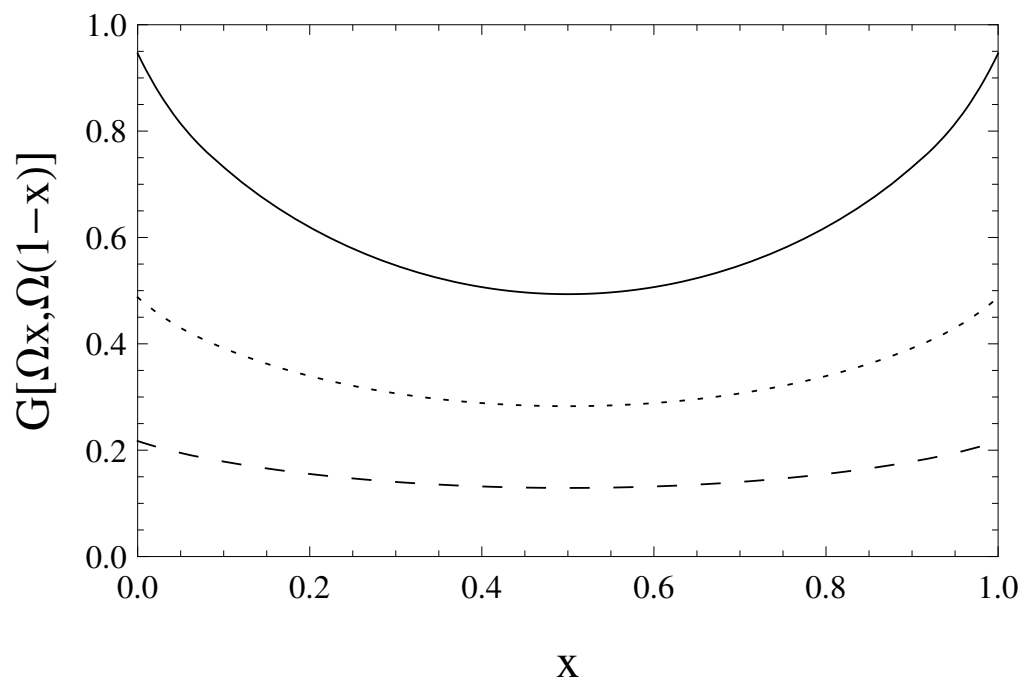


Рис. 3.5. Зависимость $G[\Omega x, \Omega(1-x)]$ от x (3.74) при $\Omega = 0.3$ (штрихованная линия), $\Omega = 0.5$ (пунктирная линия) и $\Omega = 0.7$ (сплошная линия). Здесь $\Omega = (\omega_1 + \omega_2)/\varepsilon_p$ и $x = \omega_1/(\omega_1 + \omega_2)$.

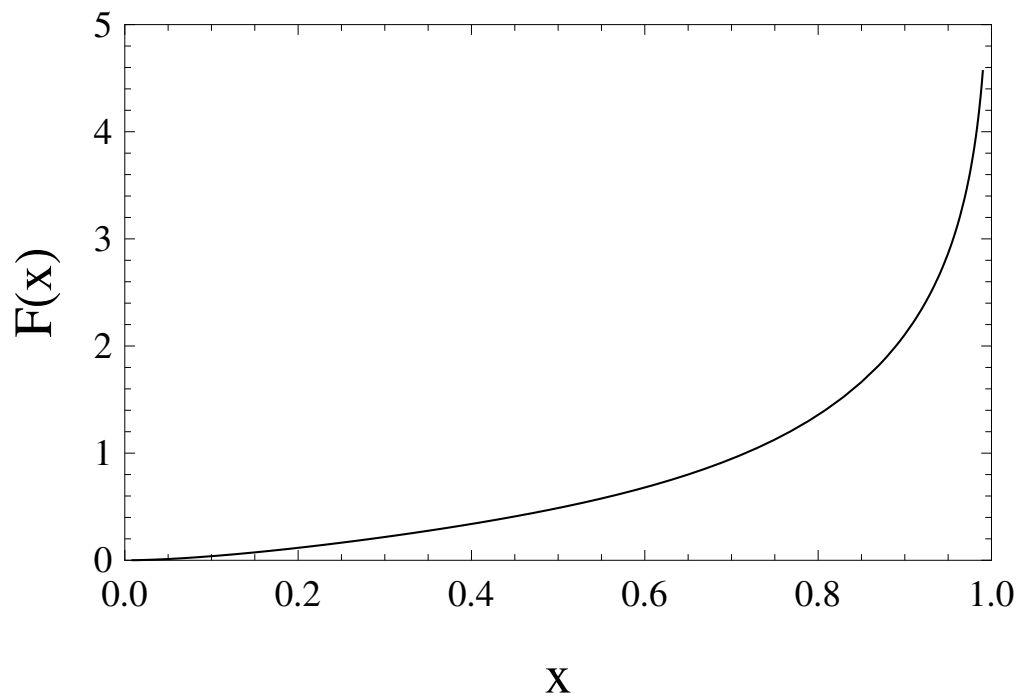


Рис. 3.6. Зависимость of $F(x)$, см. (3.75), от $x = \omega_1/\varepsilon_p$.

3.3. Выводы к третьей главе

В настоящей главе мы получили точное по η дифференциальное сечение двойного тормозного излучения. Оказалось, что вся зависимость от потенциала в главном квазиклассическом приближении сводится к тому же фактору $A_0(\Delta)$, что и в случае однократного тормозного излучения. Из проведённого анализа видно, что для n -кратного тормозного излучения будет выполняться такая же факторизация. Это утверждение позволяет сформулировать рецепт для вычисления амплитуды n -кратного тормозного излучения в главном квазиклассическом приближении: нужно вычислить амплитуду в борновском приближении и заменить Фурье образ потенциала на $A_0(\Delta)$.

Глава 4

Фоторождение пар, сопровождаемое излучением фотона

Данная глава посвящена изучению процесса $\gamma \rightarrow e^+e^-\gamma'$ в поле тяжёлого атома. Мы получим амплитуду этого процесса в спиральном базисе в виде двукратного интеграла и исследуем влияние атомной экранировки, кулоновских поправок на дифференциальное сечение этого процесса. Изложение этой главы основано на работе [32].

4.1. Процесс $\gamma Z \rightarrow e^+e^-\gamma'Z$

Основной вклад в сечение этого процесса даёт область малых поперечных импульсов по сравнению с импульсом налетающей частицы. В этой области

$$d\sigma = \alpha^2 |M|^2 \frac{d\mathbf{p}_\perp d\mathbf{q}_\perp d\mathbf{k}_{2\perp} d\varepsilon_p d\varepsilon_q}{(2\pi)^6 \omega_1 \omega_2}, \quad (4.79)$$

где $\mathbf{k}_1, \mathbf{k}_2, \mathbf{p}, \mathbf{q}$ — импульсы налетающего и улетающего фотона, электрона, и позитрона, $\varepsilon_p = \sqrt{\mathbf{p}^2 + m^2}$, $\varepsilon_q = \sqrt{\mathbf{q}^2 + m^2}$, $\omega_2 = \omega_1 - \varepsilon_p - \varepsilon_q$. Фиксируем систему координат: вектор $\boldsymbol{\nu} = \mathbf{k}_1/\omega_1$ направлен по оси z , \mathbf{k}_2 лежит в плоскости xz и $k_{2x} > 0$. Удобно ввести следующие обозначения: $\mathbf{X}_\perp = \mathbf{X} - (\mathbf{X} \cdot \boldsymbol{\nu})\boldsymbol{\nu}$, $\boldsymbol{\theta}_X = \mathbf{X}_\perp / (\mathbf{X} \cdot \boldsymbol{\nu})$ и $\boldsymbol{\theta}_{XY} = \boldsymbol{\theta}_X - \boldsymbol{\theta}_Y$, где \mathbf{X} произвольный вектор.

Матричный элемент имеет следующий вид

$$M = M^{(1)} + M^{(2)} = - \int d\mathbf{r}_1 d\mathbf{r}_2 \bar{u}_p^{(-)}(\mathbf{r}_1) \times \left\{ (\boldsymbol{\gamma} \cdot \mathbf{e}_2^*) e^{-ik_2 \cdot \mathbf{r}_1} G(\mathbf{r}_1, \mathbf{r}_2 | \varepsilon_p + \omega_2) e^{ik_1 \cdot \mathbf{r}_2} (\boldsymbol{\gamma} \cdot \mathbf{e}_1) + (\boldsymbol{\gamma} \cdot \mathbf{e}_1) e^{ik_1 \cdot \mathbf{r}_1} G(\mathbf{r}_1, \mathbf{r}_2 | -\varepsilon_q - \omega_2) e^{-ik_2 \cdot \mathbf{r}_2} (\boldsymbol{\gamma} \cdot \mathbf{e}_2^*) \right\} v_q^{(+)}(\mathbf{r}_2). \quad (4.80)$$

Где $u_p^{(-)}(\mathbf{r})$ и $v_q^{(+)}(\mathbf{r})$ — положительно и отрицательно частотные решения уравнения Дирака в поле ядра, $\mathbf{e}_{1,2}$ — вектора поляризации начального и конечного фотона, γ^μ — матрицы Дирака, $G(\mathbf{r}_1, \mathbf{r}_2 | \varepsilon)$ функция Грина уравнения Дирака во внешнем поле. Индексы $(-)$ и $(+)$ напоминают, что асимптотика функций $u_p^{(-)}(\mathbf{r})$ и $v_q^{(+)}(\mathbf{r})$ на больших \mathbf{r} состоит из сумм плоской волны и соответственно сферически сходящейся и расходящейся волны. Первый член $M^{(1)}$ уравнения (4.80) соответствует излучению с электронной линии, а второй член $M^{(2)}$ — излучению с позитронной линии, см. рисунок 4.1, а и б. Удобно переписать уравнение (4.80) через квадрированную функцию Грина $D(\mathbf{r}_1, \mathbf{r}_2 | \varepsilon)$, представленную в (1.5).

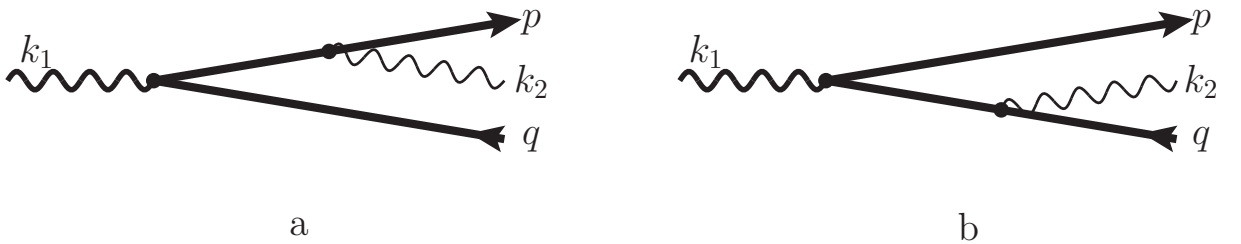


Рис. 4.1. Диаграмма процесса $\gamma_1 Z \rightarrow e^+ e^- \gamma_2 Z$. Жирная линия обозначает точный пропагатор в поле ядра.

Подставляя (1.5) в (4.80), интегрируя по частям и используя уравнение

Дирака, получаем

$$\begin{aligned}
M = & - \int d\mathbf{r}_1 d\mathbf{r}_2 \bar{u}_{\mathbf{p}}^{(-)}(\mathbf{r}_1) \\
& \times \left\{ [(\boldsymbol{\gamma} \cdot \mathbf{e}_2^*) \hat{k}_2 + 2(\mathbf{e}_2^* \cdot \mathbf{p}_1)] e^{-i\mathbf{k}_2 \cdot \mathbf{r}_1} D(\mathbf{r}_1, \mathbf{r}_2 | \varepsilon_p + \omega_2) e^{i\mathbf{k}_1 \cdot \mathbf{r}_2} (\boldsymbol{\gamma} \cdot \mathbf{e}_1) \right. \\
& \left. + (\boldsymbol{\gamma} \cdot \mathbf{e}_1) e^{i\mathbf{k}_1 \cdot \mathbf{r}_1} D(\mathbf{r}_1, \mathbf{r}_2 | -\varepsilon_q - \omega_2) e^{-i\mathbf{k}_2 \cdot \mathbf{r}_2} [(\boldsymbol{\gamma} \cdot \mathbf{e}_2^*) \hat{k}_2 + 2(\mathbf{e}_2^* \cdot \mathbf{p}_2)] \right\} v_{\mathbf{q}}^{(+)}(\mathbf{r}_2).
\end{aligned} \tag{4.81}$$

Где $\mathbf{p}_1 = -i\partial/\partial\mathbf{r}_1$, и $\mathbf{p}_2 = -i\partial/\partial\mathbf{r}_2$. Достаточно вычислить $M^{(1)}$, а затем найти $M^{(2)}$, используя С-чётность.

Из-за сокращений в матричном элементе M необходимо удерживать не только главные члены в f_0 , g_0 , d_0 , но также и \mathbf{f}_1 , \mathbf{g}_1 , \mathbf{d}_1 , а членами \mathbf{f}_2 , \mathbf{g}_2 , \mathbf{d}_2 в главном приближении можно пренебречь (см. (1.17) и (1.15)). Таким образом, матричный элемент $M^{(1)}$ можно представить в следующем виде

$$\begin{aligned}
M^{(1)} = & - \int d\mathbf{r}_1 d\mathbf{r}_2 \text{Sp}\{(f_0 - \boldsymbol{\alpha} \cdot \mathbf{f}_1)[(\boldsymbol{\gamma} \cdot \mathbf{e}_2^*) \hat{k}_2 + 2(\mathbf{e}_2^* \cdot \mathbf{p}_1)] e^{-i\mathbf{k}_2 \cdot \mathbf{r}_1} \\
& \times (d_0 + \boldsymbol{\alpha} \cdot \mathbf{d}_1) e^{i\mathbf{k}_1 \cdot \mathbf{r}_2} (\boldsymbol{\gamma} \cdot \mathbf{e}_1) (g_0 + \boldsymbol{\alpha} \cdot \mathbf{g}_1) \tilde{\mathcal{F}}\}.
\end{aligned} \tag{4.82}$$

где $\tilde{\mathcal{F}} = v_{\mathbf{q}\mu_q} \bar{u}_{\mathbf{p}\mu_p}$. Будем вычислять матричный элемент в спиральном базисе. Пусть λ_1 , λ_2 , μ_p и μ_q — знаки спиральностей начального и конечного фотона, электрона, и позитрона. Тогда матрица $\tilde{\mathcal{F}}$ в спиральном базисе равна

$$\begin{aligned}
\tilde{\mathcal{F}} = & \frac{1}{8} (\tilde{a}_{\mu_p\mu_q} + \boldsymbol{\Sigma} \cdot \tilde{\mathbf{b}}_{\mu_p\mu_q}) [\gamma^0(Q + P) + \gamma^0\gamma^5(1 + PQ) - (P - Q) - \gamma^5(1 - PQ)], \\
P = & \frac{\mu_p p}{\varepsilon_p + m}, \quad Q = -\frac{\mu_q q}{\varepsilon_q + m},
\end{aligned} \tag{4.83}$$

где $\tilde{a}_{\mu_p\mu_q}$ и $\tilde{\mathbf{b}}_{\mu_p\mu_q}$ определены, как

$$\chi_{\mu_q} \phi_{\mu_p}^\dagger = \frac{1}{2} (\tilde{a}_{\mu_p\mu_q} + \boldsymbol{\sigma} \cdot \tilde{\mathbf{b}}_{\mu_p\mu_q}), \tag{4.84}$$

Заметим, что только члены с $(P + Q)$ и $(1 + PQ)$ дают вклад в матричный элемент (4.82), так как они содержат чётное число гамма матриц. Фиксируем фазы спиральных амплитуд следующим образом:

$$\begin{aligned}\phi_{\mu_p} &= \frac{1 + \mu_p \boldsymbol{\sigma} \cdot \mathbf{n}_p}{4 \cos(\theta_p/2)} \begin{pmatrix} 1 + \mu_p \\ 1 - \mu_p \end{pmatrix} \approx \frac{1}{4} \left(1 + \frac{\theta_p^2}{8}\right) (1 + \mu_p \boldsymbol{\sigma} \cdot \mathbf{n}_p) \begin{pmatrix} 1 + \mu_p \\ 1 - \mu_p \end{pmatrix}, \\ \chi_{\mu_q} &= -\frac{1 - \mu_q \boldsymbol{\sigma} \cdot \mathbf{n}_q}{4 \cos(\theta_q/2)} \begin{pmatrix} \mu_q - 1 \\ \mu_q + 1 \end{pmatrix} \approx -\frac{1}{4} \left(1 + \frac{\theta_q^2}{8}\right) (1 - \mu_q \boldsymbol{\sigma} \cdot \mathbf{n}_q) \begin{pmatrix} \mu_q - 1 \\ \mu_q + 1 \end{pmatrix}, \\ \mathbf{e}_{1\lambda_1} &= \mathbf{e}_{\lambda_1} = \frac{1}{\sqrt{2}}(\mathbf{e}_x + i\lambda_1 \mathbf{e}_y), \\ \mathbf{e}_{2\lambda_2} &= \frac{1}{\sqrt{2}}(\mathbf{e}'_x + i\lambda_2 \mathbf{e}_y) \approx \frac{1}{\sqrt{2}}(\mathbf{e}_x + i\lambda_2 \mathbf{e}_y - \theta_{k_2} \boldsymbol{\nu}).\end{aligned}\quad (4.85)$$

Напомним, что орты \mathbf{e}_x и \mathbf{e}_y направлены вдоль $\mathbf{k}_{2\perp}$ и $\mathbf{k}_1 \times \mathbf{k}_2$.

Используя (4.85), получаем

$$\begin{aligned}\tilde{a}_{\mu\mu} &= -\frac{1}{\sqrt{2}} \mathbf{e}_\mu^* \cdot \boldsymbol{\theta}_{pq}, \quad \tilde{a}_{\mu\bar{\mu}} = \mu \left(1 - \frac{\theta_{pq}^2}{8}\right) + \frac{i}{4} \boldsymbol{\nu} \cdot [\boldsymbol{\theta}_p \times \boldsymbol{\theta}_q], \\ \tilde{\mathbf{b}}_{\mu\bar{\mu}} &= \left[1 - \frac{1}{8}(\boldsymbol{\theta}_p + \boldsymbol{\theta}_q)^2 - \frac{i\mu}{4} \boldsymbol{\nu} \cdot [\boldsymbol{\theta}_p \times \boldsymbol{\theta}_q]\right] \boldsymbol{\nu} + \frac{1}{2}(\boldsymbol{\theta}_p + \boldsymbol{\theta}_q) + \frac{i\mu}{2} [\boldsymbol{\nu} \times \boldsymbol{\theta}_{pq}], \\ \tilde{\mathbf{b}}_{\mu\mu} &= \frac{\mu}{\sqrt{2}} \left[(\mathbf{e}_\mu^*, \boldsymbol{\theta}_p + \boldsymbol{\theta}_q) \boldsymbol{\nu} - \sqrt{2} \mathbf{e}_\mu^* \right],\end{aligned}\quad (4.86)$$

Основной вклад в интегралы (4.82) даёт область $r_{1,2} \sim \omega_1/m^2$, $r_{1\perp} \sim r_{2\perp} \sim 1/\Delta$, $\Delta \gg m^2/\omega_1$, угол между векторами $-\mathbf{r}_2$ и \mathbf{k}_1 мал. Угол между векторами \mathbf{r}_1 и \mathbf{k}_1 может быть мал или близок к π , обозначим вклады в матричный элемент $M^{(1)}$ от этих областей через $M^{(1,1)}$ и $M^{(1,2)}$, соответственно. Тогда матричный элемент имеет следующий вид $M^{(1)} = M^{(1,1)} + M^{(1,2)}$.

В случае малого угла между векторами \mathbf{r}_1 и \mathbf{k}_1 можно использовать квазиклассическое приближение для функции Грина $D(\mathbf{r}_1, \mathbf{r}_2 | \varepsilon_p + \omega_2)$ квад-

рированного уравнения Дирака в кулоновском поле [24]:

$$D(\mathbf{r}_1, \mathbf{r}_2|\varepsilon) = \frac{i\kappa}{8\pi^2 r_1 r_2} e^{i\kappa(r_1+r_2)} \int d\mathbf{s} \exp \left\{ i\kappa \left[\frac{(r_1+r_2)}{2r_1 r_2} s^2 + \mathbf{s} \cdot \boldsymbol{\theta}_{21} \right] \right\} \\ \times \left(\frac{s^2}{4r_1 r_2} \right)^{-i\eta} \left[1 - \frac{1}{2} \boldsymbol{\alpha} \cdot \left(\frac{r_1+r_2}{r_1 r_2} \mathbf{s} + \boldsymbol{\theta}_{12} \right) \right], \quad (4.87)$$

где $\kappa = \sqrt{\varepsilon^2 - m^2}$, \mathbf{s} — двумерный вектор в плоскости, перпендикулярной $\mathbf{r}_1 - \mathbf{r}_2$, и $\boldsymbol{\theta}_{12} = \mathbf{r}_1/r_1 + \mathbf{r}_2/r_2$. Также можно использовать квазиклассическую волновую функцию позитрона $v_{\mathbf{q}}^{(+)}(\mathbf{r}_2)$ и эйкональную волновую функцию электрона $\bar{u}_{\mathbf{p}}^{(-)}(\mathbf{r}_1)$:

$$v_{\mathbf{q}}^{(+)}(\mathbf{r}_2) = \frac{q}{2i\pi r_2} e^{iqr_2} \int d\boldsymbol{\tau} \exp \left[iq \left(\frac{\tau^2}{2r_2} + \boldsymbol{\tau} \cdot \boldsymbol{\theta}_{2q} \right) \right] \\ \times \left(\frac{q\tau^2}{4r_2} \right)^{i\eta} \left[1 + \frac{1}{2} \boldsymbol{\alpha} \cdot \left(\frac{\boldsymbol{\tau}}{r_2} + \boldsymbol{\theta}_{2q} \right) \right] v_{\mathbf{q}}, \\ \bar{u}_{\mathbf{p}}^{(-)}(\mathbf{r}_1) = \bar{u}_{\mathbf{p}} e^{-i\mathbf{p} \cdot \mathbf{r}_1} (pr_1)^{-i\eta}. \quad (4.88)$$

Где $\boldsymbol{\theta}_{2q} = -\mathbf{r}_2/r_2 - \mathbf{q}/q$, $\boldsymbol{\tau}$ — двумерный вектор в плоскости, перпендикулярной \mathbf{q} .

В случае малого угла между векторами $-\mathbf{r}_1$ и \mathbf{k}_1 можно использовать эйкональную функцию Грина $D(\mathbf{r}_1, \mathbf{r}_2|\varepsilon_p + \omega_2)$ и квазиклассические волновые функции $\bar{u}_{\mathbf{p}}^{(-)}(\mathbf{r}_1)$ и $v_{\mathbf{q}}^{(+)}(\mathbf{r}_2)$ [24]:

$$D(\mathbf{r}_1, \mathbf{r}_2|\varepsilon) = -\frac{1}{4\pi r} e^{i\kappa r} \left(\frac{r_2}{r_1} \right)^{i\eta}, \quad r_2 > r_1, \quad r = |\mathbf{r}_1 - \mathbf{r}_2|, \\ \bar{u}_{\mathbf{p}}^{(-)}(\mathbf{r}_1) = \frac{p}{2i\pi r_1} e^{ipr_1} \bar{u}_{\mathbf{p}} \int d\mathbf{s} \exp \left[ip \left(\frac{s^2}{2r_1} + \mathbf{s} \cdot \boldsymbol{\theta}_{1p} \right) \right] \\ \times \left(\frac{ps^2}{4r_1} \right)^{-i\eta} \left[1 - \frac{1}{2} \boldsymbol{\alpha} \cdot \left(\frac{\mathbf{s}}{r_1} + \boldsymbol{\theta}_{1p} \right) \right], \quad (4.89)$$

где \mathbf{s} — двумерный вектор в плоскости, перпендикулярной \mathbf{p} , и $\boldsymbol{\theta}_{1p} = -\mathbf{r}_1/r_1 - \mathbf{p}/p$. Функция $v_{\mathbf{q}}^{(+)}(\mathbf{r}_2)$ определена в (4.88).

4.2. Вычисление матричного элемента

Дополнительную информацию о матричных элементах в спиральном базисе можно получить, используя дискретные симметрии. C -чётность позволяет найти связь между $M^{(1)}$ и $M^{(2)}$

$$M_{\lambda_1, \lambda_2, \mu_p, \mu_q}^{(1)}(\mathbf{p}, \mathbf{q}, Z\alpha) = -M_{\lambda_1, \lambda_2, \mu_q, \mu_p}^{(2)}(\mathbf{q}, \mathbf{p}, -Z\alpha),$$

P -чётность даёт связь между матричными элементами с противоположными спиральностями

$$M_{\lambda_1, \lambda_2, \mu_p, \mu_q} = -\mu_p \mu_q M_{-\lambda_1, -\lambda_2 - \mu_p, -\mu_q}.$$

Для вычисления матричного элемента (4.82) при $\Delta \gg \Delta_{\min} = m^2(\varepsilon_p + \varepsilon_q)/2\varepsilon_p\varepsilon_q$ подставляем волновые функции и функцию Грина в уравнение (4.82), берём след, разлагаем выражение, учитывая, что нам нужно удерживать только главный член по углам, и берем интеграл по $\boldsymbol{\theta}_{1p}$ и $\boldsymbol{\theta}_{2q}$. Заметим, что с нашей точностью векторы \mathbf{s} , $\boldsymbol{\tau}$, $\boldsymbol{\theta}_{12}$, $\boldsymbol{\theta}_{1p}$, и $\boldsymbol{\theta}_{2q}$ перпендикулярны \mathbf{k}_1 . После замены переменных $\mathbf{T} = \boldsymbol{\tau} + \mathbf{s}$ и $\boldsymbol{\xi} = \boldsymbol{\tau} - \mathbf{s}$ матричные элементы $M^{(1,1)}$ и $M^{(1,2)}$ имеют следующий вид

$$M_{\lambda_1 \lambda_2 \mu_p \mu_q}^{(1,i)} = \int_0^\infty dr_2 \int_0^{L_i} dr_1 \int d\mathbf{T} \int d\boldsymbol{\xi} \left(\frac{|\mathbf{T} + \boldsymbol{\xi}|}{|\mathbf{T} - \boldsymbol{\xi}|} \right)^{2i\eta} \exp \left[-\frac{i}{2} \mathbf{T} \cdot \boldsymbol{\Delta}_\perp \right] \mathcal{G}_i(r_1, r_2, \boldsymbol{\xi}),$$

(4.90)

где $\mathcal{G}_{1,2}(r_1, r_2, \boldsymbol{\xi})$ — некоторые функции, $L_1 = \infty$ и $L_2 = r_2$. Удобно исполь-

зовать следующие преобразования [42]:

$$\begin{aligned}
& \int d\mathbf{T} \left(\frac{|\mathbf{T} + \boldsymbol{\xi}|}{|\mathbf{T} - \boldsymbol{\xi}|} \right)^{2i\eta} \exp \left[-\frac{i}{2} \mathbf{T} \cdot \boldsymbol{\Delta}_\perp \right] \\
&= \int d\mathbf{T} \left(\frac{|\mathbf{T} + \boldsymbol{\Delta}_\perp|}{|\mathbf{T} - \boldsymbol{\Delta}_\perp|} \right)^{2i\eta} \exp \left[-\frac{i}{2} \mathbf{T} \cdot \boldsymbol{\xi} \right] \frac{\xi^2}{\Delta_\perp^2} \\
&= -\frac{4}{\Delta_\perp^2} \int d\mathbf{T} \left(\frac{|\mathbf{T} + \boldsymbol{\Delta}_\perp|}{|\mathbf{T} - \boldsymbol{\Delta}_\perp|} \right)^{2i\eta} \nabla_{\mathbf{T}}^2 \exp \left[-\frac{i}{2} \mathbf{T} \cdot \boldsymbol{\xi} \right] \\
&= \frac{8i\eta}{\Delta_\perp^2} \int d\mathbf{T} \left(\frac{|\mathbf{T} + \boldsymbol{\Delta}_\perp|}{|\mathbf{T} - \boldsymbol{\Delta}_\perp|} \right)^{2i\eta} \boldsymbol{\chi} \cdot \nabla_{\mathbf{T}} \exp \left[-\frac{i}{2} \mathbf{T} \cdot \boldsymbol{\xi} \right], \\
&\boldsymbol{\chi} = \frac{\mathbf{T} + \boldsymbol{\Delta}_\perp}{(\mathbf{T} + \boldsymbol{\Delta}_\perp)^2} - \frac{\mathbf{T} - \boldsymbol{\Delta}_\perp}{(\mathbf{T} - \boldsymbol{\Delta}_\perp)^2}. \tag{4.91}
\end{aligned}$$

После таких преобразований интегралы по $\boldsymbol{\xi}$, r_1 и r_2 легко берутся. Тогда полная амплитуда $M_{\lambda_1 \lambda_2 \mu_p \mu_q} = M_{\lambda_1 \lambda_2 \mu_p \mu_q}^{(1)} + M_{\lambda_1 \lambda_2 \mu_p \mu_q}^{(2)}$ равна

$$\begin{aligned}
M_{\lambda_1 \lambda_2 \mu_p \mu_q} &= \frac{32\eta}{\omega_1 \omega_2 \Delta^2} \int d\mathbf{T} \left(\frac{|\mathbf{T} + \boldsymbol{\Delta}_\perp|}{|\mathbf{T} - \boldsymbol{\Delta}_\perp|} \right)^{2i\eta} \boldsymbol{\chi} \cdot \nabla_{\mathbf{T}} \mathcal{F}_{\lambda_1 \lambda_2 \mu_p \mu_q}(\mathbf{T}), \\
\mathcal{F}_{\lambda_1 \lambda_2 \mu_p \mu_q}(\mathbf{T}) &= F_{\lambda_1 \lambda_2 \mu_p \mu_q}(\mathbf{p}, \mathbf{q}, \mathbf{T}) - F_{\lambda_1 \lambda_2 \mu_q \mu_p}(\mathbf{q}, \mathbf{p}, -\mathbf{T}), \tag{4.92}
\end{aligned}$$

где $\boldsymbol{\chi}$ определено в (4.91), а функции $F_{\lambda_1 \lambda_2 \mu_p \mu_q}(\mathbf{p}, \mathbf{q}, \mathbf{T})$ равны

$$\begin{aligned}
F_{++++} &= (\varepsilon_p + \omega_2)^2 \mathbf{e} \cdot (\mathbf{T} - \boldsymbol{\delta}_q) (\mathbf{e}^* \cdot \mathbf{A}), \\
F_{+--+} &= \varepsilon_p (\varepsilon_p + \omega_2) \mathbf{e} \cdot (\mathbf{T} - \boldsymbol{\delta}_q) (\mathbf{e} \cdot \mathbf{A}), \\
F_{++--} &= -\varepsilon_p \varepsilon_q \mathbf{e} \cdot (\mathbf{T} - \boldsymbol{\delta}_q) (\mathbf{e}^* \cdot \mathbf{A}) - 2m^2 \omega_1 \omega_2 B + \frac{\varepsilon_q \varepsilon_p \omega_1 \omega_2}{2(\varepsilon_p + \omega_2) D_2}, \\
F_{+---} &= -\varepsilon_q (\varepsilon_p + \omega_2) \mathbf{e} \cdot (\mathbf{T} - \boldsymbol{\delta}_q) (\mathbf{e} \cdot \mathbf{A}), \\
F_{++++} &= -\sqrt{2} m (\varepsilon_p + \omega_2) \omega_1 (\mathbf{e}^* \cdot \mathbf{A}), \\
F_{++--} &= \sqrt{2} m (\varepsilon_p + \omega_2) \omega_2 \mathbf{e} \cdot (\mathbf{T} - \boldsymbol{\delta}_q) B, \\
F_{+--+} &= -\sqrt{2} m \varepsilon_p \omega_1 (\mathbf{e} \cdot \mathbf{A}) + \sqrt{2} m \varepsilon_q \omega_2 \mathbf{e} \cdot (\mathbf{T} - \boldsymbol{\delta}_q) B, \\
F_{+---} &= 0, \\
F_{\lambda_1 \lambda_2 \mu_p \mu_q} &= -\mu_p \mu_q \left(F_{\bar{\lambda}_1 \bar{\lambda}_2 \bar{\mu}_p \bar{\mu}_q} \right)^*. \tag{4.93}
\end{aligned}$$

Где $\bar{\mu}_{p,q} = -\mu_{p,q}$, $\bar{\lambda}_{1,2} = -\lambda_{1,2}$ и

$$\mathbf{A} = \frac{1}{D_1} \left[\frac{\varepsilon_p \boldsymbol{\theta}_{pk_2}}{2(m^2 + \varepsilon_p^2 \boldsymbol{\theta}_{pk_2}^2)} + \frac{\omega_2 \varepsilon_q (\mathbf{T} + \boldsymbol{\Delta}_\perp - 2\varepsilon_p \boldsymbol{\theta}_{pk_2})}{(\varepsilon_p + \omega_2) D_2} \right], \quad (4.94)$$

$$B = \frac{1}{D_1} \left[\frac{1}{4(m^2 + \varepsilon_p^2 \boldsymbol{\theta}_{pk_2}^2)} - \frac{\omega_2 \varepsilon_q}{(\varepsilon_p + \omega_2) D_2} \right],$$

$$D_1 = 4m^2 + (\mathbf{T} - \boldsymbol{\delta}_q)^2, \quad \boldsymbol{\delta}_q = \boldsymbol{\Delta}_\perp - 2\varepsilon_q \boldsymbol{\theta}_q,$$

$$\boldsymbol{\theta}_{pk_2} = \boldsymbol{\theta}_p - \boldsymbol{\theta}_{k_2},$$

$$D_2 = \frac{4\omega_1 \omega_2 \varepsilon_p \varepsilon_q}{\varepsilon_p + \varepsilon_q} \boldsymbol{\theta}_{k_2}^2 + (\varepsilon_p + \varepsilon_q)$$

$$\times \left[\left(\mathbf{T} - \varepsilon_p \boldsymbol{\theta}_p + \varepsilon_q \boldsymbol{\theta}_q - \frac{\varepsilon_p - \varepsilon_q \omega_2 \boldsymbol{\theta}_{k_2}}{\varepsilon_p + \varepsilon_q} \right)^2 + 4m^2 \right]. \quad (4.95)$$

В уравнении (4.92) был опущен несущественный фактор $(q/p)^{i\eta}$, а в знаменателе Δ_\perp^2 заменена на Δ^2 . После такой замены амплитуда (4.92) может быть использована не только для $\Delta_\perp \gg \Delta_z \sim m^2/\omega_1$, но и для $\Delta_\perp \sim \Delta_z$, смотри [42]. Напомним, что $d\mathbf{T} = dT_x dT_y$.

Для $\omega_2 \ll p, q$ выражение (4.92) существенно упрощается:

$$\begin{aligned} M_{\lambda_1 \lambda_2 \mu_p \mu_q} &= \frac{16\eta}{\omega_1 \omega_2 \Delta^2} \left[\frac{\varepsilon_p^2 (\mathbf{e}_{\lambda_2}^* \cdot \boldsymbol{\theta}_p)}{m^2 + \varepsilon_p^2 \boldsymbol{\theta}_p^2} - \frac{\varepsilon_q^2 (\mathbf{e}_{\lambda_2}^* \cdot \boldsymbol{\theta}_q)}{m^2 + \varepsilon_q^2 \boldsymbol{\theta}_q^2} \right] \\ &\times \int d\mathbf{T} \left(\frac{|\mathbf{T} + \boldsymbol{\Delta}_\perp|}{|\mathbf{T} - \boldsymbol{\Delta}_\perp|} \right)^{2i\eta} \boldsymbol{\chi} \cdot \nabla_{\mathbf{T}} \frac{1}{4m^2 + (\boldsymbol{\delta}_0 - \mathbf{T})^2} \\ &\times \left[\delta_{\mu_p, -\mu_q} (\varepsilon_p \delta_{\mu_p, \lambda_1} - \varepsilon_q \delta_{\mu_q, \lambda_1}) (\mathbf{e}_{\lambda_1}, \boldsymbol{\delta}_0 - \mathbf{T}) + \sqrt{2} m \omega_1 \lambda_1 \delta_{\mu_q, \lambda_1} \delta_{\mu_p, \lambda_1} \right], \quad (4.96) \end{aligned}$$

где $\boldsymbol{\delta}_0 = \varepsilon_p \boldsymbol{\theta}_p - \varepsilon_q \boldsymbol{\theta}_q$. Этот результат согласуется с мягкофотонным приближением для процесса фоторождения пар [41].

4.3. Борновская амплитуда и кулоновские поправки

Амплитуду M можно представить в следующем виде

$$M = M^B + M^C, \quad (4.97)$$

где M^B — линейный член по η (борновская амплитуда) и M^C — вклад высоких порядков по η (кулоновские поправки). Для того, чтобы найти борновскую амплитуду, опустим фактор $(|\mathbf{T} + \mathbf{\Delta}_\perp|/|\mathbf{T} - \mathbf{\Delta}_\perp|)^{2i\eta}$ и проинтегрируем по частям, используя следующие соотношения

$$\nabla_{\mathbf{T}} \cdot \boldsymbol{\chi} = 2\pi[\delta(\mathbf{T} + \mathbf{\Delta}_\perp) - \delta(\mathbf{T} - \mathbf{\Delta}_\perp)]. \quad (4.98)$$

Мы получим

$$M_{\lambda_1\lambda_2\mu_p\mu_q}^B = \frac{64\pi\eta}{\omega_1\omega_2\Delta^2} [\mathcal{F}_{\lambda_1\lambda_2\mu_p\mu_q}(\mathbf{\Delta}_\perp) - \mathcal{F}_{\lambda_1\lambda_2\mu_p\mu_q}(-\mathbf{\Delta}_\perp)]. \quad (4.99)$$

Для нахождения кулоновских поправок используем следующее тождество

$$\begin{aligned} \boldsymbol{\chi} \cdot \nabla_{\mathbf{T}} \mathcal{F}(\mathbf{T}) &= \frac{(\mathbf{T} + \mathbf{\Delta}_\perp)}{(\mathbf{T} + \mathbf{\Delta}_\perp)^2} \cdot \nabla_{\mathbf{T}} [\mathcal{F}(\mathbf{T}) - \mathcal{F}(-\mathbf{\Delta}_\perp)] \\ &\quad - \frac{(\mathbf{T} - \mathbf{\Delta}_\perp)}{(\mathbf{T} - \mathbf{\Delta}_\perp)^2} \cdot \nabla_{\mathbf{T}} [\mathcal{F}(\mathbf{T}) - \mathcal{F}(\mathbf{\Delta}_\perp)] \end{aligned} \quad (4.100)$$

и выполним интегрирование по частям в (4.92). Поверхностный член даёт борновскую амплитуду (4.99), а кулоновские поправки имеют следующий вид

$$\begin{aligned} M_{\lambda_1\lambda_2\mu_p\mu_q}^C &= -\frac{128i\eta^2}{\omega_1\omega_2\Delta^2} \int \frac{d\mathbf{T}}{(\mathbf{T} + \mathbf{\Delta}_\perp)^2(\mathbf{T} - \mathbf{\Delta}_\perp)^2} \left(\frac{|\mathbf{T} + \mathbf{\Delta}_\perp|}{|\mathbf{T} - \mathbf{\Delta}_\perp|} \right)^{2i\eta} \\ &\quad \times \left\{ (\mathbf{\Delta}_\perp^2 + \mathbf{T} \cdot \mathbf{\Delta}_\perp) [\mathcal{F}_{\lambda_1\lambda_2\mu_p\mu_q}(\mathbf{T}) - \mathcal{F}_{\lambda_1\lambda_2\mu_p\mu_q}(\mathbf{\Delta}_\perp)] \right. \\ &\quad \left. + (\mathbf{\Delta}_\perp^2 - \mathbf{T} \cdot \mathbf{\Delta}_\perp) [\mathcal{F}_{\lambda_1\lambda_2\mu_p\mu_q}(\mathbf{T}) - \mathcal{F}_{\lambda_1\lambda_2\mu_p\mu_q}(-\mathbf{\Delta}_\perp)] \right\}. \end{aligned} \quad (4.101)$$

Двумерное интегральное представление (4.101) удобно для численных расчётов. Заметим, что возможно представить (4.101) в виде однократного интеграла, используя приём из [43], но результат получается довольно громоздкий и не представлен в этой работе.

4.4. Обсуждение результатов

Эффект экранирования важен только в области $\Delta \lesssim r_{scr}^{-1} \ll m$, где $r_{scr}^{-1} \sim m\alpha Z^{1/3}$ — радиус экранировки. В этой области амплитуда (4.92) совпадает с борновской амплитудой, где эффект экранировки может быть учтён умножением борновской амплитуды $M_{\lambda_1\lambda_2\mu_p\mu_q}^B$ на атомный формфактор $[1 - F_e(\Delta^2)]$. Этот формфактор стремится к нулю при $\Delta \rightarrow 0$ и к единице при $\Delta \rightarrow \infty$. Простая параметризация этого формфактора может быть найдена в [44]. Таким образом, умножая амплитуду для кулоновского поля (4.92) на формфактор $[1 - F_e(\Delta^2)]$, мы получаем амплитуду, которая справедлива при любых Δ . На рисунках 4.2 и 4.3 изображена величина S (дифференциальное сечение в единицах σ_0 , усреднённое по поляризациям конечных частиц и просуммированное по поляризации начального фотона),

$$S = \frac{1}{2} \sum_{\lambda_1\lambda_2\mu_p\mu_q} \frac{\sigma_0^{-1} d\sigma_{\lambda_1\lambda_2\mu_p\mu_q}}{d\mathbf{p}_\perp d\mathbf{q}_\perp d\mathbf{k}_{2\perp} d\varepsilon_p d\varepsilon_q}, \quad \sigma_0 = \frac{\alpha^2 \eta^2 \Delta_\perp^2}{(2\pi)^6 m^6 \omega_1 \omega_2 \Delta^4} \quad (4.102)$$

как функция k_{2x} при фиксированных \mathbf{p}_\perp , \mathbf{q}_\perp , ε_p , ε_q , $k_{2y} = 0$ для различных значений заряда ядра Z . Видно, что кулоновские поправки значительно меняют сечение. Вблизи точки $\Delta_\perp = 0$ ($k_{2x} = -3.9m$ на рисунке 4.2 и $k_{2x} = -3.03m$ на рисунке 4.3) вклад борновской амплитуды доминирует над кулоновскими поправками. Заметим, что величина S для кулоновского поля не зависит от ω_1 , при фиксированных значениях ε_p/ω_1 , ε_q/ω_1 , \mathbf{p}_\perp/m , \mathbf{q}_\perp/m , $\mathbf{k}_{2\perp}/m$. Для атомного поля зависимость от ω_1 есть только в формфакторе, который важен вблизи точки $\Delta_\perp = 0$, где кулоновские поправки не существенны.

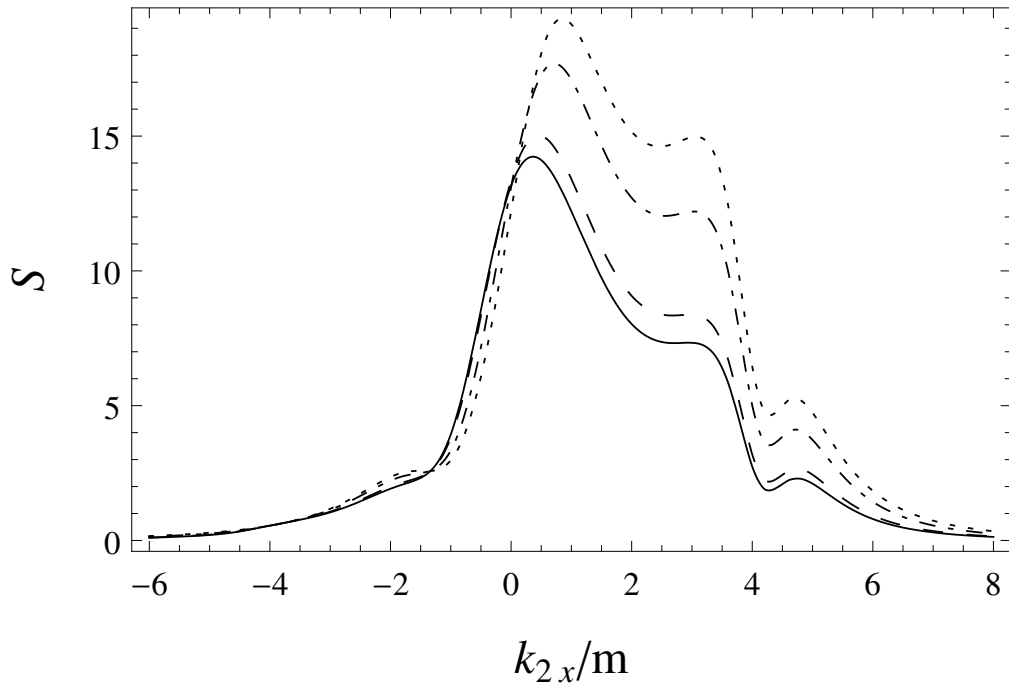


Рис. 4.2. Величина S , см. ур. (4.102), как функция переменной k_{2x} для $\varepsilon_p = 0.4\omega_1$, $\varepsilon_q = 0.25\omega_1$, $p_x = 4.7m$, $q_x = -0.8m$, $p_y = q_y = k_{2y} = 0$; $Z = 1$ (борновская амплитуда, пунктирная кривая), $Z = 47$ (Ag, штрих-пунктирная кривая), $Z = 82$ (Pb, штриховая кривая), и $Z = 92$ (U, сплошная кривая).

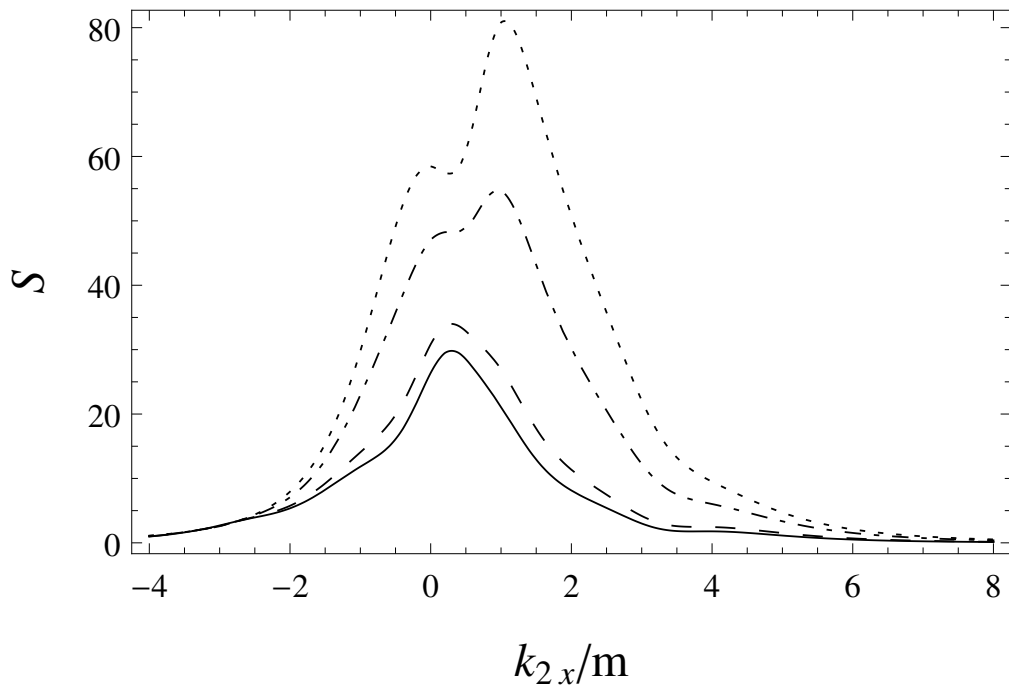


Рис. 4.3. Тоже, что и на рисунке 4.2 но для $p_x = 0.7m$, $q_x = 2.33m$.

Если начальный фотон циркулярно поляризован, то возникает асимметрия \mathcal{A} ,

$$\mathcal{A} = \frac{d\sigma_+ - d\sigma_-}{d\sigma_+ + d\sigma_-},$$

$$d\sigma_{\pm} = \sum_{\lambda_2 \mu_p \mu_q} d\sigma_{\pm \lambda_2 \mu_p \mu_q}. \quad (4.103)$$

В борновском приближении асимметрия отсутствует для любых \mathbf{p} , \mathbf{q} , и \mathbf{k}_2 . Этот факт следует из соотношения

$$M_{\lambda_1 \lambda_2 \mu_p \mu_q}^B = -\mu_p \mu_q \left(M_{\lambda_1 \lambda_2 \bar{\mu}_p \bar{\mu}_q}^B \right)^*, \quad (4.104)$$

см. ур. (4.93) и (4.99). Но для кулоновских поправок такое тождество отсутствует из-за фактора $\left(\frac{|\mathbf{T} + \Delta_{\perp}|}{|\mathbf{T} - \Delta_{\perp}|} \right)^{2i\eta}$ в ур. (4.101). На Рисунках 4.4 и 4.5 показана асимметрия как функция угла φ между векторами $\mathbf{k}_{2\perp}$ и \mathbf{p}_{\perp} . Асимметрия равна нулю, когда \mathbf{k}_1 , \mathbf{k}_2 , \mathbf{p} , и \mathbf{q} лежат в одной плоскости ($\varphi = 0, \pi$ на рисунках 4.4 и 4.5). Видно, что асимметрия достигает десятков процентов даже для умеренных значений Z .

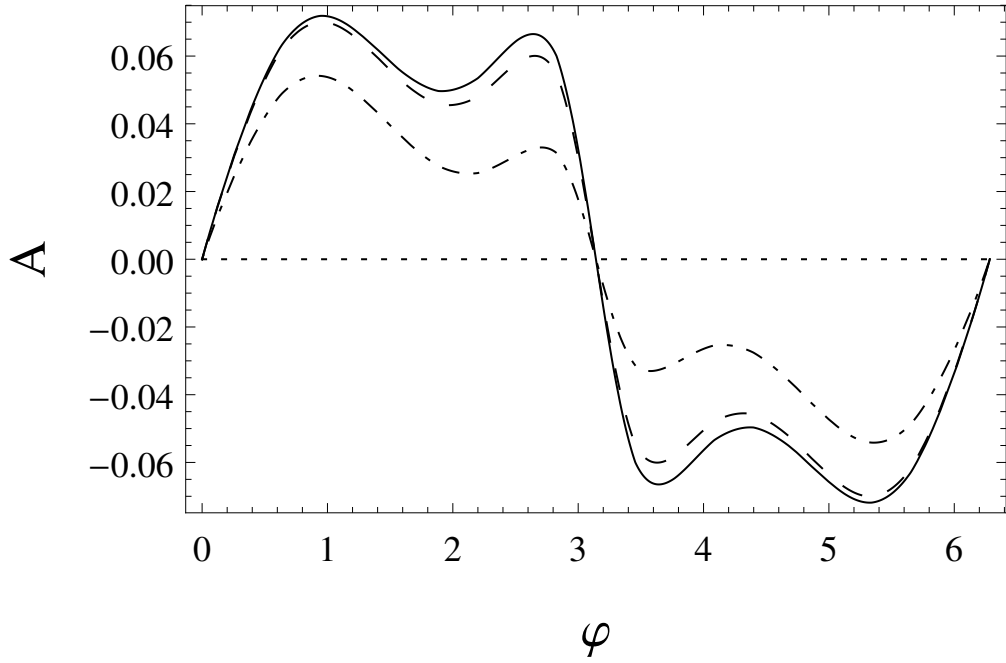


Рис. 4.4. Асимметрия \mathcal{A} , ур. (4.103), как функция угла φ между $\mathbf{k}_{2\perp}$ и \mathbf{p}_{\perp} для $\varepsilon_p = 0.4\omega_1$, $\varepsilon_q = 0.25\omega_1$, $\mathbf{p}_{\perp} \parallel -\mathbf{q}_{\perp}$, $p_{\perp} = 4.7m$, $q_{\perp} = 0.8m$, $k_{2\perp} = m$; $Z = 1$ (борновская амплитуда, пунктирная кривая), $Z = 47$ (Ag, штрих-пунктирная кривая), $Z = 82$ (Pb, штриховая кривая), и $Z = 92$ (U, сплошная кривая).

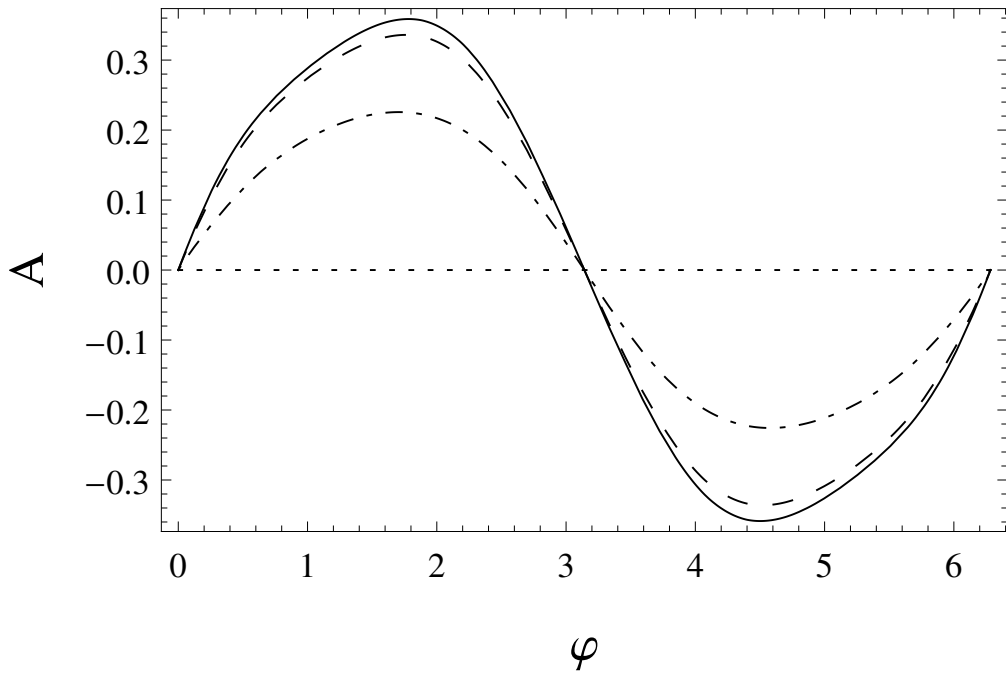


Рис. 4.5. То же, что и на рисунке 4.4, но для $\mathbf{p}_{\perp} \parallel \mathbf{q}_{\perp}$, $p_{\perp} = 0.7m$, $q_{\perp} = 2.33m$.

4.5. Выводы к четвёртой главе

Используя квазиклассическое приближение, были получены точные по параметру η спиральные амплитуды для процесса $\gamma Z \rightarrow e^+ e^- \gamma' Z$. Результат, представленный в уравнениях (4.92), (4.99), (4.101), имеет довольно компактный вид и может быть использован для численных расчётов. Показано, что кулоновские поправки значительно меняют дифференциальное сечение, за исключением области $\Delta \ll m$, поэтому учёт экранировки сводится к умножению на атомный формфактор $[1 - F_e(\Delta^2)]$. Когда начальный фотон циркулярно поляризован, возникает угловая асимметрия по азимутальному углу φ_i конечных частиц относительно замены $\varphi_i \rightarrow -\varphi_i$ в (4.103).

Глава 5

Упругое рассеяние на малые углы

Данная глава посвящена исследованию предела применимости квазиклассического приближения на примере упругого рассеяния электрона на сферически симметричном атомном потенциале. Мы вычислим дифференциальное сечение и функцию Шермана в первом квазиклассическом приближении. Для кулоновского поля, прямым разложением формулы Мотта [34], будут получены результаты с точностью θ^2 и θ , соответственно.

5.1. Упругое рассеяние в квазиклассическом приближении

Сечение этого процесса может быть записано в следующем виде [45]

$$\frac{d\sigma}{d\Omega} = \frac{1}{2} \frac{d\sigma_0}{d\Omega} \left[1 + S \boldsymbol{\xi} \cdot (\boldsymbol{\zeta}_1 + \boldsymbol{\zeta}_2) + T^{ij} \zeta_1^i \zeta_2^j \right], \quad \boldsymbol{\xi} = \frac{\mathbf{p} \times \mathbf{q}}{|\mathbf{p} \times \mathbf{q}|}, \quad (5.105)$$

где $d\sigma_0/d\Omega$ — дифференциальное сечение для неполяризованных частиц, \mathbf{p} и \mathbf{q} — импульсы начального и конечного электронов, $\boldsymbol{\zeta}_1$ — вектор поляризации начального электрона, $\boldsymbol{\zeta}_2$ — регистрируемый вектор поляризации конечного электрона, S — функция Шермана, T^{ij} — некоторый тензор.

Как было сказано выше, волновая функция $\psi_{\mathbf{p}}(\mathbf{r})$ в произвольном локализованном потенциале $V(r)$ может быть записана в следующем виде:

$$\psi_{\mathbf{p}}(\mathbf{r}) = [g_0(\mathbf{r}, \mathbf{p}) - \boldsymbol{\alpha} \cdot \mathbf{g}_1(\mathbf{r}, \mathbf{p}) - \boldsymbol{\Sigma} \cdot \mathbf{g}_2(\mathbf{r}, \mathbf{p})] u_{\mathbf{p}}, \quad (5.106)$$

где $\boldsymbol{\alpha} = \gamma^0 \boldsymbol{\gamma}$, $\boldsymbol{\Sigma} = \gamma^0 \boldsymbol{\gamma}^5 \boldsymbol{\gamma}$. Мы также предполагаем, что $m/\varepsilon \ll 1$. Асимптотика функции $\psi_{\mathbf{p}}(\mathbf{r})$ при больших r равна

$$\psi_{\mathbf{p}}(\mathbf{r}) \approx e^{i\mathbf{p} \cdot \mathbf{r}} u_{\mathbf{p}} + \frac{e^{i\mathbf{p} \cdot \mathbf{r}}}{r} [G_0 - \boldsymbol{\alpha} \cdot \mathbf{G}_1 - \boldsymbol{\Sigma} \cdot \mathbf{G}_2] u_{\mathbf{p}}. \quad (5.107)$$

Функции G_0 , \mathbf{G}_1 , и \mathbf{G}_2 могут быть без труда получены из (1.19):

$$G_0 = f_0 + \delta f_0, \quad \mathbf{G}_1 = -\frac{\Delta_\perp}{2\varepsilon}[f_0 + \delta f_0 + \delta f_1], \quad \mathbf{G}_2 = i\frac{[\mathbf{q} \times \mathbf{p}]}{2\varepsilon^2}\delta f_1, \quad (5.108)$$

где

$$\begin{aligned} f_0 &= -\frac{i\varepsilon}{2\pi} \int d\rho e^{-i\Delta_\perp \cdot \rho} [e^{-i\chi(\rho)} - 1], \\ \delta f_0 &= -\frac{1}{4\pi} \int d\rho e^{-i\Delta_\perp \cdot \rho - i\chi(\rho)} \rho \frac{\partial}{\partial \rho} \int_{-\infty}^{\infty} dx V^2(r_x), \\ \delta f_1 &= \frac{i}{4\pi\Delta_\perp^2} \int d\rho e^{-i\Delta_\perp \cdot \rho - i\chi(\rho)} \Delta_\perp \cdot \frac{\rho}{\rho} \frac{\partial}{\partial \rho} \int_{-\infty}^{\infty} dx V^2(r_x), \\ \chi(\rho) &= \int_{-\infty}^{\infty} dx V(r_x), \quad r_x = \sqrt{x^2 + \rho^2}. \end{aligned} \quad (5.109)$$

Здесь $\Delta = \mathbf{q} - \mathbf{p}$, $\mathbf{q} = p\mathbf{r}/r$, ρ — двумерный вектор, перпендикулярный начальному импульсу \mathbf{p} , также будем использовать обозначения $\mathbf{X}_\perp = \mathbf{X} - (\mathbf{X} \cdot \mathbf{n}_p)\mathbf{n}_p$ для любого вектора \mathbf{X} , $\mathbf{n}_p = \mathbf{p}/p$. Для малых углов рассеяния $\theta \ll 1$: $\delta f_0 \sim \delta f_1 \sim \theta f_0$. С помощью этих соотношений нетрудно получить следующие выражения для $\frac{d\sigma_0}{d\Omega}$, T^{ij} и S

$$\frac{d\sigma_0}{d\Omega} = |f_0|^2 \left[1 + 2 \operatorname{Re} \frac{\delta f_0}{f_0} \right], \quad (5.110)$$

$$T^{ij} = \delta^{ij} + \theta \epsilon^{ijk} \zeta^k,$$

$$S = -\frac{m\theta}{\varepsilon} \operatorname{Im} \frac{\delta f_1}{f_0}. \quad (5.111)$$

В уравнениях (5.110) и (5.111) мы оставили только члены порядка θ в $d\sigma_0/d\Omega$ и T^{ij} , а в функции Шермана S мы оставили только главный член, пропорциональный θ^2 . Явный вид T^{ij} является следствием закона сохранения спиральности для ультрарелятивистских частиц. Заметим, что $f_0 \rightarrow -f_0^*$, $\delta f_0 \rightarrow \delta f_0^*$ и $\delta f_1 \rightarrow \delta f_1^*$ при замене $V \rightarrow -V$. Функция Шермана S (5.111) инвариантна

относительно замены $V \rightarrow -V$. Поэтому член $2 \operatorname{Re}(\delta f_0/f_0)$ в $d\sigma_0/d\Omega$, см. (5.110), определяет зарядовую асимметрию в упругом рассеянии (разница между сечениями рассеяния электрона и позитрона на ядре), см. [45].

Хотя выражение для $d\sigma_0/d\Omega$ находится в согласии с ответом, полученным в приближении эйконала [38], необходимо обсудить применимость этого приближения. В случае кулоновского поля при выводе амплитуды рассеяния в эйкональном приближении обычно пользуются следующим точным соотношением

$$G_0 = -\frac{\varepsilon}{2\pi} \int d\mathbf{r} e^{-i\mathbf{q}\cdot\mathbf{r}} V(r) \psi_{\mathbf{p}}^{(+)}(\mathbf{r}), \quad (5.112)$$

где $\psi_{\mathbf{p}}^{(+)}(\mathbf{r})$ — точная волновая функция. Далее, пренебрегая Δ_z по сравнению с Δ_{\perp} , заменяя $\psi_{\mathbf{p}}^{(+)}(\mathbf{r})$ на эйкональную волновую функцию, которая получается из квазиклассической функции после пренебрежения квантовыми флуктуациями и интегрируя по z , получают G_0 . Но в случае кулоновского поля этот вывод вызывает ряд вопросов: во-первых, почему мы можем пренебрегать квантовыми флуктуациями, а во-вторых, почему мы можем пренебрегать Δ_z по сравнению с Δ_{\perp} , ведь для ультрарелятивистских частиц $\Delta_z z \sim \Delta_{\perp} \cdot \boldsymbol{\rho}$. Причем, если пренебречь квантовыми флуктуациями, но оставить Δ_z , или наоборот, учитывать квантовые флуктуации, но пренебречь Δ_z , то ответ для дифференциального сечения получится неправильный. В таких случаях появляются лишние множители $\pm \frac{2\pi\eta}{e^{\pm 2\pi\eta} - 1}$. И только при использовании квазиклассической волновой функции и при удерживании Δ_z получается правильный ответ.

Для кулоновского поля $V_c(r) = -\eta/r$ из уравнений (5.110), (5.111) и

(5.109) получаем

$$\begin{aligned}
 f_0 &= \frac{2\eta}{\varepsilon\theta^{2-2i\eta}} \frac{\Gamma(1-i\eta)}{\Gamma(1+i\eta)}, \\
 \frac{\delta f_0}{f_0} &= \frac{1}{4}\pi\theta\eta h(\eta), \quad \frac{\delta f_1}{f_0} = -\frac{\pi\theta\eta h(\eta)}{4(1+2i\eta)}, \\
 h(\eta) &= \frac{\Gamma(1+i\eta)\Gamma(1/2-i\eta)}{\Gamma(1-i\eta)\Gamma(1/2+i\eta)},
 \end{aligned} \tag{5.113}$$

где $\Gamma(x)$ — Γ -функция Эйлера. Используя (5.110) и (5.111), получаем

$$\frac{d\sigma_0}{d\Omega} = \frac{4\eta^2}{\varepsilon^2\theta^4} \left[1 + \frac{\pi\theta\eta}{2} \operatorname{Re} h(\eta) \right], \tag{5.114}$$

$$S = \frac{\pi m\eta\theta^2}{4\varepsilon} \operatorname{Im} \frac{h(\eta)}{1+2i\eta}. \tag{5.115}$$

Заметим, что функция Шермана в квазиклассическом приближении (5.115) пропорциональна θ^2 , а из формулы Мотта [34] в главном по η приближении S пропорциональна $\theta^3 \ln \theta$. Но здесь нет никаких противоречий, так как функция из (5.115) начинается с η^2 , а в формуле Мотта она пропорциональна η . Таким образом, Функция Шермана в главном приближении по η неприменима при $\theta \lesssim \eta$. В следующей главе мы более детально рассмотрим случай кулоновского поля и выведем следующую поправку по θ .

Обсудим влияние эффекта конечного размера ядра на дифференциальное сечение $d\sigma_0/d\Omega$ и функцию Шермана S . Мы будем использовать потенциал

$$V(r) = -\frac{\eta}{\sqrt{r^2 + R^2}}, \tag{5.116}$$

где R — характерный размер ядра. Для такого потенциала мы можем ана-

литически взять все интегралы в (5.108)

$$\frac{d\sigma_0}{d\Omega} = \frac{4\eta^2}{\varepsilon^2\theta^4} \left| \frac{bK_{1-i\eta}(b)}{\Gamma(1+i\eta)} \right|^2 (1+A), \quad (5.117)$$

$$A = \frac{\pi\eta\theta}{2} \operatorname{Re} \frac{\Gamma(1+i\eta)(2K_{1/2-i\eta}(b) - bK_{3/2-i\eta}(b))}{\Gamma(3/2+i\eta)\sqrt{2b}K_{1-i\eta}(b)}, \quad (5.118)$$

$$S = \frac{\pi\eta m\theta^2}{4\varepsilon} \operatorname{Im} \frac{\Gamma(1+i\eta)K_{1/2-i\eta}(b)}{\Gamma(3/2+i\eta)\sqrt{2b}K_{1-i\eta}(b)}, \quad b = \theta\varepsilon R, \quad (5.119)$$

где $K_\nu(x)$ — модифицированная функция Бесселя второго рода. Величина A в уравнении (5.118) — зарядовая асимметрия

$$A = \frac{d\sigma_0(\eta) - d\sigma_0(-\eta)}{d\sigma_0(\eta) + d\sigma_0(-\eta)}. \quad (5.120)$$

Как и должно быть, в пределе $b \rightarrow 0$ результаты (5.117) и (5.119) переходят в (5.114) и (5.115). На рисунках 5.1 и 5.2 изображена зависимость асимметрии A и функции Шермана S от b для нескольких значений η . Видно, что обе функции сильно зависят от b и η . Интересно, что обе функции меняют знак при $b \sim 1$.

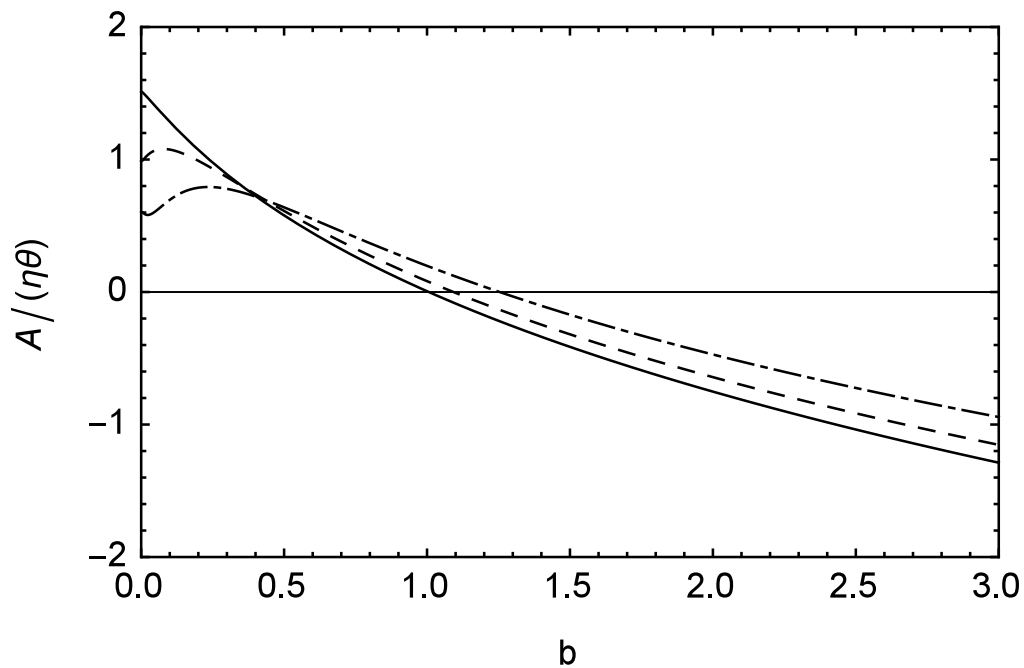


Рис. 5.1. Зависимость асимметрии A (5.118) в единицах $\eta\theta$ от $b = \theta\varepsilon R$ для $\eta = 0.1$ (сплошная линия), $\eta = 0.4$ (штриховая линия) и $\eta = 0.7$ (штрих-пунктирная линия).

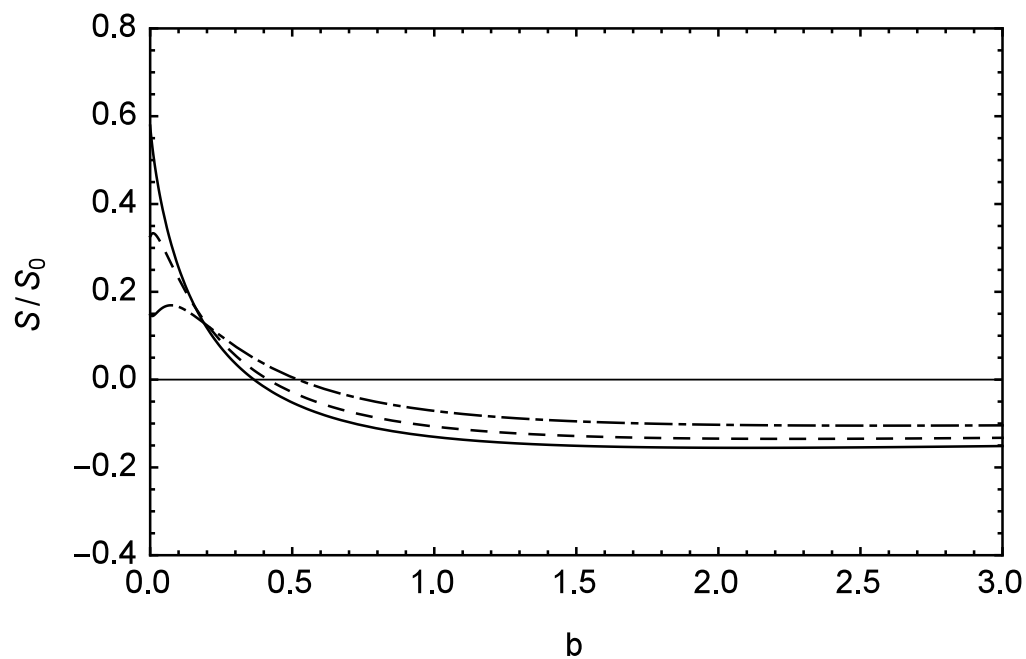


Рис. 5.2. Зависимость функции Шермана S (5.119) в единицах $S_0 = m\eta^2\theta^2/\varepsilon$ от $b = \theta\varepsilon R$ для $\eta = 0.1$ (сплошная линия), $\eta = 0.4$ (штриховая линия) и $\eta = 0.7$ (штрих-пунктирная линия).

5.2. Разложение точной амплитуды в кулоновском поле при малых углах

В этом разделе мы исследуем нетривиальное соотношение между вкладом больших угловых моментов (квазиклассический вклад) и $l \sim 1$ (неквазиклассический вклад) в амплитуду упругого рассеяния в кулоновском поле. Заметим, что при малых углах рассеяния $\theta \ll 1$ основной вклад даётся большими угловыми моментами не только для ультрарелятивистских частиц, но и для частиц с произвольной скоростью $\beta = p/\varepsilon$. Поэтому в этом разделе мы будем использовать два независимых параметра: $\eta = Z\alpha$ и $\nu = Z\alpha/\beta$. Мы выполним разложение по малому углу рассеяния θ , не предполагая малости η , в отличие от работы [46].

Амплитуда упругого рассеяния равна (см. [41, 45]):

$$M_{fi} = \frac{i}{2p} \phi_f^\dagger \left[G(\theta) - \frac{i\eta m}{p} F(\theta) - i \left(G(\theta) \tan \frac{\theta}{2} + \frac{i\eta m}{p} F(\theta) \cot \frac{\theta}{2} \right) \boldsymbol{\xi} \boldsymbol{\sigma} \right] \phi_i,$$

где ϕ_i и ϕ_f — спиноры начального и конечного электрона. Функции $F(\theta)$ и $G(\theta)$ имеют следующий вид:

$$\begin{aligned} F(\theta) &= - \sum_{l=1}^{\infty} \frac{\Gamma(\gamma_l - i\nu)}{\Gamma(\gamma_l + i\nu + 1)} e^{i\pi(l-\gamma_l)} l [P_l - P_{l-1}], \\ G(\theta) &= - \operatorname{ctg} \frac{\theta}{2} \frac{dF}{d\theta}. \end{aligned} \quad (5.121)$$

Здесь $P_l = P_l(\cos \theta)$ — полином Лежандра, $\gamma_l = \sqrt{l^2 - \eta^2}$.

Неполяризованное сечение $d\sigma_0/d\Omega$ и функция Шермана $S(\theta)$, выраженные через $F(\theta)$ и $G(\theta)$, равны

$$\begin{aligned} \frac{d\sigma_0}{d\Omega} &= \frac{1}{4p^2} \left\{ \frac{|G(\theta)|^2}{\cos^2 \frac{\theta}{2}} + \frac{\eta^2 m^2 |F(\theta)|^2}{p^2 \sin^2 \frac{\theta}{2}} \right\} \\ S(\theta) &= \frac{\eta m p \sin \theta \operatorname{Re} F G^*}{|G(\theta)|^2 p^2 \sin^2 \frac{\theta}{2} + \eta^2 m^2 |F(\theta)|^2 \cos^2 \frac{\theta}{2}} \end{aligned} \quad (5.122)$$

Как было сказано выше, основной вклад в сумму (5.121) даёт область больших угловых моментов $l \gg 1$. Поэтому удобно переписать функцию F в следующем виде

$$\begin{aligned}
F &= F_a + F_b, \\
F_a &= - \sum_{l=1}^{\infty} \frac{\Gamma(l - i\nu)}{\Gamma(l + i\nu + 1)} l T_l [P_l - P_{l-1}], \\
F_b &= - \sum_{l=1}^{\infty} \left[\frac{\Gamma(\gamma_l - i\nu)}{\Gamma(\gamma_l + i\nu + 1)} e^{i\pi(l-\gamma_l)} - \frac{\Gamma(l - i\nu)}{\Gamma(l + i\nu + 1)} T_l \right] l [P_l - P_{l-1}], \\
T_l &= 1 + \frac{i\pi}{2l} \eta^2 + \frac{\eta^2}{2l^2} \left(1 + 2i\nu - \frac{\pi^2 \eta^2}{4} \right). \tag{5.123}
\end{aligned}$$

Величина T_l – разложение функции $\frac{\Gamma(\gamma_l - i\nu)/\Gamma(l - i\nu)}{\Gamma(\gamma_l + i\nu + 1)/\Gamma(l + i\nu + 1)} e^{i\pi(l-\gamma_l)}$ по параметру $1/l$ до $O(1/l^2)$. Сумма F_a может быть вычислена аналитически при $\theta \ll 1$, используя интегральное представление бета-функции

$$\frac{\Gamma(l - i\nu)}{\Gamma(l + i\nu + 1)} = \frac{1}{\Gamma(1 + 2i\nu)} \int_0^{\infty} dy \frac{y^{2i\nu}}{(1 + y)^{l+i\nu+1}}$$

и беря сумму по l с помощью производящей функции полиномов Лежандра. Мы получаем

$$\begin{aligned}
F_a(\theta) &= \frac{1}{\Gamma(1 + 2i\nu)} \int_0^{\infty} \frac{dy y^{2i\nu}}{(1 + y)^{1+i\nu}} \left\{ \frac{2s^2(2 + y)(1 + y)}{\varrho^3} + \frac{i}{2} \pi \eta^2 \left(1 - \frac{y}{\varrho} \right) \right. \\
&\quad \left. + \frac{\eta^2}{2} \left(1 + 2i\nu - \frac{\pi^2 \eta^2}{4} \right) \ln \left[\frac{(1 - s^2)(2s^2 + y + \varrho)}{y + \varrho - 2s^2(1 + y)} \right] \right\}, \tag{5.124}
\end{aligned}$$

где $s = \sin \frac{\theta}{2}$ и $\varrho = \sqrt{y^2 + 4s^2(1 + y)}$. В интеграл (5.124) при $s \ll 1$ основной вклад дают две области:

$$\text{I. } y \sim s \ll 1, \quad \text{II. } y \sim 1.$$

Первая область даёт вклад пропорциональный $\propto s^{n+2i\nu}$ ($n = 0, 1, \dots$), а вклад от второй области пропорционален $\propto s^n$ ($n = 2, 3, \dots$). Вычисляя интеграл методом разложения по областям (см. [47]), получаем

$$F_a(\theta) \approx \frac{\Gamma(1-i\nu)}{\Gamma(1+i\nu)}(t_0 + t_1 + t_2), \quad (5.125)$$

$$t_0 = s^{2i\nu}, \quad t_1 = i\pi\eta^2 \frac{s^{1+2i\nu}}{1+2i\nu} h(\nu),$$

$$t_2 = i \frac{s^{2+2i\nu} \eta^2}{2(1+i\nu)\nu} \left[1 + 2i\nu - \frac{\pi^2 \eta^2}{4} \right] - is^2 \eta^2 \left[\frac{1}{2\nu} + i + \frac{\pi}{2(1-2i\nu)} - \frac{\pi^2 \eta^2}{8\nu} \right].$$

Члены t_0 и t_1 соответствуют главному квазиклассическому вкладу и первой квазиклассической поправке ($|t_0| = 1$, $|t_1| \sim \theta^1$). Хотя величина t_2 пропорциональна θ^2 , мы не можем интерпретировать её как вторую квазиклассическую поправку, так как величина t_2 такого же порядка, как и слагаемые в сумме (5.121) с $l \sim 1$. Легко проверить, что вклад в t_2 пропорциональный $s^{2+2i\nu}$ не изменится, если взять сумму по l , начиная с некоторого $l_0 \gg 1$ такого, что $l_0 \ll 1/s$. Поэтому этот вклад можно отождествить со второй квазиклассической поправкой.

Давайте теперь рассмотрим функцию F_b в уравнении (5.123). Сумма по l сходится при $l \sim 1$, и мы можем аппроксимировать $P_l(\theta) - P_{l-1}(\theta)$ функцией $-2ls^2$. Таким образом F_b в главном приближении по порядку величины пропорционально s^2 , поэтому естественно прибавить к F_b член из F_a , ур. (5.125), пропорциональный s^2 . Таким образом, мы получаем

$$F = F_{\text{QC}} + \delta F + O(s^3),$$

$$F_{\text{QC}} = \frac{\Gamma(1-i\nu)}{\Gamma(1+i\nu)} s^{2i\nu} \left[1 + \frac{i\pi\eta^2}{1+2i\nu} h(\nu) s + \frac{i\eta^2}{2(1+i\nu)\nu} \left(1 + 2i\nu - \frac{\pi^2 \eta^2}{4} \right) s^2 \right],$$

$$\delta F = \frac{\Gamma(1-i\nu)}{\Gamma(1+i\nu)} C(\eta, \nu) s^2, \quad (5.126)$$

где

$$C(\eta, \nu) = -i\eta^2 \left[\frac{1}{2\nu} + i + \frac{\pi}{2(1-2i\nu)} - \frac{\pi^2\eta^2}{8\nu} \right] + \frac{\Gamma(1+i\nu)}{\Gamma(1-i\nu)} \sum_{l=1}^{\infty} 2l^2 \left[\frac{\Gamma(\gamma_l - i\nu) e^{i\pi(l-\gamma_l)}}{\Gamma(\gamma_l + i\nu + 1)} - \frac{\Gamma(l - i\nu)}{\Gamma(l + i\nu + 1)} T_l \right], \quad (5.127)$$

величина T_l определена в уравнении (5.123), а $h(\nu)$ — в (5.113). Разложение по малым углам функции F до членов порядка η^4 при малых η и произвольных ν было рассмотрено в работе [46]. Разлагая (5.127) по η до η^4 и беря сумму по l , получаем ответ, который находится в согласии с [46] с точностью до опечатки в уравнении (3.27) в этой статье (в правой стороне ур. (3.27) нужно сделать замену $j \rightarrow j + 1$). Функция $C(\eta, \nu)$ сильно зависит от параметра η и ν . Это утверждение иллюстрируется на рисунке 5.3, где изображена реальная и мнимая часть $C(\eta, \nu)$ при $\nu = \eta$ ($\beta = 1$) как функция η .

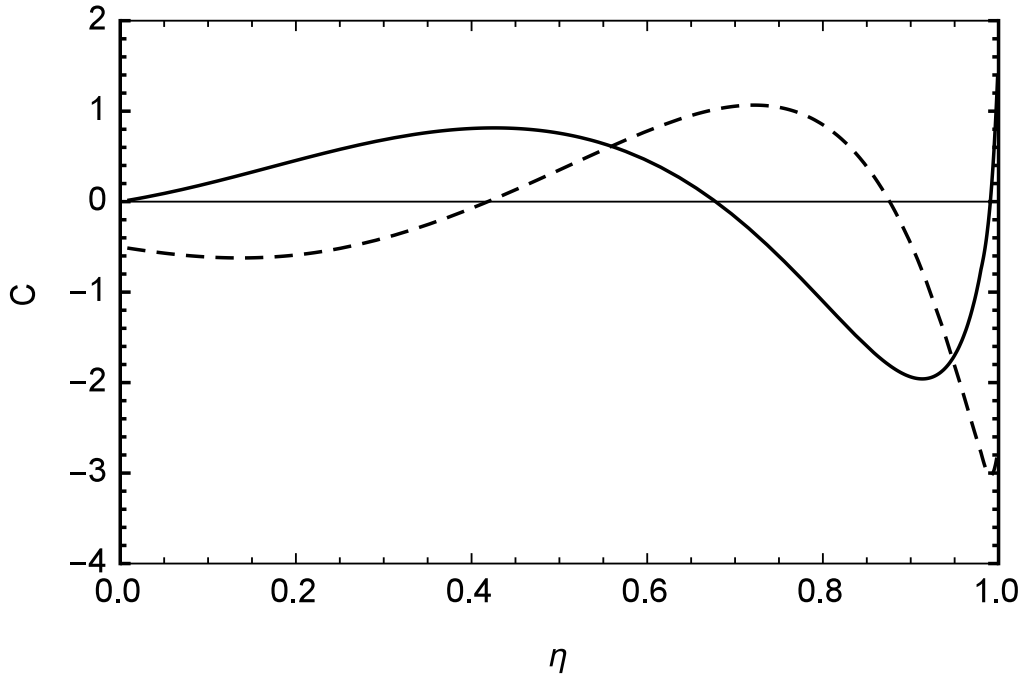


Рис. 5.3. Реальная часть (сплошная линия) и мнимая часть (штрихованная линия) функции $C(\eta, \nu)$ (5.127), при $\nu = \eta$ как функции η .

Подставляя уравнение (5.126) в (5.122), получаем дифференциальное сечение и функцию Шермана с точностью $O(s^2)$

$$\frac{d\sigma}{d\Omega} = \frac{\nu^2}{4p^2s^4} \left[1 + \pi\eta\beta \operatorname{Re} h(\nu) s - 2\nu^{-1} \operatorname{Im}[s^{2i\nu} C^*(\eta, \nu)] s^2 \right], \quad (5.128)$$

$$S(\theta) = \frac{ms^2}{\varepsilon\nu} \left\{ \pi\eta^2 \operatorname{Im} \left[\frac{h(\nu)}{1+2i\nu} \right] + \left[\frac{\eta^2}{1+\nu^2} \left(1 - \frac{3\pi^2\eta^2}{4(1+4\nu^2)} \right) - \frac{\pi^2\eta^4}{\nu} \operatorname{Im} \left[\frac{h(\nu)}{1+2i\nu} \right] \operatorname{Re} h(\nu) - 2 \operatorname{Re}[(1+i\nu) s^{2i\nu} C^*(\eta, \nu)] \right] s \right\}. \quad (5.129)$$

Поправка порядка s^2 в дифференциальном сечении возникла из-за интерференции между квазиклассическим и неквазиклассическим слагаемыми. Таким образом, эту поправку нельзя получить в рамках квазиклассического подхода.

Как уже было сказано выше, дифференциальное сечение, полученное в приближении эйконала с учетом первой поправки, совпадает с квазиклассическим дифференциальным сечением с учетом первой поправки. В приближении эйконала можно выполнить регулярное разложение волновой функции до нужного порядка, см., например, работы [48, 49]. Возникает вопрос, можно ли получить верный ответ для дифференциального сечения с точностью $O(s^2)$ в (5.128) в рамках эйконального приближения. Амплитуда рассеяния в приближении эйконала для $\Delta_\perp \neq 0$ равна

$$M_{fi} = -\frac{ip}{2\pi} \int d\boldsymbol{\rho} e^{-i\boldsymbol{\Delta}_\perp \cdot \boldsymbol{\rho} - i\chi_0(\boldsymbol{\rho})} \phi_f^\dagger [1 - i\chi_1 - i\chi_2 - \chi_1^2/2 + \dots] \phi_i, \quad (5.130)$$

В кулоновском поле $\chi_0 = 2\nu \ln p\rho$. Учитывая то, что в кулоновском поле нет размерной константы, нетрудно получить, что эйкональные поправки имеют вид $\chi_{n>0}(\rho) = \mathcal{P}_n(\ln p\rho)/(p\rho)^n$, где $\mathcal{P}_n(x)$ — некоторые полиномы с матричными коэффициентами. Выполняя замену переменных $\boldsymbol{\rho} \rightarrow (2/\Delta_\perp)\boldsymbol{\rho}$,

получаем

$$M_{fi} = -s^{2i\nu} \frac{2ip}{\pi\Delta_{\perp}^2} \int d\boldsymbol{\rho} e^{-2i\boldsymbol{\delta}\cdot\boldsymbol{\rho}} \rho^{-2i\nu} \phi_f^{\dagger} \left\{ 1 - i\frac{s}{\rho} \mathcal{P}_1 \left(\ln \frac{\rho}{s} \right) - \frac{s^2}{\rho^2} \left[i\mathcal{P}_2 \left(\ln \frac{\rho}{s} \right) + \frac{1}{2} \mathcal{P}_1^2 \left(\ln \frac{\rho}{s} \right) \right] + \dots \right\} \phi_i, \quad (5.131)$$

где $\boldsymbol{\delta} = \boldsymbol{\Delta}_{\perp}/\Delta_{\perp}$. Беря интегралы по $\boldsymbol{\rho}$, находим амплитуду M_{fi} в приближении эйконала:

$$M_{fi} = \frac{\Gamma(1-i\nu)}{\Gamma(1+i\nu)} s^{2i\nu} \frac{\nu}{2ps^2} \phi_f^{\dagger} [1 + s\mathcal{Q}_1(\ln s) + s^2\mathcal{Q}_2(\ln s) + \dots] \phi_i, \quad (5.132)$$

где \mathcal{Q}_1 и \mathcal{Q}_2 — некоторые полиномы. Так как вся амплитуда пропорциональна $s^{2i\nu}$, приближение эйконала даёт неправильный результат (оно не может воспроизвести интерференционный член $\text{Im}[s^{2i\nu}C^*(\eta, \nu)]$). В этом нет ничего необычного, так как условие применимости приближения эйконала нарушается при прохождении частицы на малых расстояниях от кулоновского центра.

Давайте обсудим нетривиальные соотношения между результатом, полученным с помощью разложения по s , и результатом, полученным с помощью разложения по η . Разлагая по ν (5.128) и (5.129) и удерживая только главные члены, получаем:

$$\frac{d\sigma}{d\Omega} = \frac{\nu^2}{4p^2s^4} (1 + s\pi\eta\beta - s^2\beta^2), \quad (5.133)$$

$$S(\theta) = \frac{2\eta m s^2}{\varepsilon} [\pi\eta(2\ln 2 - 1) + \beta s \ln s]. \quad (5.134)$$

Сечение (5.133) согласуется с результатом из [35, 36] при малых углах рассеяния. Функция Шермана S (5.134), также совпадает с разложением при малых углах функции Шермана, полученным в [34, 40].

Таким образом видно, что отношение первой и второй поправки в дифференциальном сечении (5.133) пропорционально отношению двух малых

параметров ν/θ , поэтому это отношение может быть и много больше, и много меньше единицы. Аналогично, для функции Шермана (5.134) отношение главного вклада к первой квазиклассической поправке пропорционально $\nu/(\theta \ln \theta)$.

Интересно, что хотя результат (5.133) получен для малых углов, эта формула неплохо описывает дифференциальное сечение и для $\theta \sim 1$. Для демонстрации этого утверждения на рисунке 5.4 показана зависимость дифференциального сечения рассеяния неполяризованных частиц на свинце (5.133) как функция $s = \sin(\theta/2)$.

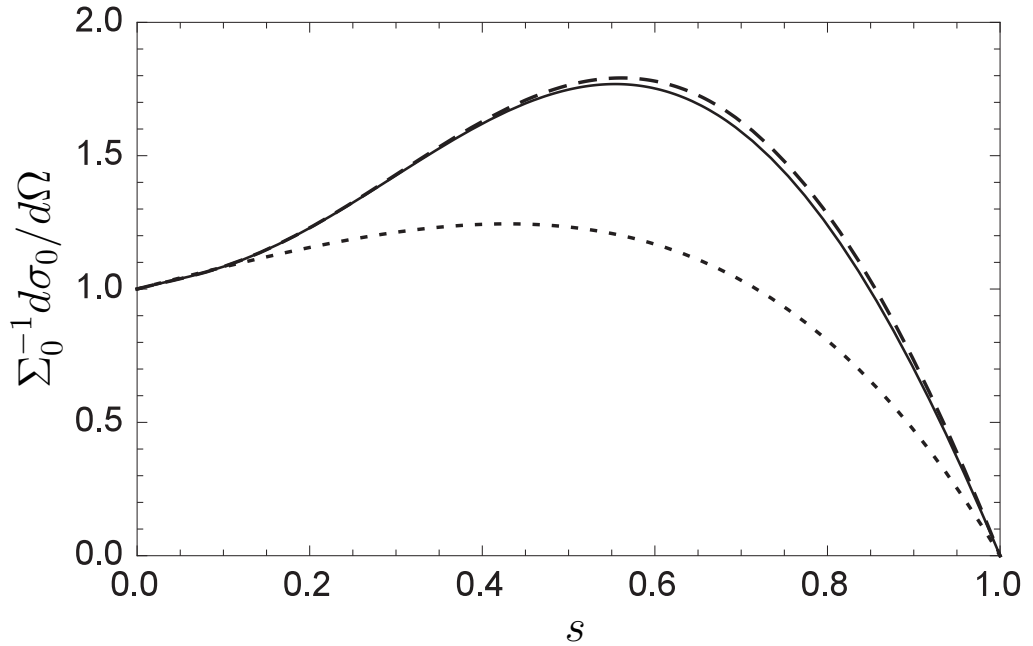


Рис. 5.4. Зависимость дифференциального сечения $d\sigma_0/d\Omega$, уравнение (5.122), в единицах $\Sigma_0 = \frac{\nu^2}{4p^2 s^4}$, от $s = \sin \frac{\theta}{2}$ для $\varepsilon \gg m$ и $\nu = \eta = 0.6$. Сплошная линия: точный результат, полученный из (5.121); штрихованная линия: результат, полученный из (5.126); пунктирная линия: результат, полученный из F в квазиклассическом приближении с учётом первой квазиклассической поправки (определяется формулой (5.126) с отброшенными членами $\propto s^2$).

5.3. Выводы к пятой главе

В данной главе исследовался предел применимости квазиклассического приближения на примере упругого рассеяния электронов, включая поляризационные эффекты. Используя квазиклассическую функцию Грина, было найдено дифференциальное сечение с учётом первой поправки по θ и функция Шермана в главном по θ приближении для произвольного сферически симметричного атомного потенциала. Для кулоновского поля, используя разложение точной амплитуды, была вычислена амплитуда упругого рассеяния с точностью θ^2 , из которой были получены выражения для дифференциального сечения с точностью θ^2 и для функции Шермана с точностью θ^1 . Было показано, что вклад порядка θ^2 в дифференциальное сечение и порядка θ^1 в функцию Шермана определяется не только большими угловыми моментами $l \sim 1/\theta$, но и $l \sim 1$. Таким образом, в этой главе был сделан важный вывод о том, что с помощью квазиклассического приближения нельзя продвинуться в вычислении сечений дальше первой поправки, не учитывая вклада малых угловых моментов (неквазиклассический вклад).

Заключение

Основные результаты, полученные в диссертации:

- С учётом первой квазиклассической поправки найдены квазиклассическая функция Грина уравнения Дирака и соответствующие волновые функции в произвольном атомном потенциале. Квазиклассическая поправка позволяет не только увеличить точность теоретических предсказаний для сечений различных процессов, но и приводит к новым эффектам, отсутствующим при вычислении этих сечений в рамках главного квазиклассического приближения.
- Получены зарядовая и азимутальная асимметрии в дифференциальном сечении тормозного излучения при высоких энергиях в произвольном атомном потенциале. Эти асимметрии отсутствуют при вычислении в главном квазиклассическом приближении и возникают только при учёте первой квазиклассической поправки. Рассмотрен случай тормозного излучения электронов и мюонов. В случае тормозного излучения электронов исследовано влияние атомной экранировки, а в случае тормозного излучения мюонов — влияние атомной экранировки и эффекта конечного размера ядра.
- В главном квазиклассическом приближении вычислены кулоновские поправки к дифференциальному сечению двойного тормозного излучения при высоких энергиях. Исследовано влияния экранировки на дифференциальное и полное сечение. Из анализа однократного и двойного тормозного излучения сформулировано простое правило для нахождения в главном квазиклассическом приближении амплитуды n -кратного тормозного излучения из борновской амплитуды.

- В рамках главного квазиклассического приближения вычислено дифференциальное сечение процесса $\gamma Z \rightarrow e^+ e^- \gamma' Z$. Показано, что кулоновские поправки значительно влияют на дифференциальное сечение этого процесса.
- Проведено исследование применимости квазиклассического приближения на примере упругого рассеяния. Используя точную амплитуду упругого рассеяния, показано, что вклад области угловых моментов $l \sim 1$ по порядку величины равен вкладу от второй квазиклассической поправки. Таким образом, сделан важный вывод о том, что нельзя выйти за рамки первого квазиклассического приближения без учёта области $l \sim 1$.

В заключение, я хотел бы выразить благодарность моему научному руководителю А.И. Мильштейну у которого я многому научился. Я также благодарен Р.Н. Ли за совместную работу и ценные советы в обсуждении физических результатов.

Приложение А

Вычисление матричного элемента тормозного излучения

В этом приложении мы будем обсуждать метод вычисления матричного элемента однократного тормозного излучения на примере амплитуды A_{00} (2.30):

$$A_{00} = \int d\mathbf{r} \exp(-i\mathbf{k} \cdot \mathbf{r}) f_0 g_0, \quad (\text{A.135})$$

где функция $f_0(\mathbf{r}, \mathbf{q})$ определена в (1.19), а $g_0(\mathbf{r}, \mathbf{p}) = f_0(\mathbf{r}, -\mathbf{p})$. Другие величины уравнения (2.32) вычисляются аналогичным образом. Разобьём этот интеграл на два, при $z > 0$ и при $z < 0$, и обозначим соответственные вклады в A_{00} как A_{00}^+ и A_{00}^- . Для $z > 0$ в функции f_0 можно пренебречь квантовыми флуктуациями (f_0 имеет вид эйкональной волновой функции)

$$f_0(\mathbf{r}, \mathbf{q}) = e^{-i\mathbf{q} \cdot \mathbf{r}} \exp \left[-i \int_0^\infty dx V(\mathbf{r} + x\mathbf{n}_q) \right], \quad (\text{A.136})$$

тогда

$$A_{00}^+ = \int_{z>0} d\mathbf{r} \int \frac{d\mathbf{Q}}{i\pi} \exp \left\{ iQ^2 - i\mathbf{\Delta} \cdot \mathbf{r} - i \int_0^\infty dx [V(\mathbf{r}_x) + V(\mathbf{r} + x\mathbf{n}_q)] \right\} \\ \times \left[1 + \frac{i}{2\varepsilon_p} \int_0^\infty dx \int_0^x dy (x-y) \nabla_\perp V(\mathbf{r}_x) \cdot \nabla_\perp V(\mathbf{r}_y) \right], \quad (\text{A.137})$$

где $\mathbf{r}_x = \mathbf{r} - x\mathbf{n}_p + \mathbf{Q}\sqrt{2r/p}$. В пределах нашей точности можно заменить величину $V(\mathbf{r} + x\mathbf{n}_q)$ в (A.137) на $V(\mathbf{r} + x\mathbf{n}_q + \mathbf{Q}\sqrt{2r/p})$, тогда после сдвига

$\rho \rightarrow \rho - Q\sqrt{2r/p}$, интеграл по переменной Q вычисляется без особого труда:

$$A_{00}^+ = \int_{z>0} d\mathbf{r} \exp \left\{ -i\frac{z}{2p}\Delta_{\perp}^2 - i\Delta \cdot \mathbf{r} - i \int_0^{\infty} dx [V(\mathbf{r} - x\mathbf{n}_p) + V(\mathbf{r} + x\mathbf{n}_q)] \right\} \\ \times \left[1 + \frac{i}{2\varepsilon_p} \int_0^{\infty} dx \int_0^x dy (x-y) \nabla_{\perp} V(\mathbf{r} - x\mathbf{n}_p) \cdot \nabla_{\perp} V(\mathbf{r} - y\mathbf{n}_p) \right]. \quad (\text{A.138})$$

Аналогично для $z < 0$ получаем

$$A_{00}^- = \int_{z<0} d\mathbf{r} \exp \left\{ i\frac{z}{2q}\Delta_{\perp}^2 - i\Delta \cdot \mathbf{r} - i \int_0^{\infty} dx [V(\mathbf{r} - x\mathbf{n}_p) + V(\mathbf{r} + x\mathbf{n}_q)] \right\} \\ \times \left[1 + \frac{i}{2\varepsilon_q} \int_0^{\infty} dx \int_0^x dy (x-y) \nabla_{\perp} V(\mathbf{r} + x\mathbf{n}_q) \cdot \nabla_{\perp} V(\mathbf{r} + y\mathbf{n}_q) \right]. \quad (\text{A.139})$$

Существуют две перекрывающиеся области переменной Δ :

$$\text{I. } \Delta \ll \frac{m\omega}{\varepsilon_p} \\ \text{II. } \Delta \gg \Delta_{min} = \frac{m^2\omega}{2\varepsilon_p\varepsilon_q}. \quad (\text{A.140})$$

В первой области можно пренебречь в экспоненте в уравнениях (A.138) и (A.139) членом пропорциональным Δ_{\perp}^2 . Тогда сумма $A_{00} = A_{00}^+ + A_{00}^-$ равна

$$A_{00} = \int d\mathbf{r} \exp \left\{ -i\Delta \cdot \mathbf{r} - i \int_0^{\infty} dx [V(\mathbf{r} - x\mathbf{n}_p) + V(\mathbf{r} + x\mathbf{n}_q)] \right\} \\ \times \left[1 + \frac{i}{2\varepsilon_p} \int_0^{\infty} dx \int_0^x dy (x-y) \nabla_{\perp} V(\mathbf{r} - x\mathbf{n}_p) \cdot \nabla_{\perp} V(\mathbf{r} - y\mathbf{n}_p) \right. \\ \left. + \frac{i}{2\varepsilon_q} \int_0^{\infty} dx \int_0^x dy (x-y) \nabla_{\perp} V(\mathbf{r} + x\mathbf{n}_q) \cdot \nabla_{\perp} V(\mathbf{r} + y\mathbf{n}_q) \right]. \quad (\text{A.141})$$

В квадратных скобках можно сделать замену $\mathbf{n}_p, \mathbf{n}_q \rightarrow \nu$, а в показателе экспоненты мы должны также учесть линейные члены при разложении по

$\mathbf{n}_p - \boldsymbol{\nu}$ и $\mathbf{n}_q - \boldsymbol{\nu}$. В интегралах по x и y , которые стоят внутри квадратных скобок, в зависимости от аргумента функции $V(\mathbf{r} \pm y\boldsymbol{\nu})$ делаем замену $z \rightarrow z \mp y$ и берём интеграл по y . Таким образом, вклад от первой области (A.140) равен

$$A_{00} = \int d\mathbf{r} \exp[-i\boldsymbol{\Delta} \cdot \mathbf{r} - i\chi(\rho)] \nabla_{\perp} V(\mathbf{r}) \cdot \left[i \frac{\boldsymbol{\theta}_{qp}}{\Delta_z^2} - \frac{\omega}{2\Delta_z \varepsilon_p \varepsilon_q} \int_0^{\infty} dx x \nabla_{\perp} V(\mathbf{r} - x\boldsymbol{\nu}) \right],$$

$$\chi(\rho) = \int_{-\infty}^{\infty} V(z, \boldsymbol{\rho}) dz, \quad (\text{A.142})$$

где $\Delta_z = \boldsymbol{\nu} \cdot \boldsymbol{\Delta}$ и $\boldsymbol{\theta}_{qp} = \mathbf{q}_{\perp}/q - \mathbf{p}_{\perp}/p$.

Во второй области (A.138) можно заменить $\mathbf{n}_q \rightarrow \mathbf{n}_p$ и $z\Delta_{\perp}^2/2p \rightarrow (\mathbf{n}_q \cdot \mathbf{n})\Delta_{\perp}^2/2p$. Полярный угол \mathbf{n} мал, поэтому мы можем интегрировать (A.138) по области $\mathbf{n}_q \cdot \mathbf{n} > 0$. После интегрирования по z , величина A_{00}^+ имеет следующий вид

$$A_{00}^+ = \frac{1}{\boldsymbol{\Delta} \cdot \mathbf{n}_p + \Delta_{\perp}^2/2p} \int d\boldsymbol{\rho} \exp[-i\boldsymbol{\Delta}_{\perp} \cdot \boldsymbol{\rho} - i\chi(\rho)] \times \left[-i + \int_{-\infty}^{\infty} dz \int_0^{\infty} dx x \nabla_{\perp} V(\mathbf{r}) \cdot \nabla_{\perp} V(\mathbf{r} - x\mathbf{n}_p) \right]. \quad (\text{A.143})$$

Величина A_{00}^- вычисляется аналогичным образом:

$$A_{00}^- = \frac{1}{-\boldsymbol{\Delta} \cdot \mathbf{n}_q + \Delta_{\perp}^2/2q} \int d\boldsymbol{\rho} \exp[-i\boldsymbol{\Delta}_{\perp} \cdot \boldsymbol{\rho} - i\chi(\rho)] \times \left[-i + \int_{-\infty}^{\infty} dz \int_0^{\infty} dx x \nabla_{\perp} V(\mathbf{r}) \cdot \nabla_{\perp} V(\mathbf{r} - x\mathbf{n}_q) \right]. \quad (\text{A.144})$$

Учитывая тождества

$$\boldsymbol{\Delta} \cdot \mathbf{n}_p + \Delta_{\perp}^2/2p = -\frac{m^2\omega}{2\varepsilon_p \varepsilon_q \xi_q}, \quad -\boldsymbol{\Delta} \cdot \mathbf{n}_q + \Delta_{\perp}^2/2q = \frac{m^2\omega}{2\varepsilon_p \varepsilon_q \xi_p},$$

$$\xi_p = \frac{m^2}{m^2 + \mathbf{p}_{\perp}^2}, \quad \xi_q = \frac{m^2}{m^2 + \mathbf{q}_{\perp}^2},$$

матричный элемент $A_{00} = A_{00}^+ + A_{00}^-$ во второй области равен

$$A_{00} = \frac{1}{m^4\omega} \int d\boldsymbol{\rho} \exp[-i\boldsymbol{\Delta}_\perp \cdot \boldsymbol{\rho} - i\chi(\rho)] \left[2i\varepsilon_p\varepsilon_q\xi_p\xi_q(\mathbf{p}_\perp + \mathbf{q}_\perp) \cdot \nabla_\perp \chi(\rho) \right. \\ \left. + m^2(\varepsilon_p\xi_p - \varepsilon_q\xi_q) \int_{-\infty}^{\infty} dz \int_0^{\infty} dx x \nabla_\perp V(\mathbf{r} - x\boldsymbol{\nu}) \cdot \nabla_\perp V(\mathbf{r}) \right]. \quad (\text{A.145})$$

Так как области (A.140) перекрываются, мы можем сшить решения (A.142) и (A.145) и получить выражение, которое справедливо для всех Δ . Таким образом, получаем:

$$A_{00} = \frac{1}{m^4\omega} \int d\mathbf{r} \exp[-i\boldsymbol{\Delta} \cdot \mathbf{r} - i\chi(\rho)] \left[2i\varepsilon_p\varepsilon_q\xi_p\xi_q(\mathbf{p}_\perp + \mathbf{q}_\perp) \right. \\ \left. + m^2(\varepsilon_p\xi_p - \varepsilon_q\xi_q) \int_0^{\infty} dx x \nabla_\perp V(\mathbf{r} - x\boldsymbol{\nu}) \right] \cdot \nabla_\perp V(\mathbf{r}). \quad (\text{A.146})$$

Приложение Б

Вычисление матричного элемента двойного тормозного излучения

В этом приложении мы обсудим метод вычисления матричного элемента двойного тормозного излучения на примере амплитуды

$$\mathcal{M} = \iint d\mathbf{r}_1 d\mathbf{r}_2 e^{-i\mathbf{k}_1 \cdot \mathbf{r}_1 - i\mathbf{k}_2 \cdot \mathbf{r}_2} f_0(\mathbf{r}_2) d_0(\mathbf{r}_2, \mathbf{r}_1) g_0(\mathbf{r}_1), \quad (\text{Б.147})$$

которая даёт вклад в полную амплитуду (3.58). Остальные части этой амплитуды вычисляются таким же образом. Функции d_0 , f_0 , и g_0 определены в уравнениях (1.15) и (1.19). Разобьём интеграл на три области, $z_1 < z_2 < 0$, $z_1 < 0 \& z_2 > 0$, $z_2 > z_1 > 0$, и обозначим соответственные вклады в \mathcal{M} как \mathcal{M}_1 , \mathcal{M}_2 , и \mathcal{M}_3 . В первой области функции g_0 и d_0 имеют эйкональный вид

$$\begin{aligned} g_0(\mathbf{r}_1) &= e^{i\mathbf{p} \cdot \mathbf{r}_1} \exp \left[-i \int_0^\infty dx V(\mathbf{r}_1 - x\mathbf{n}_p) \right], \\ d_0(\mathbf{r}_2, \mathbf{r}_1) &= -\frac{e^{i\kappa r}}{4\pi r} \exp \left[-ir \int_0^1 dx V(\mathbf{r}_1 + x\mathbf{r}) \right], \\ \mathbf{r} &= \mathbf{r}_2 - \mathbf{r}_1, \quad \kappa = \sqrt{(\varepsilon_p - \omega_1)^2 - m^2}, \end{aligned} \quad (\text{Б.148})$$

тогда

$$\begin{aligned}
\mathcal{M}_1 &= \frac{i}{(2\pi)^2} \iint_{z_1 < z_2 < 0} \frac{d\mathbf{r}_1 d\mathbf{r}_2}{r} \int d\mathbf{Q} \exp(i\Phi), \\
\Phi &= Q^2 + (\mathbf{p} - \mathbf{k}_1) \cdot \mathbf{r}_1 - (\mathbf{q} + \mathbf{k}_2) \cdot \mathbf{r}_2 + \kappa r \\
&\quad - \int_0^\infty dx V(\mathbf{r}_1 - x\mathbf{n}_p) - r \int_0^1 dx V(\mathbf{r}_1 + x\mathbf{r}) - \int_0^\infty dx V(\mathbf{r}_q), \\
\mathbf{r}_q &= \mathbf{r}_2 + x\mathbf{n}_q + \mathbf{Q} \sqrt{\frac{2|\mathbf{n}_q \cdot \mathbf{r}_2|}{q}}. \tag{B.149}
\end{aligned}$$

В пределах нашей точности можно заменить величины $V(\mathbf{r}_1 - x\mathbf{n}_p)$ и $V(\mathbf{r}_1 + x\mathbf{r})$ в (B.149) на $V(\mathbf{r}_1 - x\mathbf{n}_p + \mathbf{Q}\sqrt{2|\mathbf{n}_q \cdot \mathbf{r}_2|/q})$ и $V(\mathbf{r}_1 + x\mathbf{r} + \mathbf{Q}\sqrt{2|\mathbf{n}_q \cdot \mathbf{r}_2|/q})$ и сделать замены переменных $\boldsymbol{\rho}_1 \rightarrow \boldsymbol{\rho}_1 - \mathbf{Q}\sqrt{2|\mathbf{n}_q \cdot \mathbf{r}_2|/q}$, $\boldsymbol{\rho}_2 \rightarrow \boldsymbol{\rho}_2 - \mathbf{Q} \times \sqrt{2|\mathbf{n}_q \cdot \mathbf{r}_2|/q}$, где $\boldsymbol{\rho}_1 = \mathbf{r}_{1\perp}$ и $\boldsymbol{\rho}_2 = \mathbf{r}_{2\perp}$. После интегрирования по \mathbf{Q} получаем

$$\begin{aligned}
\mathcal{M}_1 &= -\frac{1}{4\pi} \iint_{z_1 < z_2 < 0} \frac{d\mathbf{r}_1 d\mathbf{r}_2}{r} \exp[i(\Phi_0 + \Phi_1)], \\
\Phi_0 &= (\mathbf{p} - \mathbf{k}_1) \cdot \mathbf{r}_1 - (\mathbf{q} + \mathbf{k}_2) \cdot \mathbf{r}_2 + \kappa r \\
&\quad - \int_0^\infty dx V(\mathbf{r}_1 - x\mathbf{n}_p) - r \int_0^1 dx V(\mathbf{r}_1 + x\mathbf{r}) - \int_0^\infty dx V(\mathbf{r}_2 + x\mathbf{n}_q), \\
\Phi_1 &= -\frac{\Delta_\perp^2 |\mathbf{n}_q \cdot \mathbf{r}_2|}{2q}. \tag{B.150}
\end{aligned}$$

Аналогичным образом можно получить выражения для \mathcal{M}_2 и \mathcal{M}_3 ,

$$\begin{aligned}
\mathcal{M}_2 &= -\frac{1}{4\pi} \iint_{z_2 > 0, z_1 < 0} \frac{d\mathbf{r}_1 d\mathbf{r}_2}{r} \exp[i(\Phi_0 + \Phi_2)], \\
\mathcal{M}_3 &= -\frac{1}{4\pi} \iint_{z_2 > z_1 > 0} \frac{d\mathbf{r}_1 d\mathbf{r}_2}{r} \exp[i(\Phi_0 + \Phi_3)], \\
\Phi_2 &= -\frac{\Delta_\perp^2 |\mathbf{r} \cdot \mathbf{r}_1| |\mathbf{r} \cdot \mathbf{r}_2|}{2\kappa r^3}, \quad \Phi_3 = -\frac{\Delta_\perp^2 |\mathbf{n}_p \cdot \mathbf{r}_1|}{2p}. \tag{B.151}
\end{aligned}$$

Существуют две перекрывающиеся области переменной Δ :

$$\begin{aligned} \text{I. } \Delta &\gg \frac{m^2(\omega_1 + \omega_2)}{\varepsilon_p \varepsilon_q} \\ \text{II. } \Delta &\ll \frac{m(\omega_1 + \omega_2)}{\varepsilon_p}. \end{aligned} \quad (\text{B.152})$$

В первой области мы можем пренебречь в фазе Φ_0 членом Δ_{\parallel} по сравнению с Δ_{\perp} и заменить в интеграле $\mathbf{n}_q \rightarrow \boldsymbol{\nu}$ и $\mathbf{r} \rightarrow (\boldsymbol{\nu} \cdot \mathbf{r})\boldsymbol{\nu}$, где ось z параллельна $\boldsymbol{\nu} = \mathbf{n}_p$. После интегрирования по z_1, z_2 , и $\boldsymbol{\rho}_2 - \boldsymbol{\rho}_1$, получаем

$$\mathcal{M} = \frac{i}{2} \int d\boldsymbol{\rho} \exp[-i\boldsymbol{\Delta}_{\perp} \cdot \boldsymbol{\rho} - i\chi(\rho)] [qN_1 - \kappa N_2 - pN_3], \quad (\text{B.153})$$

где величины $\chi(\rho)$, N_1 , N_2 и N_3 определены в уравнении (3.60). Воспользуемся соотношением

$$qN_1 - \kappa N_2 - pN_3 = \boldsymbol{\Delta}_{\perp} \cdot \mathbf{j}_0, \quad (\text{B.154})$$

где \mathbf{j}_0 определено в (3.60). Интегрируя по частям, получаем \mathcal{M} в первой области (B.152):

$$\begin{aligned} \mathcal{M} &= -\frac{i}{2} \int d\boldsymbol{\rho} \exp[-i\boldsymbol{\Delta}_{\perp} \cdot \boldsymbol{\rho} - i\chi(\rho)] \nabla_{\perp} \chi(\rho) \cdot \mathbf{j}_0 \\ &= -\frac{i}{2} \int d\mathbf{r} \exp[-i\boldsymbol{\Delta}_{\perp} \cdot \boldsymbol{\rho} - i\chi(\rho)] \nabla_{\perp} V(r) \cdot \mathbf{j}_0. \end{aligned} \quad (\text{B.155})$$

Во второй области (B.152) можно пренебречь членом Φ_1 в (B.150) и членами $\Phi_{2,3}$ в (B.151). В фазе Φ_0 мы будем учитывать только линейные члены при разложении по $\mathbf{n}_q - \boldsymbol{\nu}$ и $\mathbf{r} - (\mathbf{r} \cdot \boldsymbol{\nu})\boldsymbol{\nu}$. Результат, верный для обеих областей (B.152) имеет следующий вид

$$\mathcal{M} = -\frac{i}{2} \int d\mathbf{r} \exp[-i\boldsymbol{\Delta} \cdot \mathbf{r} - i\chi(\rho)] \nabla_{\perp} V(r) \cdot \mathbf{j}_0. \quad (\text{B.156})$$

Он соответствует (B.155) с заменой $\boldsymbol{\Delta}_{\perp} \cdot \boldsymbol{\rho} \rightarrow \boldsymbol{\Delta} \cdot \mathbf{r}$.

Список литературы

1. Overbo I., Mork K. J., Olsen H. A. Exact calculation of pair production // *Phys. Rev.* 1968. Vol. 175. Pp. 1978–1981.
2. Furry W. H. Approximate Wave Functions for High Energy Electrons in Coulomb Fields // *Phys. Rev.* 1934. Vol. 46. Pp. 391–396.
3. Sommerfeld Arnold, Maue August Wilhelm. Verfahren zur näherungsweisen Anpassung einer Lösung der Schrödinger-an die Diracgleichung // *Annalen der Physik.* 1935. Vol. 414, no. 7. Pp. 629–642.
4. Bethe H. A., Maximon L. C. Theory of Bremsstrahlung and Pair Production. 1. Differential Cross Section // *Phys. Rev.* 1954. Vol. 93. Pp. 768–784.
5. Davies Handel, Bethe H. A., Maximon L. C. Theory of Bremsstrahlung and Pair Production. 2. Integral Cross Section for Pair Production // *Phys. Rev.* 1954. Vol. 93. Pp. 788–795.
6. Olsen Haakon, Maximon L. C., Wergeland Harald. Theory of High-Energy Bremsstrahlung and Pair Production in a Screened Field // *Phys. Rev.* 1957. — Apr. Vol. 106. Pp. 27–46. URL: <http://link.aps.org/doi/10.1103/PhysRev.106.27>.
7. Байер В.Н., Катков В.М., Фадин В.С. Излучение релятивистских электронов. Атомиздат, 1973.
8. Байер В.Н., Катков В.М., Страховенко В.М. Электромагнитные процессы при высокой энергии в ориентированных монокристаллах. Новосибирск:Наука, 1989.

9. Milshtein A. I., Strakhovenko V. M. Quasiclassical Approach to the High-energy Delbruck Scattering // *Phys. Lett.* 1983. Vol. A95. P. 135.
10. Lee R.N., Milstein A.I. Quasiclassical Green function and Delbrück scattering in a screened Coulomb field // *Physics Letters A.* 1995. Vol. 198, no. 3. Pp. 217 – 224. URL: <http://www.sciencedirect.com/science/article/pii/0375960195000558>.
11. Ли Роман, Мильштейн Александр, Страховенко Владимир. Квазиклассическая функция Грина во внешнем поле и процессы рассеяния на малые углы // *Журнал Экспериментальной и Теоретической Физики.* 2000. Т. 117. С. 75.
12. Krachkov P. A., Milstein A. I. Charge asymmetry in the differential cross section of high-energy bremsstrahlung in the field of a heavy atom // *Phys. Rev.* 2015. Vol. A91, no. 3. P. 032106. [arXiv:hep-ph/1501.03897](https://arxiv.org/abs/hep-ph/1501.03897).
13. Di Piazza A., Milstein A. I. Quasiclassical approach to high-energy QED processes in strong laser and atomic fields // *Phys. Lett.* 2012. Vol. B717. Pp. 224–228. [arXiv:physics.atom-ph/1204.2502](https://arxiv.org/abs/physics.atom-ph/1204.2502).
14. Lee R. N., Milstein A. I., Strakhovenko V. M., Schwarz O. Ya. Coulomb Corrections to Bremsstrahlung in the Electric Field of a Heavy Atom at High Energies // *ЖЭТФ.* 2005. Т. 127. С. 5–17. [arXiv:hep-ph/0404224](https://arxiv.org/abs/hep-ph/0404224).
15. Bethe H., Heitler W. On the Stopping of fast particles and on the creation of positive electrons // *Proc. Roy. Soc. Lond.* 1934. Vol. A146. Pp. 83–112.
16. Racah Giulio. Sopra L'irradiazione Nell'urto di Particelle Veloci // *Il Nuovo Cimento (1924-1942).* 2008. Vol. 11, no. 7. Pp. 461–476. URL: <http://dx.doi.org/10.1007/BF02959918>.

17. Olsen Haakon. Outgoing and Ingoing Waves in Final States and Bremsstrahlung // *Phys. Rev.* 1955. — Aug. Vol. 99. Pp. 1335–1336. URL: <http://link.aps.org/doi/10.1103/PhysRev.99.1335>.
18. Olsen Haakon, Maximon L. C. Photon and Electron Polarization in High-Energy Bremsstrahlung and Pair Production with Screening // *Phys. Rev.* 1959. Vol. 114. Pp. 887–904.
19. Korol A. V. Methods of the approximate treatment of the two-photon bremsstrahlung in point Coulomb field // *J. Phys. B At. Mol. Opt. Phys.* 1995. Vol. 28.
20. Крыловецкий А.А., Манаков Н.Л., Мармо С.И., Старасе А.Ф. Двухфотонные тормозные процессы в атомах: поляризационные эффекты и аналитические результаты для кулоновского потенциала // *Журнал Экспериментальной и Теоретической Физики.* 2002. Vol. 122, no. 6.
21. Smirnov A. I. Double Bremsstrahlung of Soft Photons // *Izv. Vuz. Fiz.* 1977. Vol. 1. Pp. 136–138.
22. Krachkov P. A., Lee R. N., Milstein A. I. Double bremsstrahlung from high-energy electrons in an atomic field // *Phys. Rev.* 2015. Vol. A91, no. 6. P. 062109. [arXiv:hep-ph/1504.00765](https://arxiv.org/abs/hep-ph/1504.00765).
23. Overbo I. The Coulomb Correction to electron Pair Production by Intermediate-Energy Photons // *Phys. Lett.* 1977. Vol. B71. P. 412.
24. Lee R. N., Milstein A. I., Strakhovenko V. M. High-energy expansion of Coulomb corrections to the $e^+ e^-$ photoproduction cross-section // *Phys. Rev.* 2004. Vol. A69. P. 022708. [arXiv:hep-ph/hep-ph/0310108](https://arxiv.org/abs/hep-ph/hep-ph/0310108).

25. Di Piazza A., Milstein A. I., Muller C. Polarization of the electron and positron produced in combined Coulomb and strong laser fields // *Phys. Rev.* 2010. Vol. A82. P. 062110. [arXiv:hep-ph/1010.6274](https://arxiv.org/abs/1010.6274).
26. Lee R. N., Milstein A. I., Strakhovenko V. M. Charge Asymmetry in the Differential Cross Section of High-Energy e^+e^- Photoproduction in the Field of a Heavy Atom // *Phys. Rev.* 2012. Vol. A85. P. 042104. [arXiv:hep-ph/1111.5895](https://arxiv.org/abs/1111.5895).
27. Downie E. J., Lee R. N., Milstein A. I., Ron G. Charge asymmetry in high-energy $\mu^+\mu^-$ photoproduction in the electric field of a heavy atom // *Phys. Lett.* 2014. Vol. B728. Pp. 645–649. [arXiv:nucl-th/1312.1192](https://arxiv.org/abs/1312.1192).
28. Bjorken J. D., Drell S. D., Frautschi S. C. Wide-Angle Pair Production and Quantum Electrodynamics at Small Distances // *Phys. Rev.* 1958. Vol. 112. Pp. 1409–1417.
29. Huld B. Hard photon radiative correction to wide angle pair production // *Physics Letters B.* 1967. Vol. 24, no. 4. Pp. 185 – 187. URL: <http://www.sciencedirect.com/science/article/pii/0370269367904893>.
30. Corbo G. Radiative Corrections in electron-Positron Pair Photoproduction // *Phys. Rev.* 1978. Vol. D17. Pp. 725–728.
31. Lomon E. L. An additional radiative correction to wide angle pair production // *Phys. Lett.* 1966.
32. Krachkov P. A., Lee R. N., Milstein A. I. High-energy e^+e^- photoproduction in the field of a heavy atom accompanied by bremsstrahlung // *Phys. Rev.* 2014. Vol. A90, no. 6. P. 062112. [arXiv:hep-ph/1410.6566](https://arxiv.org/abs/1410.6566).

33. Krachkov P. A., Lee R. N., Milstein A. I. Small-angle scattering and quasiclassical approximation beyond leading order // *Phys. Lett.* 2015. Vol. B751. Pp. 284–288. [arXiv:physics.atom-ph/1507.04111](https://arxiv.org/abs/physics.atom-ph/1507.04111).
34. Mott Neville F. The scattering of fast electrons by atomic nuclei // *Proceedings of the Royal Society of London. Series A, Containing Papers of a Mathematical and Physical Character.* 1929. Vol. 124, no. 794. Pp. 425–442.
35. McKinley William A., Feshbach Herman. The Coulomb Scattering of Relativistic Electrons by Nuclei // *Phys. Rev.* 1948. Vol. 74. Pp. 1759–1763.
36. Dalitz R. H. On higher Born approximations in potential scattering // *Proc. Roy. Soc. Lond.* 1951. Vol. 206. Pp. 509–520.
37. Байер В.Н., Катков В.М. Поправки к приближению эйконала и тормозное излучение электронов при высоких энергиях. // *Доклады Академии наук СССР.* 1976. Т. 227. С. 325.
38. Ахиезер А.И., Болдышев В.Ф., Шульга Н.Ф. К теории упругого рассеяния быстрых частиц в квазиклассическом приближении // *Теоретическая и Математическая Физика.* 1975. Т. 23. С. 11.
39. Ахиезер А.И., Болдышев В.Ф., Шульга Н.Ф. Теория упругого рассеяния и тормозного излучения быстрых заряженных частиц в кристаллах // *Физика элементарных частиц и атомного ядра.* 1979. Т. 10. С. 51–89.
40. Johnson W. R., Weber T. A., Mullin C. J. Coulomb Scattering of Polarized Electrons // *Phys. Rev.* 1961. — Feb. Vol. 121. Pp. 933–939. URL: <http://link.aps.org/doi/10.1103/PhysRev.121.933>.
41. Берестецкий В. Б., Лифшиц Е. М., Питаевский Л. П. Квантовая электродинамика. Москва “Наука”, 1989.

42. Ли Р. Н., Мильштейн А. И., Страховенко В. М. Расщепление фотона высокой энергии в сильном кулоновском поле // Журнал Экспериментальной и Теоретической Физики. 1997. Т. 112. С. 1921–1940.
43. Lee R. N., Milstein A. I., Strakhovenko V. M. High-energy photon splitting on heavy atoms // *Phys. Rev. A*. 1998. — Apr. Vol. 57. Pp. 2325–2338. URL: <http://link.aps.org/doi/10.1103/PhysRevA.57.2325>.
44. Moliere G. Theorie der Streuung schneller geladener Teilchen I. Einzelstreuung am abgeschirmten Coulomb-Feld // *Z. Naturforsch.* 1947. Vol. A2. P. 133.
45. Überall. *Electron Scattering From Complex Nuclei*. Academic, 2012.
46. Gluckstern RL, Lin Shin-R. Relativistic Coulomb Scattering of Electrons // *Journal of Mathematical Physics*. 1964. Vol. 5. Pp. 1594–1602.
47. Beneke M., Smirnov V.A. Asymptotic expansion of Feynman integrals near threshold // *Nuclear Physics B*. 1998. Vol. 522, no. 1–2. Pp. 321 – 344. URL: <http://www.sciencedirect.com/science/article/pii/S0550321398001382>.
48. Wallace Stephen J. High-Energy Expansions of Scattering Amplitudes // *Phys. Rev. D*. 1973. — Sep. Vol. 8. Pp. 1846–1863. URL: <http://link.aps.org/doi/10.1103/PhysRevD.8.1846>.
49. Tjon J. A., Wallace S. J. Coulomb corrections in quasielastic scattering based on the eikonal expansion for electron wave functions // *Phys. Rev. C*. 2006. — Dec. Vol. 74. P. 064602. URL: <http://link.aps.org/doi/10.1103/PhysRevC.74.064602>.